

T.C.

AHİ EVRAN ÜNİVERSİTESİ

FEN BİLİMLERİ ENSTİTÜSÜ

**BUĞDAYDA KAHVERENGİ PAS HASTALIĞINDA BAZAL SAVUNMADA
ROL ALAN ADAY PAMP'LARIN PROTEOMİKS YAKLAŞIMI İLE
İNCELENMESİ**

Merve ÇETİNTÜRK

YÜKSEK LİSANS TEZİ

KİMYA ANABİLİM DALI

KİRŞEHİR 2017

T.C.

AHİ EVRAN ÜNİVERSİTESİ

FEN BİLİMLERİ ENSTİTÜSÜ

**BUĞDAYDA KAHVERENGİ PAS HASTALIĞINDA BAZAL SAVUNMADA
ROL ALAN ADAY PAMP'LARIN PROTEOMİKS YAKLAŞIMI İLE
İNCELENMESİ**

Merve ÇETİNTÜRK

YÜKSEK LİSANS TEZİ

KİMYA ANABİLİM DALI

DANIŞMAN

Doç. Dr. Aslıhan GÜNEL

KİRŞEHİR 2017

Fen Bilimleri Enstitüsü Müdürlüğü'ne;

Bu çalışma, jürimiz tarafından Kimya Bölümü Biyokimya Anabilim Dalında Yüksek Lisans Bitirme Tezi olarak kabul edilmiştir.

Başkan:(imza)

Prof. Dr. Hülya YAĞAR

Üye:(imza)

Doç. Dr. Aslıhan GÜNEL

Üye:(imza)

Yrd. Doç. Dr. Şaziye Betül SOPACI

Onay

Yukarıdaki imzaların adı geçen öğretim üyelerine ait olduğunu onaylarım.

...../...../2017

Prof. Dr. Levent KULA

Enstitü Müdürü

TEZ BİLDİRİMİ

Tez içindeki bütün bilgilerin etik davranış ve akademik kurallar çerçevesinde elde edilerek sunulduğunu, ayrıca tez yazım kurallarına uygun olarak hazırlanan bu çalışmada bana ait olmayan her türlü ifade ve bilginin kaynağına eksiksiz atıf yapıldığını bildiririm.

Merve ÇETİNTÜRK



**BUĞDAYDA KAHVERENGİ PAS HASTALIĞINDA BAZAL SAVUNMADA
ROL ALAN ADAY PAMP'LARIN PROTEOMİKS YAKLAŞIMI İLE
İNCELENMESİ**

(Yüksek Lisans Tezi)

Merve ÇETİNTÜRK

Ahi Evran Üniversitesi, Fen Bilimleri Enstitüsü

Temmuz 2017

ÖZET

Buğday, arpa, mısır gibi tahıllar ülkemiz ve dünya popülasyonu açısından bakıldığından önemli gıda maddeleridir. Bu tahılların yıllık üretimini çeşitli biyotik ve abiyotik stres koşulları, tarım arazilerinin amacına uygun kullanılmaması gibi nedenler etkilemektedir. Verimi etkileyen biyotik faktörler viral, bakteriyal veya fungal patojenlerdir. Hem dünyada hem de ülkemizde tahıllarda etkin olan fungal hastalıklar pas, başak yanıklığı ve külleme gibi hastalıklardır.

Bitki hastalıkları ve bu hastalıklara karşı oluşturulan immün cevapların ve mekanizmalarının aydınlatılmasında çeşitli omiks teknolojileri arasında proteomiks son yıllarda yararlanılan yaklaşımıdır. Proteomiks yaklaşımıla arpa, buğday gibi tahıllar ve bunların patojenle etkileşimlerini inceleyen çalışmalar literatürde yerini almıştır.

Bugüne kadar yapılan bitki proteomiks çalışmalarında ağırlıklı olarak model bitkiler olan arabidopsis, çeltik ve bu bitkilerin patojenlerle olan ilişkisi literatürde yer almıştır. Ancak model bitki olan arabidopsisin en önemli patojeni bakterilerdir. Bu bitkiye ait pas hastalıkları bilinmediğinden pas hastalıklarının bitkiyi tehdit etmesi durumunda bitkinin immün sistemi hakkında detaylı bir bilgi henüz yoktur.

Bu çalışmada buğdayda görülen kahverengi pas (*Puccinia triticina*) hastalığında patojenden salgılanan ve bitki bazal savunmasını uyaran protein yapılı aday PAMP moleküllerinin tanımlanması hedeflenmektedir.

2D-PAGE'de ayırtırılan yüksek bolluktaki 201 protein spotu tripsin ile muamele edilerek LC-MS/MS analizi ile tanımlandı. Analiz sonucunda bitki mantar hastalıklarında PAMP'lar arasında yer alan “elongation factor” proteini tanımlanmıştır. PTTG_06852 ve PTTG_06073 proteinleri sırası ile mitokondri ve kloroplastı hedefleyen ve transit peptid içeren efektör adayları olarak tanımlanan 8 efektördendir. Tanımlanan proteinlerin % 35'i sitozol, % 29'u ise mitokondride bulunmaktadır.

Anahtar Kelimeler: Buğday, kahverengi pas (*Puccinia triticina*), PAMPs (patojen assosiye moleküler yapılar), 2D-PAGE, patojen tetiklenmiş immünite, PTI.

**EXAMINATION OF CANDIDATE PAMP'S ROLE PLAYING IN BASAL
DEFENSE IN WHEAT BROWN RUST DISEASE WITH PROTEOMIC
APPROACH**

(Master of Science Thesis)

Ahi Evran University, Enstitute of Science

July 2017

ABSTRACT

Wheat, barley and corn are crucial food for both Turkey and world population. The production of these cereal is affected by various biotic and abiotic stress conditions and miss-use of fields. Biotic factors affected the yield viral, bacterial or fungal pathogens. Vital fungal diseases for cereals are rust, headblight and mildew both in Turkey and in the world.

Proteomics among several “omics” technologies has been used recently to unveil mechanisms of plant diseases and immune responses against to these diseases. So far a number of proteomics studies are placed in literature on cereals like barley, wheat and their interaction with pathogens.

In plant proteomics researchs up to date, rice and arabidopsis are used as model plant and their response to their biotic enemies mostly Arabidopsis as a model is threatened by bacteria mainly. Since rust diseases threatened Arabidopsis have not been known yet immune system behaviors against to these pathogens have not been known.

In this study, it is aimed to identify candidate molecular patterns that play role in pathogen triggered immunity by pathogen or elicitors released by pathogen in brown rust disease in wheat.

Surface proteins were resolved in 2D-PAGE and 194 high abundant protein spots were digested with tyripsin, tyriptic peptides of each spot were analysed and identified by LC-MS/MS. Totally 8 proteins were predicted as effector candidates. PTTG_06852 and PTTG_06073 proteins targeted to mitocondria and chloroplasts

respectively and having transit peptide effector candidates. 35% of identified proteins were localised in cytosol and 29% of them were localised in mitochondria.

Keywords: Barley, leafrust (*Puccinia triticina*), PAMPs (pathogen associated molecular patterns), 2D-PAGE, pathogen triggered immunity, PTI



Number of Pages: 170

Advisor of Thesis: Doç. Dr. Aslıhan GÜNEL

TEŞEKKÜR

Yüksek lisans çalışmama başladığım ilk günden itibaren bilgi ve desteğini benden esirgemeyen, sadece eğitim olarak değil her konuda gelişmeme yardımcı olan danışman hocam Doç. Dr. Aslıhan GÜNEL'e,

Tez çalışmamın yürütülmesi için gerekli patojenin sağlanmasında ve kütle spektrometresi analizlerinin gerçekleştirilmesindeki destekleri için Dr. Christoph RAMPISTCH (Cereal Research Centre), ve Gıda, Tarım ve Hayvancılık Bakanlığı Tarımsal Araştırmalar Genel Müdürlüğü (TAGEM) personeline ve Prof. Dr. Talat YALÇIN'a (İzmir İleri Teknoloji Enstitüsü Kimya Bölümü), Biyoinformatik analizlerdeki desteğinden dolayı Prof. Dr. Mahinur AKKAYA'nın doktora öğrencisi Ahmet Çağlar ÖZKETEN'e,

Birlikte çalıştığım yol arkadaşlarım Biyokimya Araştırma Laboratuarı öğrencileri olan Mahmut EMİR, M.Rifat TÜRK, Şükriü MERAL'e,

PYO-FEN.4001.12.023 kodlu 'Buğdayda Kahverengi Pas (LeafRust) Hastalığında Bazal Savunmada Rol Alan Aday PAMP'ların Proteomiks Yaklaşımı İle İncelenmesi' isimli proje kapsamındaki maddi desteğinden dolayı Ahi Evran Üniversitesi BAP Birimine,

Bu süreçte desteğini benden esirgemeyen ve her zaman yanımdayan sevgili eşim Serkan ÇETİNTÜRK'e ve kardeşim Melike GEÇERER'e sonsuz teşekkürlerimi sunarım.

Merve ÇETİNTÜRK

İÇİNDEKİLER DİZİNİ

ONAY	ii
TEZ BİLDİRİMİ.....	iii
ÖZET.....	iv
ABSTRACT.....	v
TEŞEKKÜR	viii
İÇİNDEKİLER DİZİNİ	ix
TABLOLAR DİZİNİ	xii
ŞEKİLLER DİZİNİ	xii
SİMGELER VE KISALTMALAR	xv
1. GİRİŞ	1
2. KAYNAK ARAŞTIRMASI	3
2.1. Nekrotrofik, Biyotrofik ve Hemibiyotrofik Patojenler	3
2.2. Buğdayda Pas Hastalıkları.....	4
2.2.1. Sarı Pas (<i>Puccina striiformis</i>).....	5
2.2.2. Kara Pas (<i>Puccina graminis tritici</i>).....	5
2.2.2. Kahverengi Pas (<i>Puccinia reconditae tritici</i>).....	6
2.3. Konukçu-Patojen İlişkisi.....	9
2.3.1. Konukçu-Patojen İlişkisinde Gen İçin Gen Etkileşimi.....	9
2.3.2. Spesifik Dayanaklılık.....	10

2.3.3. Dayanıklılık Genleri	11
2.3.3.1. 1.Sınıf dayanıklılık genleri	11
2.3.3.2. 2.Sınıf dayanıklılık genleri	14
2.3.3.3. 3.Sınıf dayanıklılık genleri	14
2.4. Bitki İmmün Sistemi.....	15
2.5. Patojenle İlişkili Moleküller Yapılar (PAMPs)	18
2.5.1. Bakteriyel PAMP'lar	18
2.5.1.1. Flagella kaynaklı PAMP'lar.....	18
2.5.1.2. Lipopolisakkarit yapılı PAMP'lar	19
2.5.1.3. Elongasyon faktör TU PAMP'ı	19
2.5.2. Fungal PAMP'lar	20
2.5.2.1. Hücre Duvarı Kaynaklı PAMP'lar	21
2.5.2.2. Protein Yapılı PAMP'lar	21
2.5.2.3. Sfingolipidler	22
3. MATERYAL VE METOD	23
3.1. Bitki Materyali ve Enfeksiyon	23
3.2. Üredosporların Çimlendirilmesi	25
3.3. Yüzey Protein Ekstraksiyonu	25
3.3.1. TCA/Aseton-Fenol/Metanol Yöntemi	26
3.3.2. Bradford Protein Tayin Yöntemi	27

3.4. 2D-PAGE	28
3.4.1. İzoelektrik Odaklama (IEF)	28
3.4.2. SDS-PAGE	30
3.5. Jel Görüntüleme	33
3.5.1. Kollaidal Coomassie Brilliant Blue ile Boyama	33
3.5.2. İmaj Analizi	33
3.6. <i>Tripsin</i> Enzimi İle Hidroliz	33
3.7. Protein Mw Değerlerinin Hesaplanması	35
3.7.1. Izo Elektrik Nokta (pI) Değerlerinin Hesaplanması.....	35
3.7.2. MW Standart Eğrisi ve MW Değerleri	36
3.8. Biyoinformatik Analizler	36
4. BULGULAR VE TARTIŞMA	38
KAYNAKLAR	68
EKLER	76
ÖZGEÇMİŞ	170

TABLOLAR DİZİNİ

Tablo 3.1. IEF koşulları	28
Tablo 3.2. Gradient jel kompozisyon	31
Tablo 4.1. Aday PAMP proteinleri	42
Tablo 4.2.Tanımlanan proteinlerin fonksiyonlarının tahmin edilebilmesi için SMART ve PFAM WEB tabanlı biyoinformatik analizleri ile gerçekleştirilen analiz sonuçları	59

ŞEKİLLER DİZİNİ

Şekil 2.1. Buğdayda sarı pas hastalığı	5
Şekil 2.2. Buğdayda kara pas hastalığı.....	6
Şekil 2.3. Ürediosporlar (a) ve teliosporlar (b)	7
Şekil 2.4. <i>Puccinia triticinanın</i> yaşam döngüsü	8
Şekil 2.5. Buğdayda kahverengi pas hastalığı.....	9
Şekil 2.6. Konukçu-patojen ilişkisi	10
Şekil 2.7. Konukçu-patojenin birbirini tanıması	12
Şekil 2.8. Bitki dayanıklılık	13
Şekil 2.9. Konukçunun patojeni tanımı	14
Şekil 2.10. Bitki ve patojen arasındaki etkileşimi gösteren zigzag modeli	16
Şekil 3.1. Bitkiden toplanan pasın toz hali.....	23
Şekil 3.2. Bitkiye hastalığın enfekte edilmesi.....	24
Şekil 3.3. Agaroz jele ekilen pasların 24 saat sonunda tübül oluşumu	26
Şekil 3.4. Proteinlerin rehidrate edilmesi	30
Şekil 3.5. Gradyent jelin dökülmesi.....	32
Şekil 3.6. Amersham 2d protocol pI standart eğri grafiği	35
Şekil 3.7. Mw standart eğri grafiği	36
Şekil 4.1. Ahi Evran Üniversitesi Fen-Edebiyat Fak. Kimya Böl. Biyokimya ABD de <i>P. Triticina</i> race 1 ile enfekte Morocco yazılık varyetesi	38

Şekil 4.2. Kahverengi pas üredo sporlarının in vitro çimlendirilmesi sonrası ekstrakte edilen yüzey proteinlerinin 2D-PAGE profili	39
Şekil 4.3. Üç biyolojik replikadaki toplam 9 jelde ortak bulunan spotların jel üzerindeki lokasyonları ve numaralandırılması.....	40
Şekil 4.4. Üç Biyolojik Tekrar ve her bir tekrara ait teknik tekrarlarla birlikte jel imaj analizi	41
Şekil 4.5. In vitro çimlendirilmiş Kahverengi pas üredo spor yüzey proteinlerinin yer aldığı biyolojik prosesler	57
Şekil 4.6. Aday PAMP proteinlerinin hücealtı lokalizasyon pasta grafiği	58
Şekil 4.7. Tanımlanan proteinlerin ışığında <i>P. triticina race-1</i> in aktif olan temel metabolik yolları	67

SİMGELER VE KISALTMALAR

- BSA.....: Sığır serum albümin (Bovine serum albümine)
- CBB.....: Comassie Brilliant Blue R250
- CC.....: Coiledcoil
- cm.....: Santimetre
- °C.....: Derece santigrat
- DTT.....: Ditiyotreyitol
- ETI.....: Efektör tetiklenmiş immünite
- g.....: Gram
- HR.....: Hipersensitif cevap
- IAA.....: İyodo asetamid
- L.....: Litre
- LC-MS/MS.....: Sıvı Kromatografisi-Ardaşık Kütle Spektrometresi
- LRR.....: Leucine rich repeat (lözince zengin tekrar)
- M.....: Molar
- MAMP.....: Mikrop assosiyel moleküler yapılar
- Mg.....: Miligram
- mL.....: Mililitre
- mM.....: Milimolar
- µg.....: Mikrogram

- µL.....: Mikrolitre
- NBS.....: Nucleotide binding site (nükleotid bağlanma bölgesi)
- Nm.....: Nanometre
- PAMP.....: Patojen assosiye moleküler yapılar
- PMSF.....: Fenilmetilsülfonilflorür
- PRR.....: Pattern recognition receptor (pattern tanıma reseptörü)
- PTI.....: PAMP tetiklenmiş immünite
- PVPP.....: PolivinilPolipirolidon
- R.....: Bitki dayanıklılık geni
- SDS.....: Sodyum Dodesil Sülfat
- SDS-PAGE.....: Sodyum Dodesil Sülfat PoliAkrilamit Jel Elektroforezi
- TCA.....: Trikloro asetik asit
- TEMED.....: Tetra metil etilen diamin
- TFA.....: Triflоро asetik asit
- TIR.....: Toll/interlökin-1 reseptör
- TTSS.....: Tip III salgı sistemi

1. GİRİŞ

Türkiye, buğday üretiminde dünyada önemli bir yere sahip olup FAOSTAT 2012 verilerine göre 9. sırada yer almaktadır (www.faostat.fao.org). Ancak zaman zaman üretim miktarı yanlış tarım politikaları, erozyon ve çeşitli hastalıklar nedeni ile azalmaktadır. Buğday bitkisi bakteri, virüs veya fungal patojenler ile enfekte olmaktadır. Tahillarda görülen önemli hastalıklar fungal hastalıklardır ve en önemlileri arasında baş yanıklığı hastalığı, pas hastalıkları ve külleme sıralanabilir.

Pas hastalıkları kara pas (*Puccinia graminis triticici*), kahverengi pas (*Puccinia triticina*) ve sarı pas (*Puccinia striiformis*) olmak üzere 3 sınıfa ayrılmaktadır. Kahverengi pas hastalığı, çimlenmek için en ılıman koşulları gerektirdiğinden ülkemizde ve buğday yetiştiricisi ülkelerde en yaygın görülen pas hastalığıdır.

Şimdiye kadar bu hastalıkla mücadelede fungusit uygulamaları, kimyasal yollarla mücadele edilmekle birlikte bu yollar bir taraftan patojenin bu kimyasallara direnç geliştirmesi bir taraftan da toprak verimini önemli ölçüde düşürmek gibi zararlara neden olmaktadır.

Bu çalışmanın amacı dünyanın her yerinde kolayca yayılabilen bir mantar hastalığı olan buğday kahverengi pas hastalığında bitkinin oluşturduğu protein yapılı ‘Pathogen associated molecular patterns (PAMP)’ adaylarını belirlemektir. Bu bilginin ıslahçılar tarafından kullanılabilmesi durumunda ise hastalığa dayanıklı buğday hatları geliştirilebilecektir. Bu durum hâlihazırda kimyasal mücadelenin yapılması nedeni ile doğa ve insan sağlığına kimyasalların olumsuz etkilerini büyük ölçüde azaltacağı gibi ürün kayıplarının diğer önemli nedenlerinden olan kimyasalların toprağa verdiği zararın da önlenmesine olanak sağlayacaktır.

Bunlara ek olarak tüm dünyada kabul edilen en etkin ve ekonomik mücadele yöntemi, patojene dayanıklı yeni çeşitlerin geliştirilmesidir. Bu nedenle istenilen verim özelliklerine sahip dayanıklı çeşitlerin geliştirilmesi amacıyla yapılan ıslah çalışmaları yillardan beri sürdürülmektedir. Ancak buğday gibi poliploidi gösteren,

büyük ve karmaşık yapılı genoma sahip bitkilerde klasik ıslah çalışmaları ile yeni çeşit geliştirmek, uzun yıllar alan, pahalı ve yoğun emek gerektiren bir süreçtir. Bu süreçte genellikle dayanıklı genotipler, istenilen özellikleri taşıyan verimli/kaliteli ancak hassas genotiplerle melezlenmekte, F1 neslinden itibaren her yıl elde edilen yeni nesle ait yüzlerce birey verim özellikleri ve dayanıklılık ölçütlerine göre değerlendirilip seçilerek bir sonraki nesli oluşturmak üzere yetiştirilmektedir. Bu nedenle ıslah çalışmaları ile yeni bir dayanıklı çeşidin geliştirilmesi yaklaşık 13-14 yıl gibi uzun bir süreci kapsamaktadır. Oysa pas etmeni mantarlar, farklı nedenlerle ve değişik mutajenlerin etkisiyle sıklıkla mutasyona uğrayarak birkaç yıl gibi kısa bir sürede farklı virülens özelliğe sahip yeni ırklar oluşturabilmektedirler. Meydana gelen bu yeni ırklar, pas hastalığına dayanıklı olarak bilinen ya da uzun ıslah çalışmaları sonucunda geliştirilen yeni buğday genotiplerini hastalandırmaktı hatta yeni pas epidemileri oluşturabilmektedirler.

Son yıllarda önemli gelişmeler gösteren biyoteknolojik yöntemler özellikle de moleküler teknikler, üretimi artırmak üzere tarımsal alanda yaygın biçimde kullanılmaktadır. Zirai alanda gerçekleştirilen moleküler çalışmaların önemli bir kısmı, çeşitli biyotik ve abiyotik stres etmenlerine karşı bitkinin sahip olduğu doğal dayanıklılık mekanizmalarının moleküler düzeyde aydınlatılması ve bu mekanizmalarda rol alan gen ve gen ürünlerinin belirlenmesi yönündedir. Bu çalışmaların ileriye dönük ortak hedefi; mekanizmaların aydınlatılması ile kısa sürede dayanıklı çeşitlerin geliştirilmesi ve son derece verimli olan hassas genotiplerin dayanıklı hale getirilmesine olanak sağlayacak moleküler verilerin ortaya konmasıdır.

2.KAYNAK ARAŞTIRMASI

2.1. NEKROTROFİK, BİYOTROFİK VE HEMİBİYOTROFİK PATOJENLER

Nekrotrofik patojenler, obligat olmayan parazitler olarak adlandırılır. Birçok bitki patojeni mantar *nekrotrofik* olarak sınıflandırılır. Bunlar konukçusunun hücrelerini öldürür ve onlarla beslenir. Nekrotrofik mantarlar, hücredeki enzimleri hedef alan toksik maddeleri sentezleyerek hücrenin ölümüne yol açar ve ölü hücrenin içeriğini metabolize ederler. Bu mantarlar genellikle saprofittirler ve yaşayan bir konukçu bulunmaması durumunda, sclerotia, spor ya da miseller olarak ölü bitki dokusu içerisinde yaşarlar. Fırsat bulduklarında ise, bu mantarlar parazite dönüşür ve bitkiyi öldürür ve ardından bu ölü bitki dokuları ile beslenirler. Nekrotrofiklerin ürettiği ikincil metabolitler, duyarlı konukçu hücreler için zehirlidir. Patojenlere ait toksik enzimler bitki dokularını indirgeyerek, öldürür ve bu ölü hücre bileşenleri onlar tarafından besin olarak kullanılır (Stone 2001).

Biyotrofik patojenler, bazen obligat parazitler olarak da adlandırılırlar. Bunlar ancak hassas konukçu üzerinde veya içinde yaşar ve ürerler. Biyotrofik patojenlerin çoğunluğu oldukça yüksek oranda özgün konukçuya gereksinim duyar. (Yani belirli bitki türlerinde etkindirler.) Bir biyotrof patojen ve konak arasındaki ilişki biyokimyasal ve yapısal olarak yüksek derecede özelleşmiş ve kompleks bir ilişkidir. Obligatlar konak hücre duvarına nüfuz ederek hücreler arası boşlukta kolonize olur ve konaktan besin teminini sağlamak ve konağın immün sistemini baskılamak üzere özelleşmiş olan hostorya (haustoria) olarak isimlendirilen membranlı yapı oluştururlar (Schulze-Lefert ve Panstruga 2003; Mendgen ve Hahn 2004). Bitki dokularını istila ederler, ancak onları öldürmezler veya aşamalı olarak yavaş yavaş öldürürler. Bu patojenler, konukçu hücrelerine gelişme döneminin sonunda zarar verirler; pas ve külleme gibi hastalık patojenleri bu sınıfındır. Nekrotrofiklerden farklı olarak, biyotrofik mantarlar enfekte ettikleri hücrenin metabolizmasını, kendi gelişmeyi ve üremelerini kolaylaşdıracak şekilde değiştirirler.

Hemibiyotrofik patojenler, mikoparazitizmin erken döneminde konukçuya fazla zarar vermemektedirler. Ancak parazitizmin ileri aşamalarında bitkiyi

öldürürler. Hemibiotroflar besin temini konusunda hem biyotrof hem de nekrotrof yaşam stratejilerini sergilerler. Patojenin biyotrof ya da nekrotrof olarak geçirdiği süre patojene göre değişiklik sergilemektedir (Horbach vd. 2011). Patateste geç yanıklık hastalığına neden olan *Phytophthora infestans* gibi hemibiotrofik mantarlar, bir süre biyotrofik olarak yaşamını sürdürdükten sonra aniden nekrotrofik rolüne geçer ve bitkinin ölümüne neden olurlar. Yine soya fasulyesinde antraknoz hastalığına neden olan *Colletotrichum lindemuthianum* hemibiotrifik bir patojendir. Bu mantar, soya fasulyesinin hücre duvarı plazma sıvısı arasındaki bir bölgede yaşar ve belirli bir aşamada aniden nekrotrofik aşamaya geçer ve kolonize olduğu bütün hücreleri öldürür (<http://www.sessizbahce.org/toprakkokenlimantarhastaliklari/3/>).

2.2. BUĞDAYDA PAS HASTALIKLARI

Buğday ülkemizde ve Dünya'da en önemli besin kaynaklarındanandır ve FAO verilerine göre ülkemiz dünya buğday üreticisi ülkeler arasında 9. sırada yer almaktadır (FAOSTAT 2012). Üretim miktarı; üretim yapılan toprakların erozyon, yanlış tarım politikaları ve çeşitli zararlıların neden olduğu hastalıklar dolayısı ile azalmaktadır. Ülkemizin iklim koşullarından dolayı pek çok tahlil hastalığı çeşitli şiddetlerde görülmektedir. Bu hastalıklar arasında en sık karşılaşılan ve önemli ürün kayıplarına neden olanlar külleme ve buğday başak yanıklığı hastalıklarıdır. Buğdayda yaşam koşullarının ve bitki üzerindeki semptomlarının farklılığı açısından üç çeşit pas hastalığı görülmektedir. Bunlar;

- 1) Sarı pas
- 2) Kahverengi pas
- 3) Kara pas

2.2.1. Sarı pas (*Puccinia striiformis*)

Hastalık, buğday tarlalarında ilkbaharda hava sıcaklığının 10-15 °C olduğu zaman görülmeye başlar. Yaprakların üst yüzeyinde makine dikişine benzer şekilde limon veya portakal renginde püstüler oluşur (Şekil 2.1). Bu püstüllerden oluşan milyonlarca yazılık spor rüzgârla çevreye dağılır.



Şekil 2.1. Buğdayda sarı pas hastalığı (<https://www.haberler.com/bugdayda-sari-pas-hastaligi-uyarisi-5978466-haberi/>)

2.2.2. Kara Pas (*Puccina graminis tritici*)

Kara pas etmeni kişi hastalıklı bitki parçacıkları üzerinde teliospor formunda geçirir. İlkbaharda uygun koşullarda çimlenerek oluşturduğu sporlar ara konukçu olan berberis veya mahonia bitkilerinin yapraklarına ulaştığında çimlenerek enfekte eder. Yaprağın alt yüzeyinde meydana gelen esiosporlar rüzgârla tahıl, yaprak ve sapların üzerine taşınarak uygun koşullarda (5-18 °C sıcaklık , %100 civarında nem) çimlenerek yazılık sporlar meydana gelir (Şekil 2.2).



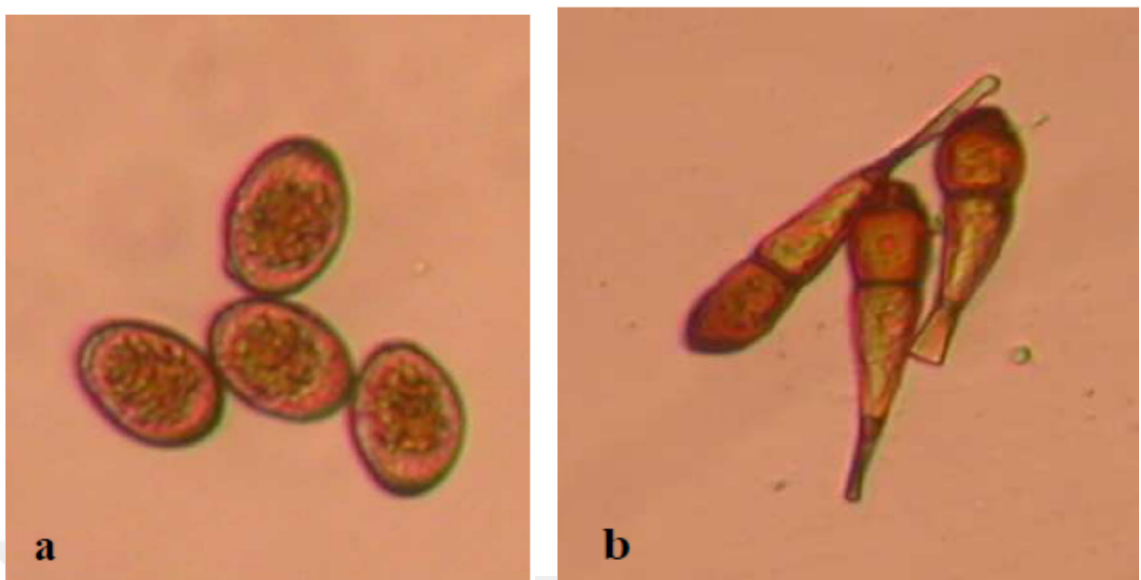
Şekil 2.2 Buğdayda kara pas hastalığı

2.2.3. Kahverengi Pas (*Puccinia reconditata tritici*)

Yaprak ayası ve kınının üst yüzeyinde üst boğum arası ve kılçıklarda yuvarlağa yakın şekilde, kahverengi ürediospor (yazlık spor) kümelerinden oluşan püstüler halindedir. Bazen bu pasta bir esas püstül etrafında çepeçevre bir veya iki daire halinde daha küçük püstüler oluşur. Bu belirti özellikle kahverengi pasın tanımında önemlidir. İlk enfeksiyonlar rüzgâr yardımıyla uzaklardan da gelebilen ürediosporlarca meydana getirilir.

Yüksek nem ve 10-18 °C arası sıcaklıkta hastalık hızla gelişir ve her 10-14 günde yeni bir yazlık spor nesli oluşur. Bitkiler olgunlaşlığında siyah renkli teliospor (kishlik spor) kümeleri oluşur. Kahverengi pas da diğerleri gibi verim ve kalite kayıplarına neden olur.

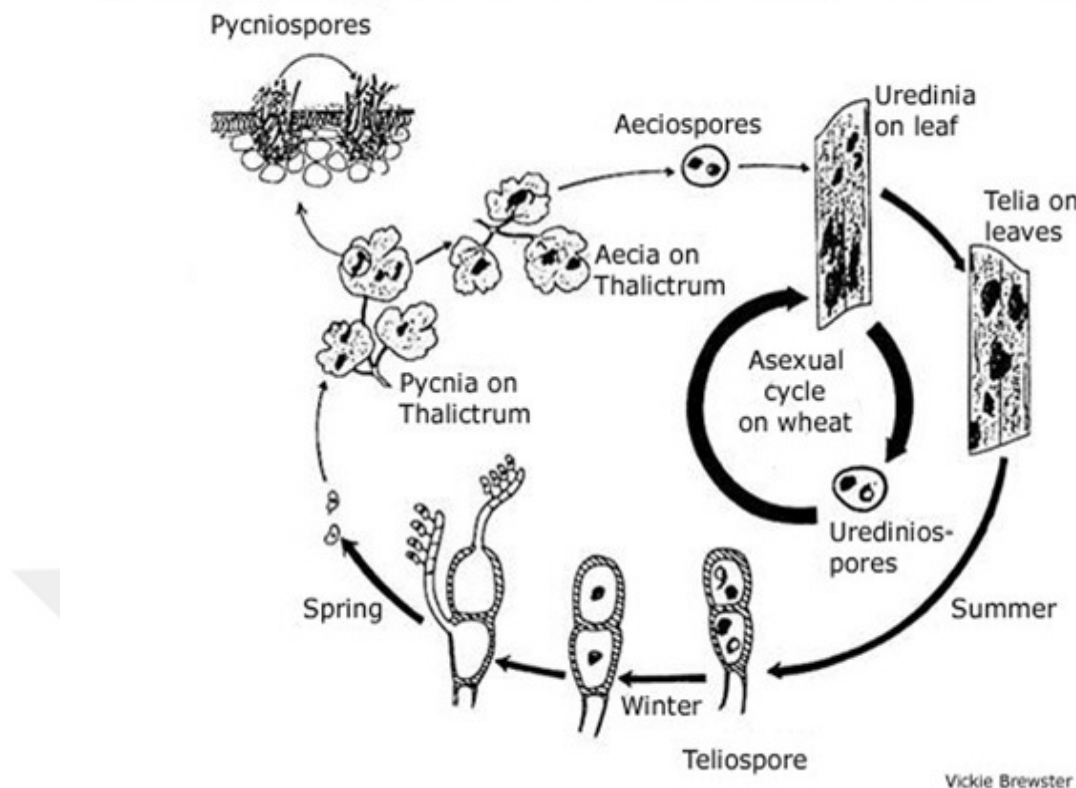
Kahverengi pasın bütün yaşam döngüsü boyunca 5 tip spor oluşturmaktadır, bunlar; buğday bitkisi üzerinde gelişen üredosporlar, telotosporlar (Şekil 2.3) ve basidiyosporlar ve alternatif konak üzerinde oluşan pycnidiosporlar ve aeciosporlardır.



Şekil 2.3 Ürediosporlar (a) ve teliosporlar (b) (Mert, 2010)

Yaşam döngüsü incelendiğinde ilk olarak spor yaprak üzerinde çimlenmelidir ve bunun için %100 neme ve 12-20 °C sıcaklığı ihtiyaç vardır.

- 1) Kışlayan telotosporlar, ilkbaharda çimlenerek basidiosporları oluştururlar. Bunlar rüzgârla konukçulara ulaşarak onları enfekte ederler.
- 2) Yapraklarda pycnia ve aecia evreleri oluşur. Esidilerde (aecia) oluşan esiosporlar rüzgârla dağılarak buğdayları enfekte ederler ve sonra oluşan üredosporlarla yeni enfeksiyonlara neden olurlar.
- 3) Spor çimlendikten sonra yaprak stomalarından girer ve enfeksiyon bütün yaprak yüzeyini kaplar (Şekil 2.4).



Şekil 2.4. *Puccinia triticina* yaşam döngüsü (Vickie Brewster, Singh R.P. vd. 2002)

Enfeksiyonun ciddiyeti patojenin yayıldığı yaprak yüzeyinin genişliği ile ölçülür. Enfeksiyon şiddeti buğday çeşidi, patojenin patojenisitesine ve nem, sıcaklık gibi meteorolojik faktörlere bağlıdır ve yüzde kayıp oranı olarak hesaplanmaktadır.

Kahverengi pas hassas bitki hatlarını etkilemekte ve patojen virülsensliğine bağlı olarak bütün yaprak yüzeyine yayılmaktadır, dirençli bitki de patojenle enfekte olabilir fakat dirençli organizmada patojen, hastalık gelişimini sağlayacak düzeyde ilerleyemez.



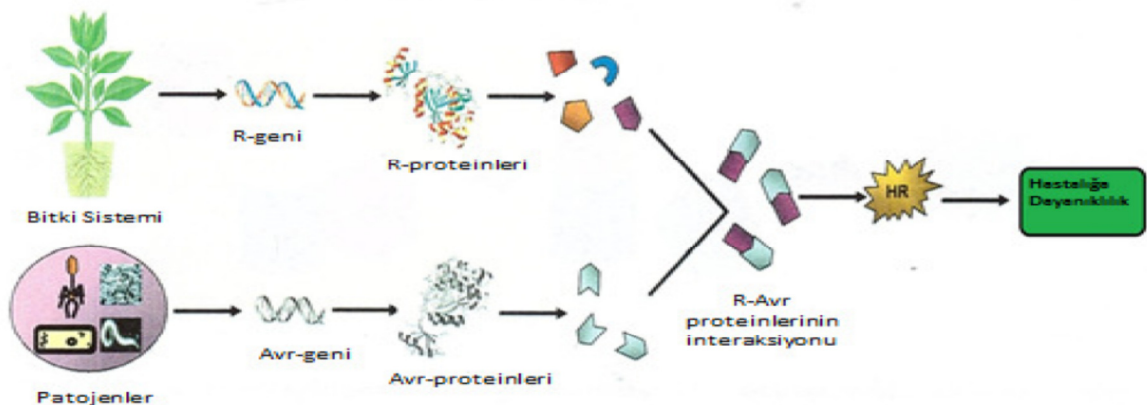
Şekil 2.5. Buğdayda kahverengi pas hastalığı (Ahi Evran Üniversitesi Biyokimya Labrotuvarı, 2014)

2.3. KONUKÇU-PATOJEN İLİŞKİSİ

2.3.1. Konukçu-Patojen İlişkisinde Gen İçin Gen Etkileşimi

Bir patojen, potansiyel bir konukçu ile karşı karşıya geldiğinde, konukçuyu başarılı bir şekilde kolonize eder ve hastalık oluşturabilirse, patojen virulent olarak ve konukçu da duyarlı olarak tanımlanır ve bu ilişkiye ‘uyumlu’ ilişki denir.

Eğer bir patojen potansiyel bir konukçuya karşı karşıya geldiğinde, konukçunun savunma mekanizmasını hızlı bir şekilde uyarıp, gelişmesi engelleniyorsa ve hastalık gelişimi gözlenmiyorsa, patojene avirulent, konukçuya dayanıklı ve bu ilişkiye de ‘uyumsuz’ ilişki denir. Bir başka deyişle; bitki patojeninin sahip olduğu avirulent genleri elisitör proteinleri kodlar, bu elisitör proteinlere karşı bitkinin dayanıklılık genleri tarafından kodlanan reseptör proteinler varsa bitki patojenin varlığını anlayarak savunma mekanizmasını aktive eder. Bu bitkideki dayanıklılık geni ve patojenin avirulent geni arasındaki ilişkiye ‘gen için gen teorisi’ denir (Floor 1955).



Şekil 2.6. Konukçu-patojen ilişkisi (Gururani vd. 2012)

2.3.2. Spesifik Dayanıklılık

Daha aktif ve daha etkili bir savunma sistemi ise, aşırı duyarlılıktır (hipersensitif reaksiyon, HR). Böyle bir dayanıklılık şekli belirli bir patojenin bazı ırklarına karşı ortaya çıkabilirken (ırka özgü dayanıklılık, dikey dayanıklılık, race-specific-resistance) patojenin tüm ırklarına karşı, (ırka özgü olmayan dayanıklılık, yatay dayanıklılık veya genel dayanıklılık, race-nonspesific-resistance) da olabilmektedir.

Genel dayanıklılık ile ırka özgü dayanıklılık arasındaki en önemli fark, genel dayanıklılığın ırka özgü dayanıklılığına oranla çok daha uzun ömürlü olmasıdır.

Bitki kendisini patojen saldırısından koruyabilmek için şu özelliklere sahip olmalıdır;

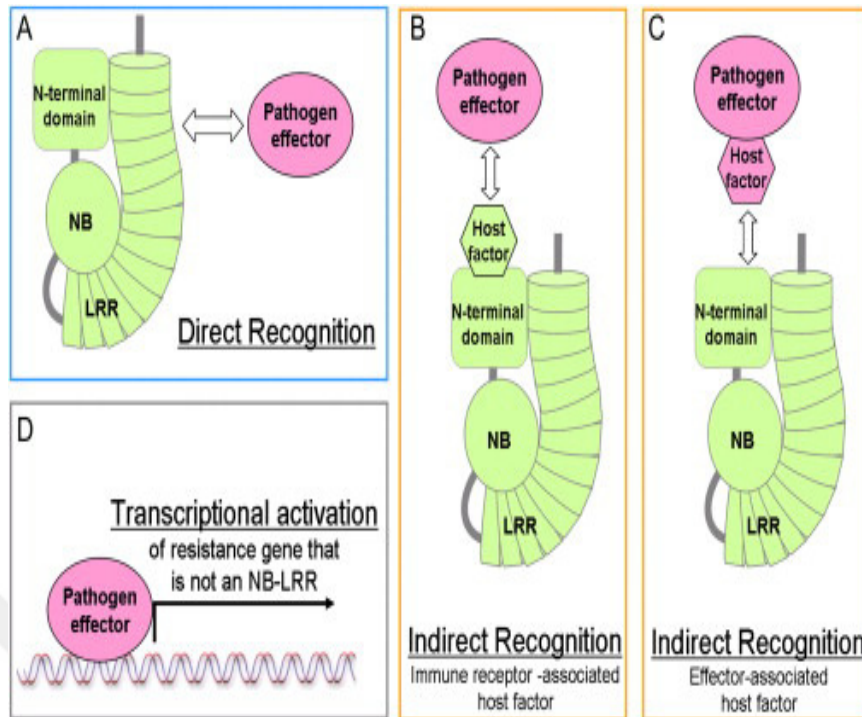
- 1) Bitki patojenin kendisini konukçu olarak tanımamasına fırsat vermemelidir.
- 2) Bitki patojenin içeri sızmasını önleyici silahlara sahip olmalıdır.
- 3) Bitki içeriye girmiş patojenlerin gelişmesini önleyebilecek donanıma sahip olmalıdır.

Bitki dayanıklılık (R) proteinlerinin oluşturdukları protein yapıları araştırıldığında dayanıklılık proteinlerinin domain adı verilen özel alanlardan oluştuğu ve bu özel alanların biyokimyasal fonksiyonlarına bakılarak dayanıklılık genlerinin 3 sınıfta toplandığı görülmektedir.

2.3.3. Dayanıklılık Genleri

2.3.3.1. 1.Sınıf dayanıklılık genleri

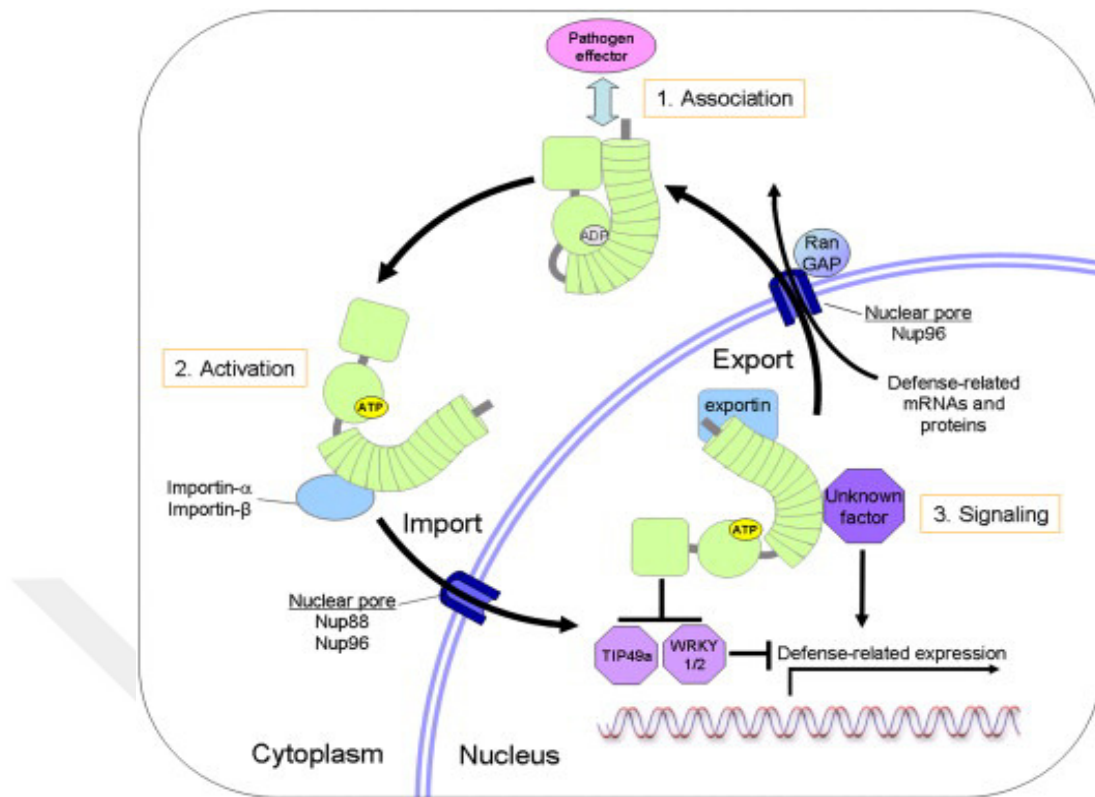
Nükleotidlerin bağlandığı yer (nucleotidebinding site: NBS) ve lösin aminoasidince zengin tekrarların bulunduğu (leucine rich repeats: LRR) protein motifleri içermektedir (Dangl vd. 2001). Bu NBS-LRR grubundaki dayanıklılık proteinleri farklı patojenlere karşı dayanıklılığı sağlar. Proteinlerin amino ucundaki (N-ucu) protein motifine bakılarak NBS-LRR grubu 2 alt gruba ayrılmaktadır. Birinci alt grupta N-ucunda stoplazmik sinyal domain olarak bilinen *drosophila* sineklerinin ve insan *interleukin-1* reseptör proteinlerine (TIR) benzetilen bir protein yeri bulunmaktadır ve bu yapıya da TIR-NBS-LRR tip dayanıklılık proteinleri denilmektedir (Lawrence vd. 1995). 2.alt grupta ise; NBS-LRR proteinlerinin N-ucuna sarmal şeklinde bir protein domain olarak (coiled coil: CC) yer almıştır ve bu yapıya da CC-NBS-LRR tip proteinler denir (Bent vd. 1994).



Şekil 2.7. Konukçu-patojenin birbirini tanımaması (Caplan Jeffrey vd. 2008) (A) patojen efektör direkt olarak NB-LRR immün reseptörüne bağlandığında direkt tanıma gerçekleşir. (B) Altenatif olarak konukçudaki NB-LRR lar N-terminalindeki CC'ya da TIR domain faktörü tarafından indirekt olarak tanınır. (C) ya da patojen efektörü ilk konukçu faktöründeki N-terminaline bağlanır. (D) patojen efektör transkripsiyon faktörünü taklit ederek non NB-LRR direnç proteinini indükleyerek üçüncü tip tanıma vuku bulur.

R protein sınıfı	Şekilsel domain yapısı	Öngörülen fonksiyonu	Ornek dayanıklılık proteini	Referans
	TIR - NBS - LRR	Reseptör	N, L	Lawrence <i>et al.</i> , 1995, Whitman <i>et al.</i> , 1994
NBS-LRR	CC - NBS - LRR	Reseptör	RPM1, RPS2	Bent <i>et al.</i> , 1994, Grant <i>et al.</i> , 1995
	TIR - NBS - LRR - W	Reseptör	RRS1-R	Deslands <i>et al.</i> , 2002, Yamasaki <i>et al.</i> , 2005
eLRR	eLRR - TM	Reseptör	Cf9, RPP27	Jones <i>et al.</i> , 1994, Tor <i>et al.</i> , 2004
	eLRR - TM - KIN	Reseptör	Xa21, Xa26	Song <i>et al.</i> , 1995, Sun <i>et al.</i> , 2004
	- KIN	Konukçuda hedef	Pto, PBS1	Martin <i>et al.</i> , 1993, Swiderski and Innes, 2001
	TM - CC	Bilinmiyor	RPW8	Xiao <i>et al.</i> , 2001
Tipik olmayan	TM - TM	Bilinmiyor	Xa27	Gu <i>et al.</i> , 2005
	TM - TM - TM - TM - TM - TM - TM	Döllenme	Xa13	Chu <i>et al.</i> , 2006
	TM - TM - TM - TM - TM - TM - TM	Negatif regülator	MLO	Buschges <i>et al.</i> , 1997

Şekil 2.8. Bitki dayanıklılık (Resistance: R) proteinlerinde görülen yaygın protein motif (domain) yapıları. (Özer ÇALIŞ) TIR: Tolland interleukin-1 reseptör,NBS: Nükleotidlerin bağlılığı domain (nucleotide binding site), eLRR: Hücre dışına uzanan leucine zengin tekrarlar (extracellular leucine rich repeats), CC: sarmal protein (coiledcoil) domain, W: WRKY domain, Kin: Serine-thyronine içeren kinase, TM: membran geçişini sağlayan heliks (transmembrane helix) domain.



Şekil 2.9. Konukçunun patojeni tanımı (Caplan vd. 2008)

2.3.3.2. 2. Sınıf dayanıklılık genleri

Hücre yüzeyinde reseptör benzeri membran geçişini sağlayan heliks (receptor like transmembrane) proteinleri ve reseptör benzeri kinaz (receptor like kinases) proteinleri içermektedir. Bu proteinlerin genel özelliği hücre dışına uzanan lösin zengin tekrarlardan (extra cellular-LRR: eLRR) oluşan protein domainlerinin bulunmasıdır (Tor vd. 2004).

2.3.3.3. 3. Sınıf dayanıklılık genleri

Son sınıf dayanıklılık proteinleri ise 1.ve 2. sınıf protein motiflerini ya da bir protein domainini içererek yapısal olarak ilk 2 sınıfa benzemektedir. Ancak proteinlerin yapısal bazı farklılıkları bu dayanıklılık proteinlerinin yeni protein yapısı kazanmasını sağlamaktadır. Yapısal olarak başka tipi olmayan birer örnekle

tanımlanan bu dayanıklılık proteinleri ilk 2 protein sınıfı ile kolayca mukayese edilebilir (Xiao vd. 2001).

Kinaz yapısındaki dayanıklılık genlerini saymazsaç son sınıf içerisindeki farklı yapıda bulunan dayanıklılık proteinlerinin ve onları kodlayan dayanıklılık genlerinin farklı mekanizmalara sahip olduğu söylenebilir. Çünkü son sınıf içerisindeki RPW8 ve MLO genleri konukçuda ırklara spesifik olmayan geniş spektrumlu dayanıklılık oluşturmaktadır (Xiao vd. 2001).

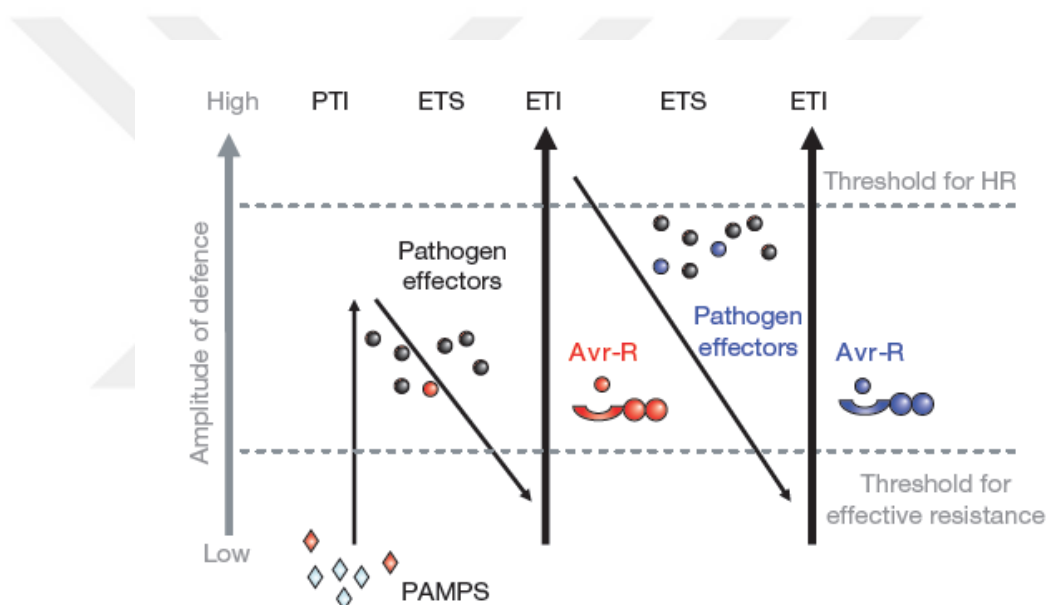
2.4. BİTKİ İMMÜN SİSTEMİ

Bitkiler de tipki hayvanlar gibi potansiyel olarak kendinden olmayan böcek, mikrop vb.leri tepsit ederek önleyen doğuştan gelen bağılıklık sistemine sahipken hayvanlar kalıtsal bağılıklığa ek olarak edinilmiş immüniteye de sahiptirler (Silipo vd. 2010; Zamioudis ve Peterse 2012). Bitkilerdeki bağılıklık sisteminin devreye girmesine neden olan patojenler tarafından salgılanan ve bitkide bulunmayan yapılar ‘patojen ile ilişkili moleküller yapılar (Pathogene associated molecular patterns-PAMPs)’ olarak adlandırılmaktadır (Aksoy vd. 2012). Patojenik bakterilerin sahip olduğu flagellin (flg22) ve lipopolisakkaritler (LPS), fungal patojenlerde kitin; bitkilerde bağılıklık sisteminin ortayamasına neden olan yapılara yani PAMPlara örnek olarak verilebilir. Patojen olmayan bakteri ve mantarlarda ise konakta bağılıklık sistemini harekete geçiren yapılara ‘mikropla ilişkili moleküller yapılar (Microbe Associated Molecular Patterns-MAMPs)’ denir (Aksoy vd. 2012; Newman vd. 2013). Bitkiler, hücre yüzeylerindeki reseptörler yardımıyla PAMPları veya MAMPları tanıyarak, patojene karşı sahip oldukları savunma sinyallerini harekete geçirirler (He vd. 2006; Zipfel 2008). PAMPları tanıyarak bitki savunma sistemini harekete geçiren bu reseptörlere, ‘PAMPları tanıyan reseptör’ yapılar (Pattern recognition receptor - PRR) denilmektedir. PAMPların eksik algılanması veya hiç algılanmaması durumunda bitkilerde hastalığa karşı hassasiyetin arttığı bildirilmiştir (Newman vd. 2013; Bent vd. 2007).

Bitkilerde bağılıklık sisteminin ilk evresi; PTI (PAMP-Triggered Immunity-PAMP-Tetiklenmiş İmmünite) tarafından PAMPların veya MAMPların hassas algılanmasıdır (Abramovitch vd. 2006; Jones vd. 2006). Mesela, plazma membranına

yerleşmiş LRRlar (leucine rich repeat- lösince zengin tekrarlar), FLS-2 olarak bilinen PRR ile bakteriyel flagellinleri algılarlar (Zipfel 2004). Flagellin ve diğer MAMP savunucuları PTI olarak adlandırılırlar.

Başarılı patojenler, PTI yi engelleyici efektörler üretirler. Ancak bitkiler aksine; (efector triggered immunity-efektör tetiklenmiş immünite) ETI denilen ikinci evre müdafaya düzenlemek amacıyla genellikle NBS-LRR (nucleotid binding site-nükleotidlerin bağlanma bölgesi/leucine rich repeat-lösince zengin tekrarlar) gibi reseptörler ile bazı efektörleri algılarlar.



Şekil 2.11. Bitki ve patojen arasındaki etkileşimi gösteren zigzag modeli (Jones ve Dangl, 2006)

Jones ve Dangl (2006) tarafından ileri sürülmüş olan ve Şekil 2.6.'da gösterildiği gibi bitki bağılılık sistemi 4 fazda incelenmektedir.

Birinci fazda patojen tarafından salgılanan ve MAMP veya PAMP olarak adlandırılan oldukça iyi korunmuş yapılar bitki tarafından tanıdığı zaman bitkiler bazal savunmalarını harekete geçirirler. Bu şekilde oluşan immüniteye PTI da

denmektedir. Bakteriyel flagellinler, fungal kitin, Pep-13 ler bitki tarafından tanınan örnek MAMP molekülleridir. Bu moleküller bitkinin bunları tanımmasını sağlayan PRR olarak isimlendirilen reseptörleri tarafından algılanırlar, örneğin *flg22* flagellin molekülü membranda bulunan FLS2 olarak bilinen PRR tarafından tanınır. MAMP'ların PRR lar tarafından algılanması zayıf bir immünite sağlamakla beraber bu patojenin konakta ilerlemesini bloklar (Jones vd. 2006; Bent vd. 2007).

İkinci fazda patojen bitkinin basal savunmasını kırmak için bazı adaptasyonlar geçirdiğinden basal savunma sistemi patojen ataklarına karşı çok etkin değildir. Patojen modifikasyonları çoğunlukla bitkiye spesifiktir. İkinci fazda patojenler ürettiği efektör proteinler ile MAMP-PRR etkileşimlerini inhibe ederek bitki savunma sistemini zayıflatırlar.

Üçüncü fazda ise bitkiye ait R (direnç) proteini patojene ait bir efektör proteini - ki bu avirülen (avr) proteini olarak da bilinir- tanır ve bununla etkileşime girer bu R-avr etkileşimi ilk olarak Flor vd. (1955) tarafından tanımlanmıştır. Bu etkileşim ile yüksek hassasiyet cevabı (hypersensitive response-HR) oluşabilir HR'da patojenin temas ettiği hücrelerin yanı sıra etrafını sarان alanlarda da programlanmış hücre ölümleri meydana getirilerek patojenin ilerlemesi durdurulur.

Dördüncü fazda; patojenler efektör tetiklenmiş hassasiyet (effector triggered susceptibility-ETS) oluşumu ile PTI'yi yenebilirler. Bu olay patojenin bazı fonksiyonları kazanması, bitki hormonlarını veya hücre fonksiyonlarını taklit etmesi ya da bu fonksiyonları inhibe eden küçük moleküller üreterek bitki hücresinin işgal etmesi ile gerçekleşir. Patojenin bitki hücresinin taklit eden veya inhibe eden molekülleri salgılaması tip 3 salgılama sistemi (TTSS) denilen sistem ile gerçekleşmektedir (Jones vd. 2006; Bent vd. 2007). Bu sistem bakteriyel patojenler tarafından çoğunlukla kullanılmaktadır, fungal patojenler için bilinen bir TTSS sistemi yoktur.

2.5. PATOJENLE İLİŞKİLİ MOLEKÜLER YAPILAR (PAMPs)

Bitkilerde hastalık etmenlerine karşı savunma sisteminin devreye girmesine neden olan patojenle ilgili yapılara PAMP denir. PAMPlar 2 çeşittir;

2.5.1. Bakteriyel PAMPlar

Günümüze kadar bitki-bakteriyel patojen ilişkisi ile alakalı pek çok araştırmalar yapılmıştır. Bu araştırmalarla bitki-patojen ilişkilerinde bitki *avr* genlerinin ürünlerinin moleküler aktivitesi tam olarak açığa kavuşturulamamıştır ancak bazı *avr* genlerinin bitkiye aktarılarak ürün miktarının artırılmasında ve dayanıklılık sağlanması etkili olmuştur (Leach ve White 1996; Ritter ve Dangl 1995).

2.5.1.1. Flagella kaynaklı PAMPlar

Bakterilerdeki flagella yapıları bakterilerin hareketini sağlayan yapılardır ve hem hayvansal organizmalarda hem de bitkilerde bağıskılığı tetiklerler (Schuster ve Khan 1994). Bakteriyel flagellin yapısında 22 amino asitlik bir kısım PAMP olarak bilinmektedir ve *flg22* olarak adlandırılan PAMP molekülüdür (Naito vd. 2007; Boller ve Felix 2009). *flg22* Peptidi bir çok bitki türünde cevap oluşturur. Örneğin bu peptidin çeltikteki PAMP aktivitesi vardır ama zayıftır (Takai vd. 2008). Yine bakteri flagellasında bulunan *flg 15* epitopu domatesten kalıtsal immuniteyi tetiklerken arabidopsis bitkisinde herhangi bir cevap oluşturmaz (Robatzek vd. 2007).

2.5.1.2. Lipopolisakkarit yapılı PAMPlar

Gram negatif bakterilerin hücre duvarlarında bulunan Lipopolisakkaritler (LPS) bakteriyel büyümeye yaşamsal etkili ve bakterilerin hücre zarının yapısal özellikleri için önemli olan moleküllerdir (Silipo vd. 2010). Bitki yapılarında bulunmayan ve oldukça farklı kimyasal yapıları olan moleküller olarak bitkiler tarafından PAMP olarak algılanırlar (Molinaro vd. 2009). LPS amfifilik makromoleküllerdir ve bu moleküller bir lipid kısmı ki burada Lipid A denen bir kısım ve hidrofilik kısım olan heteropolisakkarit içerirler. Yapıda Lipid A kısmı PAMP olarak davranışmaktadır, arabidopsis bitkisinde ise bütün LPS olarak PAMP

aktivitesi sergilerler (Zeidler vd. 2004), burada LPS NO sentazı aktive ederek bitkideki savunma sistemi genlerinin indüklenmesine neden olur.

2.5.1.3. Elongasyon faktör TU PAMP'ı

Elongasyon faktör Thermo unstable (EF-Tu) bakterilerde en bol bulunan proteinlerdir (Zipfel 2008). EF-Tu yapısında bulunan 18 amino asitlik *elf18* olarak isimlendirilen peptid PAMP olarak görev yapar. Arabidopsis ve hardalgiller ailesinden olan bitkiler bakteriyel EF-TU'yu PAMP olarak algılarlar (Kunze vd. 2004). Tipik bir PAMP olarak bakteriyel EF-Tu bakterinin yaşamını idame ettirebilmesini sağlayan yaşamsal moleküllerdir.

Flagella kaynaklı, LPS yapılı ve EF-TU PAMPlara ek olarak bakterilerde bulunan diğer PAMP yapıları *Pseudomonas aeruginosa* bakterisinde bulunan **Ramnolipidler**, (Varnier vd. 2009) ki bu yapılar asma bitkisinin yanı sıra buğday, tütin ve arabidopsiste de PAMP olarak aktiftir (Vatsa vd. 2010). Diğer taraftan Asma için bakteriyel PAMP olan ramnolipidler asmayı nekrotrofik mantarlardan olan *Botrytis cinerea* enfeksiyonundan korur (Varnier vd. 2009). Gram pozitif ve gram negatif bakterilerde peptidoglikan yapı komponentlerinden olan **Muropeptidler** (Gust vd. 2007), EF-Tu'nun tersine ısiya karşı kararlı ve glisin amino asidi açısından zengin olan bir protein olan **Harpin proteini** gibi proteinler de bakterilerde bugüne kadar tanımlanmış PAMP molekülleridir.

2.5.2. Fungal PAMPlar

Özellikle tahillarda enfeksiyona ve en büyük verim kayıplarına neden olan patojenler fungal patojenlerdir. Fungslarda da diğer canlılar gibi konağın kendilerini tanımlarını sağlayan spesifikleşmiş pek çok yapı ve molekül bulunmaktadır. Günümüze kadar tanımlanmış olan fungal PAMP yapıları incelendiğinde hücre duvarından kaynaklanan şeker ve kolesterol yapılı PAMPlar, protein yapılı PAMP'lar, ve son yıllarda PAMP etkisi anlaşılan yapısında şeker artıkları ve sfingozin iskeletine sahip yağ yapılarının bulunduğu serebrozidler olarak isimlendirilen sfingolipidler PAMP molekülleri olarak çeşitli bitki funguslarında bulunmaktadır. Bu moleküller 2004 yılında bitkide savunma sistemini uyaran ve

patojen için yaşamsal olan “elisitör”ler olarak çeşitli *Fusarium oxyporium* türlerinde *Fusarium* f. sp. *lycopersici*, *Fusarium* f. sp. *melonis*, *Fusarium* f. sp. *cucumerinum*, *Fusarium* f. sp. *Lactucae*, ve *Sclerotinia cepivorum* patojeninde serebrozid sınıfı elisitörlerin olduğu 2004 yılında Umemura ve çalışma grubu tarafından bildirilmiştir.

2.5.2.1. Hücre Duvarı Kaynaklı PAMPalar

Bitkiler hayvansal organizmadan farklı olarak ana malzemesini selülozun oluşturduğu çeşitli kısımlardan oluşmuş ve farklı fonksiyonları gerçekleştirmek üzere özelleşmiş farklı özelliklerdeki oligo ve polisakkartitlerden ibaret hücre duvarlarına sahiptirler. Selüloz polisakkartit β 1-4 glikosidik bağı ile bağlı glukoz birimlerinden oluşmuş polimerlerdir (Somerville 2006). Selüloz birimlerinden başka pektik polisakkardiller ve hemiselülozik polisakkartitler olmak üzere iki çeşit polisakkartit gubu da bitki hücre duvarlarında yer almaktadır bu polisakkartitlerden birinci gruba homagalakturonan ve ramnogalakturonanlar (Harholt vd. 2010), ikinci gruba ise ksiloglukanlar, glukomannanlar gibi polisakkartitler örnek olarak verilebilirler (Scheller ve Ulvskov 2010). Ayrıca bu yapıların bulunduğu konjuge proteinler hücre duvarlarının temel bileşenidirler. Bu hücre duvarının bitkiyi çeşitli böcek ve patojenlerden korur, su homeostazını sağlar, büyümeyi sağlamak gibi işlevleri vardır. Hücre duvarlarının sayılan komponentlerini parçalayan mikro organizmalar bunu bünyelerinde salgıladıkları çeşitli enzimler ile gerçekleştirirler.

Aynı şekilde bitkilere spesifik fungal patojenler de tipki bitkiler gibi katı hücre duvarlarına sahiptirler ve fungusların hücre duvarları da bitki tarafınan düşman olarak algılanırlar. Fungus hücre duvarlarında ise bulunan temel polisakkartit sınıfı ise N-asetil glukozamin birimlerinin β 1-4 glikosidik bağı ile bağlanması ile oluşan ve kitin dediğimiz birimlerden ibaret kitooligosakkartit birimleridir ve bu birimler bitkilerde yoktur fakat bitkiler bu yapıları parçalayan kitinaz adı verilen enzimleri salgılarlar (Eckardt 2008). Böylece oluşan kitin birimleri bitki immün sistemini uyaran PAMP olarak davranışmaktadır. Çeltikte yanıklık hastalığına neden olan *Magnaporthe oryzae* fungusunda bulunan N-asetilkitoheptaozkitooligosakkartitine karşı çeltik savunma sistemini uyarmaktadır (Yamaguchi vd. 2002). Sekiz kitin biriminden oluşan kitooktaoz çeşitli bitkilerde en çok savunma cevabının oluşmasına

neden olan kitin oligomeridir (Wan vd. 2008a, b). Karbohidrat yapılı PAMPlar sınıfından kitin ve kitin oligosakkaritlerinden başka yine fungus hücre duvarlarının komponeti olan ve bitkilerde bulunan beta glukanaz enzimlerince oluşturulan beta glukan birimleri de hücre duvarı kaynaklı fungal PAMPlar sınıfındandırlar. Her bir beta glukan yapılı oligo ya da polisakkarit farklı bitkilerde farklı cevaplar oluşmasına neden olmaktadır, örneğin; *Magnaporthe oryzae* patojeninden kaynaklı tetraglukozil glusitol çeltik bitkisi tarafından PAMP olarak algılanırken soya fasulyesinde aktif değildir (Yamaguchi vd. 2000a, b).

Fungus hücre duvarları polisakkaritler, gluko proteinler gibi yapılara ek olarak kolesterol yapılarını da içermektedir ve sadece fungslara özgü olan kolesterol grubu ergosterollerdir. Bitkiler bu ergosterol yapılarını algılayarak (Kasparovsky vd. 2003, 2004; Laquitaire vd. 2006; Lochman ve Mikes 2006), ROS oluşumu, MAPkinazların aktive edilmesi (Lochman ve Mikes 2006), çeşitli oksidaz ve süper oksidazların aktivasyonu (Rossard vd. 2010) gibi PAMPların algılanması sonucu oluşan bir dizi olayın bitki hücresinde oluşmasına neden olduklarından PAMP olarak sınıflandırılmaktadırlar.

2.5.2.2. Protein Yapılı PAMPlar

Bitkileri enfekte eden funguslar tarafından üretilen ve bitki de immün sistemin uyarılmasına neden olan protein yapılı PAMP'lar sınırlı sayıdadır. Bunlar arasında en çok çalışılan ve bilinenleri tütün ve domatest PAMP ların indüklediği savunma mekanizmalarını harekete geçiren etilen tarafından induklanmış ksilenaz (EIX) proteini (Bailey vd. 1990; Avni vd. 1994) proteini ve 24 kDa luk nekroziz ve etilen induklanmış protein (Nep 1) den bahsedilebilir. Bu protein ise *Fusarium oxysporum* f. sp. *Erythroxylı* nekrotrofik fungusunun kültür filtratlarında bulunmuştur. EIX tütün ve domateste LRR-RLP reseptörleri tarafından tanınarak cevap oluşmasına neden olurken (Ron ve Avni 2004), Nep 1 genel elisitor olarak davranışır ve Ca²⁺ sinyal sistemi, potasyum ve proton kanallarında değişiklik, etilen üretimi gibi (Jennings vd. 2001; Fellbrich vd. 2002; Keates vd. 2003; Bae vd. 2006) cevapların oluşmasına neden olur. *Fusarium oxysporum* f. sp. *Erythroxylı*'den başka fungslarda da Nep 1 benzeri (NLP) proteinler bulunmuştur;

Botrytis cinerea (Schouten vd. 2008; Arenas vd. 2010), *Magnaporthe grisea*, *Fusarium graminearum* ve *Mycosphaerella graminicola* (Motteram vd. 2009).

Protein yapılı PAMP'lar sınıfına LysM domaini içeren protein grubu da girmektedir. Çeşitli insan ve bitkileri enfekte eden patojenler tarafından salgılanan efektör yapıları PAMP lardır. Fakat bugüne kadar yapılan çalışmalarda puccinia grubu patojenlerde bulunmamışlardır (Jonge ve Thomma 2009).

2.5.2.3. Sfingolipidler

Sfingolipidler sfingozin yapısını temel alan serebrozid sınıfı lipid molekülleridir ve bir çok canlı sınıfı için yaşamsaldırlar, fungusların normal gelişimi içinde önemli moleküllerdir (Levery vd. 2002). Sfingolipidler hücre membran yapılarının bütünlüğünün korunması için önemli moleküllerdir ve A, B, C olmak üzere sınıflandırılırlar bu sınıflandırmada temel olan yapılarında bulunan şeker artıklarının farklılaşmasıdır. Oldukça geniş bir patojen sınıfında PAMP olarak davranışırlar örneğin *Fusarium oxyporium* türleri; f. sp. *lycopersici*, f. sp. *melonis*, f. sp. *cucumerinum*, ve f. sp. *lactucae*, *Pythium graminicola*, *Glomerella cingulata*, ve *Sclerotinia cepivorum* sfingolipid elisitörlere sahiptirler (Umemura vd. 2004).

3. MATERİYAL VE METOD

Çalışmada kullanılan buğday tohumları Gıda, Tarım ve Hayvancılık Bakanlığı Tarımsal Araştırmalar Genel Müdürlüğü (TAGEM)'den temin edilmiş olan Morocco yazılık varyeteleridir.

Kahverengi pas etmeni olan *Puccinia triticina race 1* suşu ise Gıda, Tarım ve Hayvancılık Bakanlığı Gıda ve Kontrol Genel Müdürlüğü'nün 423 sayılı ve Şubat 2013 tarihli izni ile Agriculture and Agrifood Canada (AAFC), Cereal Research Centre'dan Dr. Christof RAMPITSCH'den temin edilmiştir.



Şekil 3.1 Bitkiden toplanan pas üredio sporları (toz hali).

3.1. BİTKİ MATERİYALİ VE ENFEKSİYON

AAFC'den temin edilmiş olan *Puccinia triticina* (*P. triticina*) race 1 patojeninin devamlılığını sağlamak amacıyla uygun koşullar sağlanarak SHELLAB Diurnal marka iklimlendirme dolabında Morocco yazılık varyete buğday bitkisi yetiştirildi. Bu amaçla içerisinde torf toprak bulunan her bir saksıya 16 saat 20°C

gündüz, 8 saat 15°C gece koşulları ve ışık şiddetinin 30000 Lux olması sağlanarak buğday tohumları ekildi, ekimi takiben ve bu buğdaylar çimlenip boyları yaklaşık 1-2 cm olduklarında boylarının çok fazla uzamaları engellenerek enfeksiyon verimini artırmak amacıyla ile her bir köke 2 mL olacak şekilde maleikhidrazid (Sigma) (0,25 g/L) verildi. Bitki boyları yaklaşık 6-7 cm iken yani ekildikten takriben 10-12 gün sonra uygun miktarda *P. triticina* sporları 40°C'ye ayarlanmış su banyosunda aktive edildikten sonra enfeksiyon için kullanılan kapsüllere aktarılarak mineral yağ ile süspansiyon edildi ve bu spor süspansiyonu bitki yapraklarının iç kısmına püskürtüldü. Enfeksiyon için uygun koşullar; gece-gündüz sıcaklıklarını 20 °C ye ayarlanarak 24 saat boyunca belirli aralıklarla nem verilmesi sağlandı. Enfeksiyondan yaklaşık 10 gün sonra yapraklar üzerinde oluşan paslar pas toplama aparatı yardımı ile toplanarak tüplere aktarıldı ve neminin gitmesi için tüpün ağzı parafilm ile sarılarak silika jel bulunan kaplarda +4°C'de muhafaza edildi.



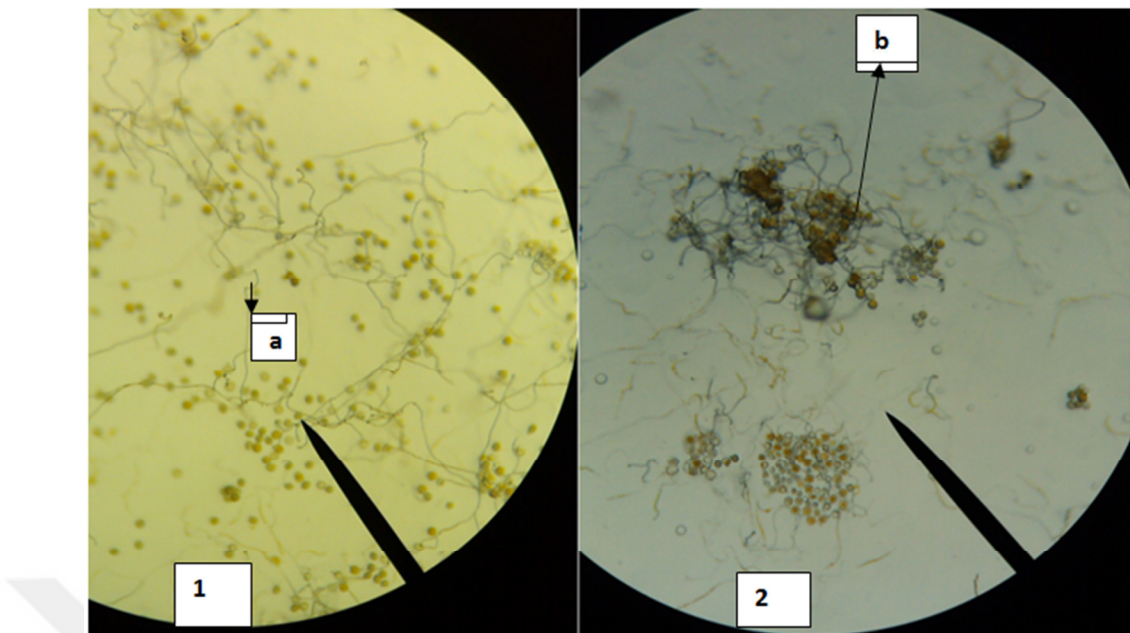
Şekil 3.2. Bitkiye hastalığın enfekte edilmesi. Kuru hava yardımcı ile mineral yağ- pas süspansiyonu püskürtülerek enfekte edilmektedir.

3.2. ÜREDİOSPORLARIN ÇİMLENDİRİLMESİ

Yaklaşık olarak 80-90 cm petriye ($R= 5$ cm) %0,5 (W/V) agaroz hazırlanarak petri başına 2 ml olacak şekilde döküldü ve soğuduktan sonra her bir petriye yaklaşık 2-2,5 mg pas olacak şekilde ekilip 24 saat karanlıkta ve 20 °C sıcaklıkta çimlenmeye bırakıldı. Ertesi gün LEICA V500 marka mikroskop altında (40x) tübül oluşumu izlendi. Petrinin üst yüzeyinden bakıldığındá az gibi görünen tübüller, petrinin alt yüzeyinden bakıldığındá daha fazla olduğu görüldü. Buda, tübüllerin ortamda dikey olarak geliştiğini göstermektedir (James W. B. vd. 2010). Tübül oluşumu gözlenen petriler yüzey proteinlerin ekstraksiyonunun gerçekleştirilmesi amacıyla seçildi.

3.3. YÜZEY PROTEİN EKSTRAKSİYONU

Germ tüpleri gözlemlenen petri içerikleri agaroz ile beraber total protein ekstraksiyonu için sıvı azot ile soğutulmuş havanlara alınıp izolasyon işlemi başlatıldı. Total protein ekstraksiyonu için TCA/Aseton-Fenol/Metanol (Gonzalez-Fernandez vd. 2010) yöntemi kullanılarak gerçekleştirildi. Yöntem aşağıdaki gibidir.



Şekil 3.3. Agaroz jele ekilen pasların 24 saat sonunda tübul oluşumu 1) % 0,5lik agaroz ortamında mikroskopla petrinin üst yüzeyinden görüntü 2) % 0,5lik agaroz ortamında mikroskopla petrinin alt yüzeyinden görüntü a) % 0,5lik agaroz ortamında *p. Triticiniaüredo* sporları b) % 0,5lik agaroz ortamında germ tüpleri

3.3.1. TCA/Aseton-Fenol/Metanol Yöntemi

Yukarıda belirtildiği şekilde toplanan germ tüpleri tartılarak sıvı azot yardımı ile havanda yaklaşık 1 saat çok ince toz haline getirildi. Ezme esnasında havan içerisinde 0,1g PVPP (Polivinil Polipirolidon) (SIGMA) ve 0,1g Quartz kumu (MERCK) katıldı. Ezme işlemini takiben toplam ağırlığının 4 katı kadar (W/V) TCA/Aseton (% 10 TCA (Trikloro asetik asit) % 0,07 DTT (ditiyotreyitol) aseton) içeren tüp içerisinde alındı. Daha sonra bu karışım vortekslenerek 15 dakika buz içerisinde sonikasyon işlemeye tabi tutuldu. Sonikasyon sonrasında elde edilen örnek süspansiyonu -20 °C de 16-18 saat süreyle çökmeye bırakıldı. Ertesi gün örnek süspansiyonu santrifüj tüplerine alınarak 16000 xg'de 3 dakika +4°C'de santrifüjlendi (Thermo Fisher Scientific MR 23i). Süpernatant atıldı ve proteini içeren pellet soğuk 0,1M amonyum asetat/metanol çözeltisi ile yıkanarak tekrar aynı koşullarda santrifüj işlemi gerçekleştirildi. Santrifüj işleminden sonra pellet % 0,07 (w/v) DTT içeren soğuk aseton ile yıkanarak aynı koşullarda bir kez daha santrifüjlendi. İşlem sonunda pellet kurumaya bırakıldı. Kurulan pellet tartılarak sıvı

azot ile soğutulmuş steril havanda 0,1 g PVPP (Polivinil Polipirolidon) ve 0,1g Quartz kumu varlığında ince toz haline getirildi. İşlem sonunda protein ihtiva eden toz toplanarak üzerine 0,1gr/0,4-0,8mL olacak şekilde 1:1 SDS/Fenol (SDS tamponu; % 30 sükroz (w/v), % 2 SDS (w/v), 0,1M Tris-Cl pH 8.0 ve 1 mM fenilmetilsülfonilflorür (PMSF), pH 8.0; /fenol) konularak soğukta 5 dakika vortekslandı. Elde edilen süspansiyon santrifüj tüplerine aktarılırak 16000 xg'de 3 dakika +4°C'de santrifüjlendi. Süpernatantın üst kısmında oluşan fenolik faz temiz bir steril tüpte toplandı. Fenol ile yapılan ekstraksiyon işlemi tekrarlandı ve santrifüj işlemini müteakip elde edilen 2. fenol fazı ilki ile birleştirildi. Toplanan fenol fazlarının hacimce 3 katı kadar soğuk 0,1M amonyum asetat/metanol çözeltisi ilave edilip bir gece -20°C'de çökmeye bırakıldı. Ertesi gün -20°C'den çıkartılan örnekler 16000 xg'de 5 dakika +4°C'de santrifüjlendi. Süpernatant atıldı, pellet soğuk mutlak metanol ile yıkanıp tekrar aynı koşullarda santrifüjlendi. Santrifüj sonrasında % 0,07 (w/v) DTT içeren soğuk aseton ile yıkanarak aynı koşullarda bir kez daha santrifüjlendi. Santrifüj sonrasında pellet kurumaya bırakıldı. Kurutulan pellet çözünürleştirme tamponu (7 M üre, 2 M tiyoüre, % 4 (w/v) CHAPS, 12 µL/ mL destreak reaktifi) ile çözünür hale getirildi. Çözünür hale gelen örnek yine 6 defa her seferinde 15 saniye olmak koşulu ile sonike edildi ve 30,000 xg'de 30 dakika +4°C'de santrifüjlendi. Protein içeren süpernatant temiz bir mikrotüpe alınarak hacminin 4 katı kadar soğuk % 100 aseton ile muamele edilerek -20°C'de bir gece çökmeye bırakıldı. Çökmeye bırakılan örnekler takip eden gün 30,000 xg'de +4°C'de 30 dakika santrifüjlendi. Santrifüj sonrasında süpernatant atıldı ve pellet temiz bir tüpe alınarak kurutuldu. Kuruduktan sonra destreak içeren çözünürleştirme tamponu (7 M üre, 2 M tiyoüre, % 4 (w/v) CHAPS, 12 µL destreak/1mLtampon) ile çözünür hale getirildi.

3.3.2. Bradford Protein Tayin Yöntemi

Çözünür hale gelen protein örneklerinin protein içeriği Bradford protein tayin metodu ile 0,1 mg/mL BSA (sığır serum albumin) stok standart olarak kullanılarak konsantrasyonları belirlenen protein örnekleri iki boyutlu poliakrilamid jel elektroforezinde (2D-PAGE) kullanılmak üzere aliquotlanarak -20°C de saklandı.

3.4. 2D-PAGE

İki boyutlu jel elektroforezinde *P. triticina* race-1 uredosporlarına ait yüzey proteinleri birinci boyutta izoelektrik noktalarına göre ayrıldıktan sonra bu proteinler 2. boyutta SDS-PAGE sistemi kullanılarak moleküler ağırlıklarına göre ayrılmışlardır. Yönteme ait detaylı bilgi aşağıdaki gibidir.

3.4.1. Izoelektrik Odaklama (IEF)

-20 °C'de depolanan protein örnekleri 505 µg /450 µL olacak şekilde % 1 (V/V) amfolit pH 3-10 içerecek şekilde hazırlandı. Örnek varlığında 24 cm pH 4-7 IPG stripler 12 saat oda sıcaklığında (20-23°C) rehidrasyona tabii tutuldu. Rehidrasyon işlemini müteakip IPGphor3GE Healthcare izoelektrik odaklama (IEF) sisteminde stripler IEF ünitesinde Tablo 1. de verilen koşullarda izoelektrik odaklamaya tabii tutuldu ve burada proteinlerin yüklerine göre ayrılması gerçekleştirildi.

Tablo 3.1. IEF koşulları

Step	U [V]		Süre	Vh
1	Step	100	00:30	HH:mm
2	Step	250	250	Vh
3	Grad	500	500	Vh
4	Grad	1000	1500	Vh
5	Grad	10000	22000	Vh

6	Step	10000	50000	Vh
7	Step	100	10:00	HH:mm

IEF sonunda cihazdan çıkartılan strip veya stripler 2 aşamada deneleme çözeltisi (6 M üre, % 30 gliserin (w/v), % 2 Sodyum Dodesil Sülfat (w/v), 50 mM Tris-Cl pH 8.8) içerisinde alınarak 2. boyuta hazır hale getirildi.

1. aşamada deneleme çözeltisine % 1 (w/V) olacak şekilde DTT eklendi ve stripler bu çözelti içinde 200 rpm de 20 dakika *Nüve ST 402* çalkalayıcılı inkübatorde inkübe edildi.

1. aşama gerçekleştirilirken deneleme çözeltisine % 2,5 (w/v) iyodo asetamid (IAA) (Sigma) içerecek şekilde hazırlandı. 1. deneleme çözeltisinden çıkarılan stripler 2. deneleme çözeltisine alınarak karanlıkta yukarıda anlatıldığı gibi çalkalayıcılı inkübatorde inkübe edildi.

Bu deneleme işlemlerinin tamamlanması sonucunda strip veya stripler Sodyum Dodesil Sülfat PoliAkrilamit Jel Elektroforezi (SDS-PAGE) işlemi uygulamasına hazır hale getirildi.



Şekil 3.4. Proteinlerin rehydrate edilmesi (örnekli rehidrasyon) protein tayini yapıldıktan sonra strip başına $505\mu\text{g}/450\mu\text{L}$ olacak şekilde hesaplanarak protein örneğinden alınıyor ve üzerine $4,5\mu\text{L}$ pH 3-10 amfolit konularak $450\mu\text{L}$ ye destreak ile tamamlanarak kuyucuklara konularak üzerlerine IPG stripler yerleştirilerek 12 saat rehidrasyon yapılır.

3.4.2. SDS-PAGE

SDS-PAGE işleminde Gradient (%10-20) jeller kullanılarak en iyi sonuç alınmıştır Gradient jel kompozisyonu Tablo 3.2'deki gibidir.

Tablo3.2. Gradient jel kompozisyonu

	Hafif Çözelti (275 mL)	Ağır Çözelti (275 mL)
Akrilamit-Bisakrilamit	92 mL	183 mL
1,5 mM Tris-Cl pH 8,8	69 mL	69 mL
Distile su	110 mL	1,2 mL
% 20 Sodyum Dodesil Sülfat (SDS)	1,38 mL	1,38 mL
Gliserol	YOK	19 mL
% 10 Amonyum Persülfat (APS)	2,75 mL	1,4 mL
TEMED	47 µL	8 µL

Jel kasetleri hazırlama aparatı içerisinde 25x20x0,15cm ebatlarındaki jel kasetleri yerleştirilerek sızıntıyı önleyecek şekilde hazırlandı. Tablo 3.2.'deki gibi hazırlanan hafif ve ağır jel çözeltileri gradient oluşturucunun ilgili silindirlerine yerleştirildi. Hafif çözeltinin bulunduğu silindire bir magnet konarak manyetik karıştırıcı üzerine yerleştirildi bir peristaltik pompa yardımı ile gradyent jel şekil 3.5.'deki gibi döküldü, jel yüzeyleri % 0,1 SDS ile sprey edildi. Polimerleşmenin tamamlanması için 3 saat oda sıcaklığında tutuldu. Polimerleşme tamamlandıktan sonra aparattan çıkartılan 6 adet distile su ile yıkandı jel yüzeyi kurulandıktan sonra

kullanıma hazır hale getirildi. Dengeleme çözeltisinde dengelenen stripler alınarak her bir kasete 1 strip olacak şekilde dikkatlice jel yüzeylerinin herhangi bir yer ile temas etmemesine dikkat edilerek kasetlere yerleştirildi. Stripler yerleştirildikten sonra şırınga yardımı ile Agaroz jel % 1 (w/v) agaroz SDS-PAGE yürütme tamponunda (250 mM Tris, 1,94 M glisin, % 1 SDS) çözülderek hazırlandı. Elektroforez işlemi için *Ettan DALT six* marka elektroforez ünitesi 1X Tris-Glisin-SDS (TGS) (4L) ile dolduruldu ve kasetler elektroforez ünitesine dikkatlice yerleştirildi. Elektroforez ünitesine yerleştirilen jel kasetleri üzerine 1 L 1X TGS konuldu. Elektroforez ünitesinin kapağı kapatıldı. *Elektrophoresis* marka güç kaynağı ve *MultiTemp* marka thermo circulator çalıştırıldı. *MultiTemp* standart olarak 10°C’ de çalıştırıldı. Elektroforez işleminde ilk 1 saat 1,5 W/jel, sonraki aşama da ise yaklaşık 5 saat 20 W/jel olacak şekilde gerçekleştirildi.



Şekil 3.5 Gradyent jelin dökülmesi. Tablo 3.2. de verilen konsantrasyonda hazırlanan gradyent jelin dökülmesi

3.5. JEL GÖRÜNTÜLEME

3.5.1. Kollaidal Coomassie Brilliant Blue ile Boyama

Elektroforez işlemi 6 saat sonra tamamlandığında kasetler elektroforez ünitesinden çıkartıldı ve jeller dikkatlice kasetlerden çıkartıldıktan sonra her bir jel üzerine 400 mL % 12,5 (w/v) Trikloro asetik asit (TCA) boşaltılarak jellerin 45 dakika *NÜVE ST 402* marka karıştırıcıda karışması sağlandı. Karışan her bir jel için 27 mL Comassie Brilliant Blue R250 (CBB) boyama çözeltisi % 1 (w/v) (mutlak etanol içerisinde) eklenerek boyama işlemi gerçekleştirildi.

3.5.2. İmaj Analizi

Bütün biyolojik tekrarlar ve her bir biyolojik tekrara ait analistik tekrar jel görüntüleri dijital ortama aktarıldıktan sonra her biyolojik tekerrür jellerindeki spot sayıları ve 3 biyolojik tekrarın karşılaştırılması ile ortak spot sayıları ve ortak spotlar DYMENTION 2 imaj analizi programı ile belirlendi. Daha sonra bu spotlar *tripsin* enzimi ile kesilmek üzere jel saklama poşetine konulup +4°C'ye kaldırıldı.

3.6. TRİPSİN ENZİMİ İLE HİDROLİZ

- 1) Her bir spot konulduğu 1,5mL'lik ependorf tüplerinde 11 mm boyutlarında küçük parçalara ayrıldı.
 - 2) Tüplere 1:1 oranında 100 μ L Amonyum bikarbonat ve Asetonitril konularak yarım saat vortekslenerek inkübe edildi.

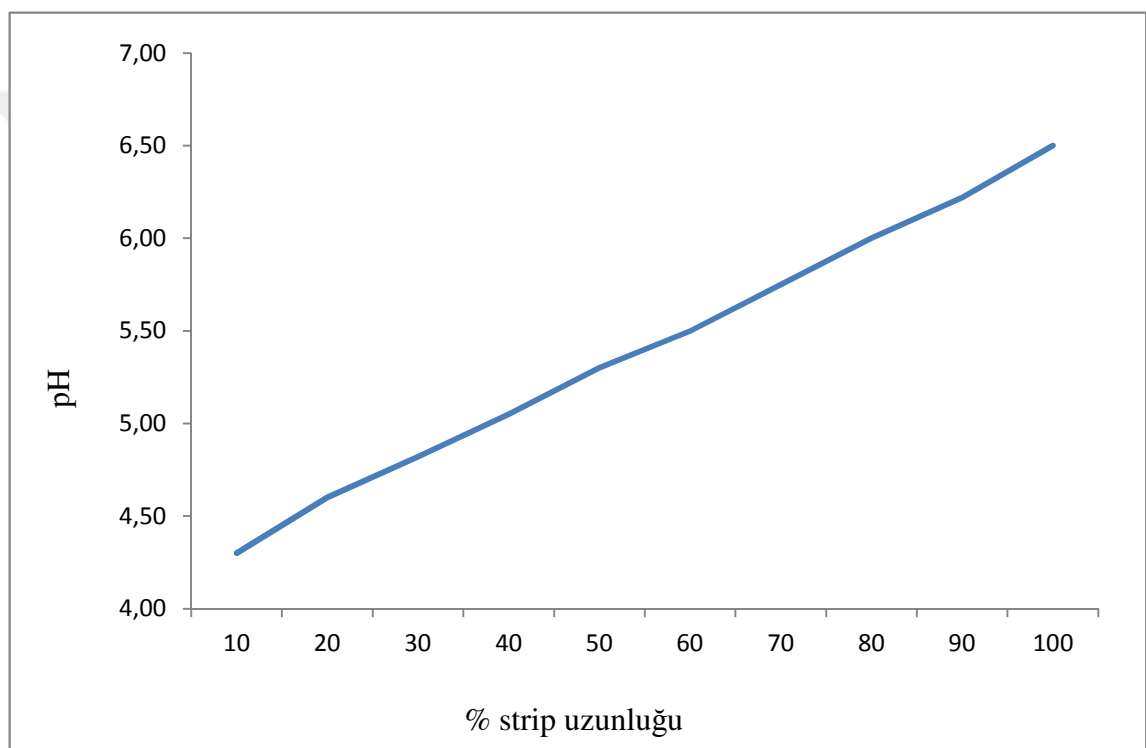
- 3) İnkübasyon sonunda süpernatant atıldı.
- 4) Tüpe 500 μL % 100 Asetonitril eklenderek jel parçacıkları küçüllüp beyazlaşana dek vortekslandı.
- 5) Süpernatant atıldı.
- 6) Jel parçaları kurutuldu.
- 7) 100 mM amonyum bikarbonat içine 25 mM 50 μL DTT eklenderek 30 dakika 56°C'de inkübe edilerek reduksiyon gerçekleştirildi.
- 8) Oda sıcaklığında soğutulan tüplere 500 μL Asetonitril ilave edilerek 10 dakika inkübe edildi ve sonunda sıvı atıldı.
- 9) 55 mM iyodoasetamitten 50 μL eklenderek 20 dakika oda sıcaklığında karanlıkta inkübe edilerek alkilasyon gerçekleştirildi.
- 10) Süpernatant atıldı ve jel parçacıkları distile su ile yıkanarak fazla iyodoasetamid uzaklaştırıldı.
- 11) 50 μL tripsin (100 mM Amonyum bikarbonat içerisinde) eklenderek 24 saat 37 °C'de inkübe edildi.
- 12) Santrifüjenerek elde edilen triptik peptidleri içeren sıvı temiz bir mikro tüpe aktarıldı.
- 13) Jel parçacıklarının bulunduğu tüplere 100 μL 1:1 oranında % 5 formik asit ve asetonitril içeren ekstraksiyon tamponu eklenderek 15 dakika 37°C'de çalkalayıcılı inkübatörede inkübe edildi.
- 14) İnkübasyon sonrası santrifüj yapıldı elde edilen süpernatant triptik peptid karışımı ile birleştirildi.
- 15) Vakum santrifüyle triptik peptidin sahip olduğu solvent uçuruldu.
- 16) 25 μL % 0,1 TFA eklenderek 5 dakika vortekslenmekten sonra sonike edildi ve 15 dakika santrifüjlendi.

17) LC-MS/MS analizleri için yurdisina gönderildi.

3.7. PROTEİN Mw DEĞERLERİİNİN HESAPLANMASI

3.7.1. Izo Elektrik Nokta (pI) Değerlerinin Hesaplanması

Amersham 2D protokol (Abramovitch vd. 2006) internetten bulunarak grafiği çıkarıldı ve denklemi bulundu. Şekil 3.6. da grafik verilmiştir.

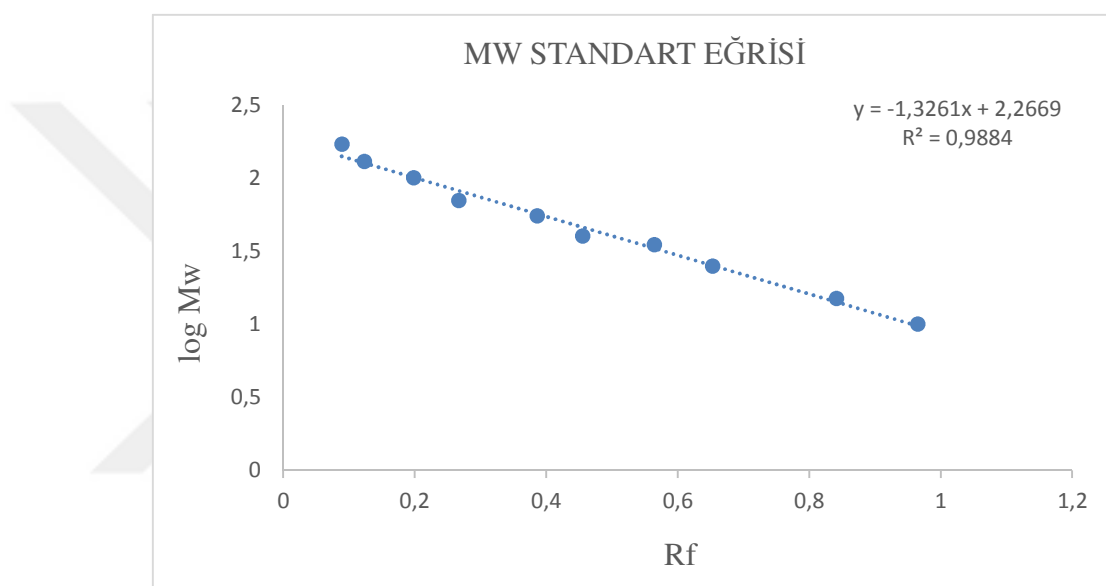


Şekil 3.6. Amersham 2D protocol pI standart eğri grafiği

Bu garfiğe göre; pI değerleri bulunarak ekler 6.2.1. de verildi.

3.7.2. Mw Standart Eğrisi ve Mw Değerleri

MW değerlerini hesaplamak amacıyla dökülen jelde *FERMENTAS* marka prestained protein ladder (6-200 kDa) kullanılarak bu standarttaki her bir proteinin sahip olduğu Rf değerine karşılık log Mw grafiği çizilerek Mw standart eğri denklemi bulundu. Bu denkleme göre her bir proteinin MW değerleri hesaplanarak Ekler 6.2.2. de verildi.



Şekil 3.7. Mw standart eğri grafiği

3.8. BİYOİNFORMATİK ANALİZLER

Tanımlanan proteinlerin hücre altı lokalizasyon tahmini, sinyal peptidi içerip içermedikleri, domain analizleri ve transmembran domainleri içerip içermedikleri sırası ile;

- a. WoLF PSORT (<http://www.genscript.com/wolf-psort.html>) (Horton vd. 2007) programını kullanarak ve organizma türü olarak fungi seçilerek FASTA formatında protein dizisi kullanılarak gerçekleştirildi.

b. Sinyal peptid içerikleri SignalP 4.1 programı (<http://www.cbs.dtu.dk/services/SignalP/>) (Peterson vd. 2011) kullanılarak, ve N terminalde sinyal peptid bölgesi olup olmadığı ise Target P 1.1 (<http://www.cbs.dtu.dk/services/TargetP/>) (Emanuelsson vd. 2000) ile tahmin edildi. Bu programların her ikisi de Hidden Markownikow temelli programlardır. Signal P de “ökaryot” seçeneği seçildi. Target P de ise “nonplant” canlı seçeneği seçilerek protein dizileri FASTA formatında programa aktarılarak tahminler gerçekleştirildi.

c. Domain Analizleri; hipotetik olarak tanımlanan proteinler için SMART (<http://smart.embl-heidelberg.de/>) (Letunic vd. 2014) ve PFAM (<http://pfam.xfam.org/>) (Finn vd. 2016) analizleri ile gerçekleştirildi. PFAM programının ana sayfasında “sequence search” opsyonunda FASTA formatında protein dizisi girildi.

d. Transmembran domain varlığı; Sinyal peptid içeren proteinler için gerçekleştirildi ve proteinin sinyal peptid dizisi çıkarılarak protein dizisi TMHMM 2.0 (<http://www.cbs.dtu.dk/services/TMHMM/>) programına aktarılarak gerçekleştirildi.

4. BULGULAR VE TARTIŞMA

Kahverengi pas hastalığı etmeni Kanada ırkı *P. triticina* race 1 bitkiye enfekte edildikten sonra 8-10 gün içerisinde oluşmakta ve takriben pas püstülleri bitkide oluştuktan 8-10 gün sonra bitki ölmektedir. Bu süre zarfında toplanan pas sporları steril cam tüplerde ağızı kapatılarak +4°C'de nemini uzaklaştırmak amacıyla silika jel içerisinde muhafaza edildi. Laboratuarımızda gerçekleştirilmiş olan kahverengi pas enfeksiyonu sonucu Morocco buğday çesidinin görüntüsü Şekil 4.1.'de verilmiştir.

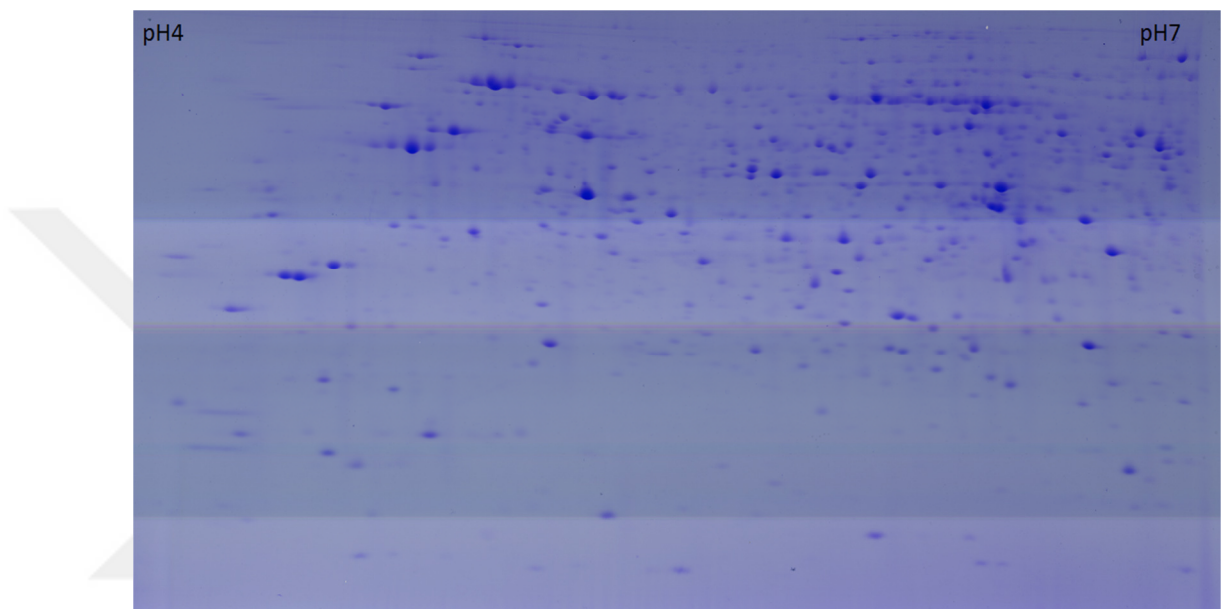


Şekil 4.1. Ahi Evran Üniversitesi Fen-Edebiyat Fak. Kimya Böl. Biyokimya ABD de *P. triticina race 1* ile enfekte Morocco yazlık varyetesi

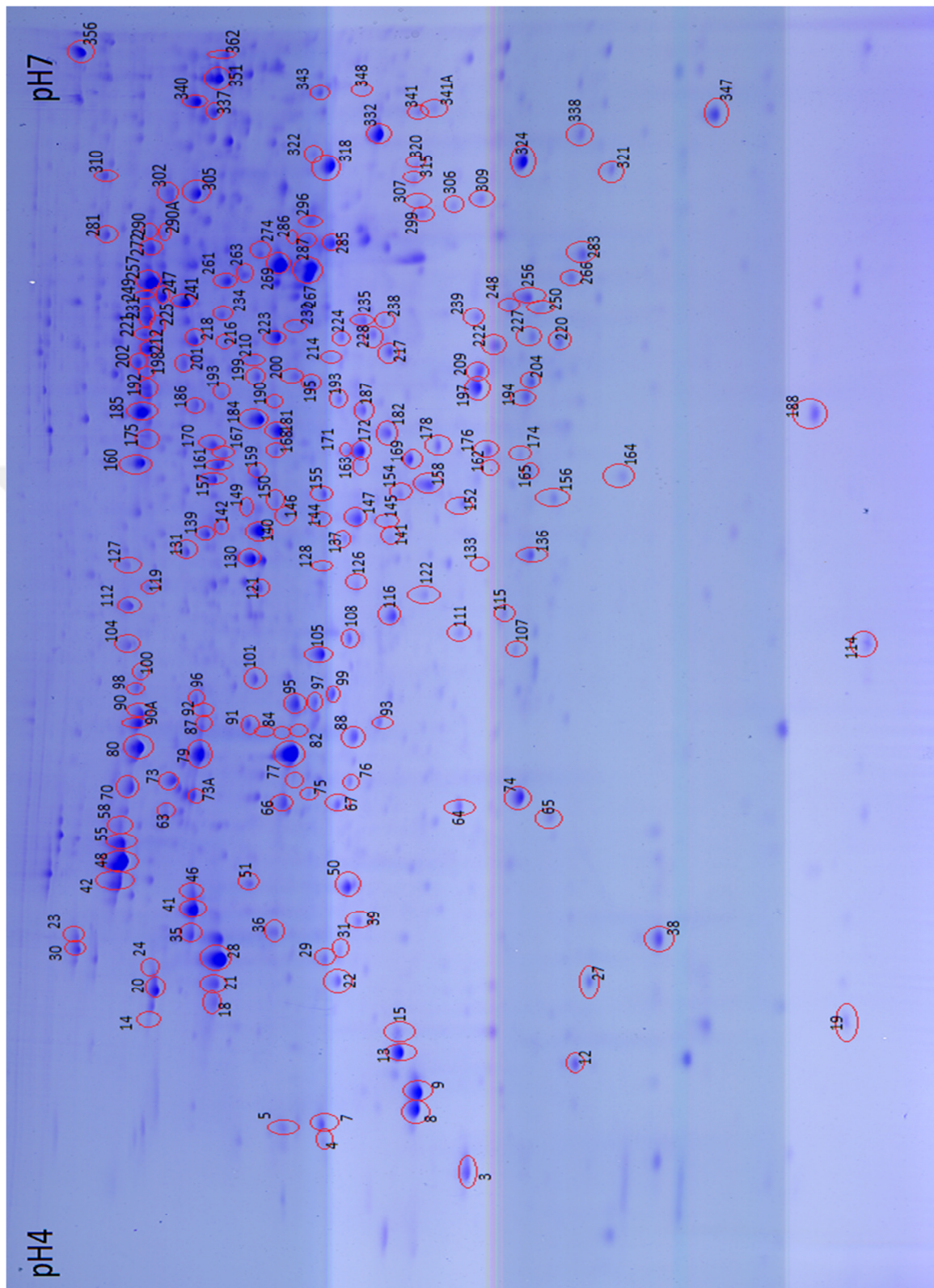
Yaklaşık 2 hafta silika jel içerisinde ve +4 °C'de nemi uzaklaştırılan pas sporları agaroz ortamına ekildi. Aksi takdirde nemli olan ortamda sporların germ tüpleri sayısında azalma görüldü. Mikroskop altında incelendiğinde germ

tüplerinin agaroz ortamında dikey olarak yerleşerek büyüdüğü gözlendi (James W. B. ve ark. 2010) , sonuç Şekil 3.3.'de sunulmuştur

Çimlenmiş kahverengi pas üredosporlarından ekstrakte edilen yüzey proteinleri için gerçekleştirilen 2D-PAGE görüntüsü Şekil 4.2.'de sunulmaktadır.

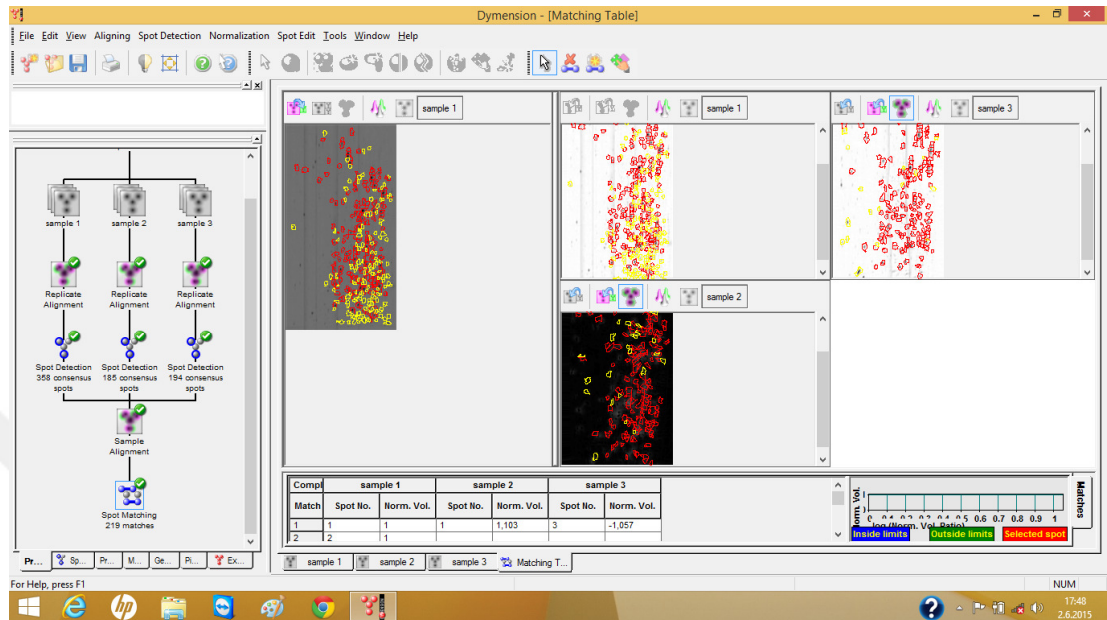


Şekil 4.2. Kahverengi pas üredo sporlarının in vitro çimlendirilmesi sonrası ekstrakte edilen yüzey proteinlerinin 2D-PAGE profili



Şekil 4.3. 3 biyolojik replikadaki toplam 9 jelde ortak bulunan spotların jel üzerindeki lokasyonları ve numaralandırılması

Toplamda 3 biyolojik tekrara ait olan 9 jel görüntüsü için gerçekleştirilmiş imaj analiz işlemi sonucu Şekil 4.3.'de verilmektedir.



Şekil 4.4. Üç Biyolojik Tekrar ve her bir tekrara ait teknik tekrarlarla birlikte jel imaj analizi

Dijitalizasyonu takiben 3 biyolojik tekrarın 2 tanesinde ortak olan spotlar içerisinde yüksek bollukta olanlar PAMP adayı olarak belirlendi.

Belirlenen 201 spotun nano- LC-MS/MS analizi ile protein tanımlanması Broad Institute tarafından yayınlanan *Puccinia* genom veri tabanı kullanılarak gerçekleştirildi. Yapılan analiz sonucunda tanımlanan 201 spota karşılık 168 adet protein tanımlandı. Spot 65 kontaminant olarak gözükmektedir. Tanımlanan 168 proteinden 117 tanesi tek proteindir. Tanımlanan proteinler Tablo 4.1. de sunulmaktadır. 8 tanesinin efektör protein olduğu düşünülmektedir.

Tablo 4.1. *Puccinia triticina* Aday PAMP Proteinleri

Spot No	Aksesyon	Adı	Teorik pI/MW
3	PTTG_03499	Hypothetical protein	4.45/24.82
7	PTTG_01669	Hypothetical protein	4.71/26.90
	PSTG_17414	Hypothetical protein	6.33/47.27
12	PTTG_09356	Translationally-controlled tumor protein	4.71/18.50
14	PTTG_06852	Hypothetical protein	4.90/46.71
15	PTTG_02090	Hypothetical protein	4.61/34.02
	PSTG_17414	Hypothetical protein	6.33/47.27
18	PTTG_01840 T0	ATP synthase subunit beta, mitochondrial	5.63/58.44
19	PTTG_05456	Hypothetical protein	5.17/13.16
20	PTTG_01827	Hypothetical protein	4.86/58.40
21	PTTG_01840	ATP synthase subunit beta, mitochondrial	5.63/58.44
22	PTTG_07476	Pyruvate dh e1 component	5.55/43.09

	PTTG_02217	Hypothetical protein	4.97/35.48
23	PTTG_06867	Heat shock 90-1	4.89/80.59
24	PTTG_01827	Hypothetical protein	4.86/58.40
27	PTTG_27503	Hypothetical protein	4.99/18.87
30	PTTG_06867	HSP 90-1	4.89/80.59
31	PTTG_02217	Hypothetical protein	4.97/35.48
	PTTG_07476	Pyruvate dh e1 component	5.55/43.09
35	PGTG_1220 4	Tubilin beta chain	4.82/50.15
38	PTTG_04893	Eukaryotic translation initiation factor 5a(elongation factor p)	5.14/17.31
39	PTTG_09144	Hypothetical protein)	5.41/57.84
41	PGTG_1220 4	Tubilin β chain	4.82/50.15
42	PTTG_03478	HSP-70	5.09/70.90
46	PGTG_1220 4	Tubilin β chain	4.82/50.15

	PTTG_05513	26S protease regulatory subunit 6a	5.09/51.99
48	PTTG_07281	Glucose regulated protein	5.16/72.28
50	PTTG_07437	Hypothetical Protein	5.55/78.72
51	PTTG_01758	Hypothetical Protein	5.06/31.69
	PTTG_03478	HSP-70	5.09/70.90
53	PTTG_07281	Glucose regulated protein	5.16/72.28
	PTTG_06867	HSP 90-1	4.89/80.59
55	PTTG_07281	Glucose regulated protein	5.16/72.28
58	PTTG_07281	Glucose regulated protein	5.16/72.28
	PTTG_26408	V-type ATPase, a subunit	5.91/76.81
63	PTTG_03478	HSP70	5.09/70.90
64	PTTG_03718	Hypothetical Protein	5.10/28.50
	PTTG_01641	Hypothetical prot.	5.14/31.97
65	contaminant		
66	PSTG_03501	Hypothetical Protein	5.31/41.78

67	PSTG_03501	Hypothetical Protein	5.31/41.78
70	PTTG_26408	V-type ATPase, a subunit	5.91/76.81
73	PTTG_05827	HSP60	5.64/61.84
73A	PTTG_01106	Tubiline α 1 chain	5.09/49.06
74	PTTG_03524	Hypothetical Protein	6.10/28.28
75	PTTG_06777	Thioredoxin reductase (nadph)	5.58/41.87
76	PTTG_09204	Hypothetical Protein	5.06/48.96
78	PTTG_09204	Hypothetical protein	5.06/48.96
79	PTTG_01106	Tubiline α 1 chain	5.09/49.06
	PTTG_03808	Protein phosphatase 2c	5.17/54.31
80	PTTG_01696	HSP SSB	5.34/68.34
82	PSTG_03501	Actin	5.31/41.78
	PTTG_01696	HSP SSB	5.34/68.34
84	PSTG_03501	Actin	5.31/41.78
87	PSTG_03501	Actin	5.31/41.79

88	PTTG_12630	Arginase	5.25/34.78
90	PSTG_12276	Hypothetical protein	5.17/54.31
91	PTTG_00226	26S protease regulatory subunit 6b	5.33/46.73
92	PTTG_09144	Hypothetical protein	5.41/57.84
93	PTTG_06345	Hypothetical protein	5.29/43.80
95	PTTG_09276	Hypothetical protein	5.77/80.76
96	PTTG_09144	Hypothetical protein	5.41/57.84
97	PTTG_08592	3-isopropyl malate dehydrogenase	5.39/39.88
	PGTG_1396 6	Hypothetical protein	6.97/48.13
98	PTTG_26408	V-type ATPase, a subunit	5.91/76.81
99	PSTG_14021	V-type proton ATPase catalytic subunit a isoform 2	5.44/68.91
100	PGTG_0593 5 (104 İLE AYNI)	HSP-SSB	5.34/68.95
101	PTTG_02219	Phosphomannose	5.44/48.00

104	PTTG_01076	Hsp-70 like protein	5.88/73.63
105	PSTG_04289	Hypothetical protein	6.62/49.00
	PTTG_09276	Hypothetical protein	5.77/80.76
108	PTTG_03022	Hypothetical protein	5.00/29.33
111	PTTG_09887	Hypothetical protein	5.64/29.99
	PSTG_02641	CMGC/CDK/CDC2 protein kinase	6.26/33.15
	PTTG_01991	Hypothetical protein	5.40/32.48
112	PTTG_01076	HSP-70	5.88/73.63
114	PTTG_09971	Hypothetical protein	5.86/14.07
115	PGTG_0025 2	Hypothetical protein	5.49/12.32
116	PTTG_03284	LSU ribosomal prot	5.25/33.28
	PSTG_01609	serine/threonine-protein phosphatase ppe1	5.43/34.92
119	PTTG_09796	Hypothetical protein	5.47/65.89

121	PTTG_04091	secretory pathway GDP dissociation inhibitor1	5.64/49.56
122	PTTG_09784	Hypothetical protein	5.95/69.87
	PTTG_03046	PEP carboxy kinase	6.34/64.32
	PTTG_06246	Hypothetical protein	5.87/30.68
126	PTTG_01458	PEP carboxy kinase	6.23/64.25
127	PTTG_01076	HSP-70 like prot	5.88/73.63
	PTTG_09276	Hypothetical protein	5.77/80.76
128	PTTG_09870	Hypothetical protein	5.72/41.37
130	PTTG_01076	HSP-70 like prot	5.88/73.63
131			
133	PTTG_02001	Hypothetical protein	8.30/59.21
	PTTG_07863	Hypothetical protein	8.30/20.75

136	PTTG_07672	Proteasome subunit alpha type-2	5.71/26.89
137	PTTG_07672	proteasome subunit alpha type-2	5.71/26.89
139	PTTG_08656	Hypothetical protein	5.63/41.41
	PTTG_08249	Hypothetical protein	5.62/56.64
140	PTTG_08249	Hypothetical protein	5.62/56.64
141	PTTG_07672	proteasome subunit alpha type-2	5.71/26.89
	PTTG_08249	Hypothetical protein	5.62/56.64
142	PTTG_07672	Proteasome subunit alpha type-2	5.71/26.89
144	PTTG_07672	Proteasome subunit alpha type-2	5.71/26.89
146	PTTG_00430	ENOLASE	5.97/47.38
147	PTTG_07672	PROTEASOME SUBUNIT ALPHA TYPE-2	5.71/26.89
149	PTTG_06888	(Haloacid dehalogenase-like hydrolase DOM.)	5.58/38.67
	PTTG_02620	Mitochondrial-processing peptidase subunit beta	6.03/52.87

150	PTTG_01903	Hypothetical protein	6.17/46.40
154	PTTG_01903	Hypothetical protein	6.17/46.40
158	PTTG_07672	Proteasome subunit alpha type-2	26.89/5.71
160	PTTG_09276	Hypothetical protein	5.77/80.76
161	PTTG_06273	Hypothetical protein	5.82/49.91
163	PTTG_07362	V-type proton ATPase subunit b	5.66/57.11
165	PTTG_01903	Hypothetical protein	6.17/46.40
167	PTTG_09553	Hypothetical protein	5.67/5137
	PTTG_28577	Hypothetical protein	6.34/56.48
	PTTG_09276	Hypothetical protein	5.77/80.76
169	PTTG_03429	Hypothetical protein	6.39/37.37
170	PTTG_00372	Glutathione synthetase	5.77/58.90
171	PTTG_09731	Hypothetical protein	8.79/57.52
172	PTTG_05189	Fructose biphosphate aldolase class ii	6.83/46.24
174	PTTG_09731	Hypothetical protein	8.79/57.52

175	PTTG_09276	Hypothetical protein	5.77/80.76
176	PTTG_07572	Phospho mannomutase	5.84/29.12
178	PTTG_01458	PEP carboxy kinase	6.23/64.25
181	PTTG_03422	6-PHospho gluconate dehydrogenase	6.77/68.75
182	PTTG_04265	Hypothetical protein	7.78/36.47
184	PTTG_03422	6-phospho gluconate dehydrogenase	6.77/68.75
185	PTTG_09276	Hypothetical protein	5.77/80.76
186	PTTG_04566	Hypothetical protein	5.71/56.71
187	PTTG_08360	Pyruvate kinase	6.43/57.63
188	PTTG_01714	Fk506 binding prot	6.57/12.88
190	PTTG_09784	Hypothetical protein)	5.95/69.87
191	PTTG_00430	Enolase	5.98/47.25
192	PTTG_09276	Hypothetical protein	5.77/80.76

	PSTG_11939	Hypothetical protein	6.77/267.70
193	PGTG_2156 0	Hypothetical protein	8.69/78.72
194	PTTG_03025	Hypothetical protein	5.86/21.37
	PTTG_07306	2,3-bisphosphoglycerate-dependent phosphoglycerate mutase	5.88/23.82
195	PTTG_08248	Hypothetical protein	7.5945.24
197	PTTG_09038	Hypothetical protein	6.00/28.96
198	PTTG_09038	Hypothetical protein	6.00/28.96
199	PTTG_09038	Hypothetical protein	6.00/28.96
200	PTTG_03445	Hypothetical protein	6.20/22.59
201	PTTG_01903	Hypothetical protein	6.17/46.40
	PSTG_11939	Hypothetical protein	6.77/267.79
202	PTTG_09276	Hypothetical protein	5.77/80.76
204	PTTG_07306	2,3-bisphosphoglycerate-dependent phosphoglycerate mutase	5.88/23.82

209	PTTG_27324	Hypothetical protein	5.90/29.41
210	PTTG_01903	Hypothetical protein	6.17/46.40
212	PTTG_09276	Hypothetical protein	5.77/80.76
	PTTG_09784	Hypothetical protein	5.95/69.87
216	PTTG_29605	Hypothetical protein	7.23/58.85
218	PTTG_08360	Pyruvate kinase	6.43/57.63
220	PTTG_03445	Hypothetical protein	6.20/22.59
	PSTG_01145		5.70/37.88
221	PTTF_09276	Hypothetical protein	5.77/80.76
	PSTG_08642		6.10/125.69
222	PTTG_08360	Pyruvate kinase	6.43/57.63
223	PTTG_08360	Pyruvate kinase	6.43/57.63
225	PTTG_05785	Succinate dehydrogenase [ubiquinone] flavoprotein subunit, mitochondrial	6.67/70.79

227	PTTG_01458	PEP carboxykinase	6.23/64.25
231	PTTG_05785	Succinate dehydrogenase [ubiquinone] flavoprotein subunit, mitochondrial	6.67/70.79
234	PTTG_01458	PEP carboxykinase	6.23/64.25
257	PTTG_09784	Hypothetical protein	5.95/69.87
261	PTTG_00016	Hypothetical protein	6.25/58.93
	PTTG_12239	Hypothetical protein	7.10/97.98
263	PTTG_12239	Hypothetical protein	7.10/97.98
267	PTTG_05453	Glutamine synthetase	6.15/39. 60
	PTTG_08909	CaMK protein kinase	6.03/40.32
269	PTTG_00430	Enolase	5.97/47.38
272	PTTG_09784	Hypothetical protein	5.95/69.87
274	PTTG_01684	Hypothetical protein	8.53/50.22
281	PTTG_03798	NADH dehydrogenase g-subunit	6.62/81.62
285	PTTG_06073	Hypothetical protein	8.05/47.74

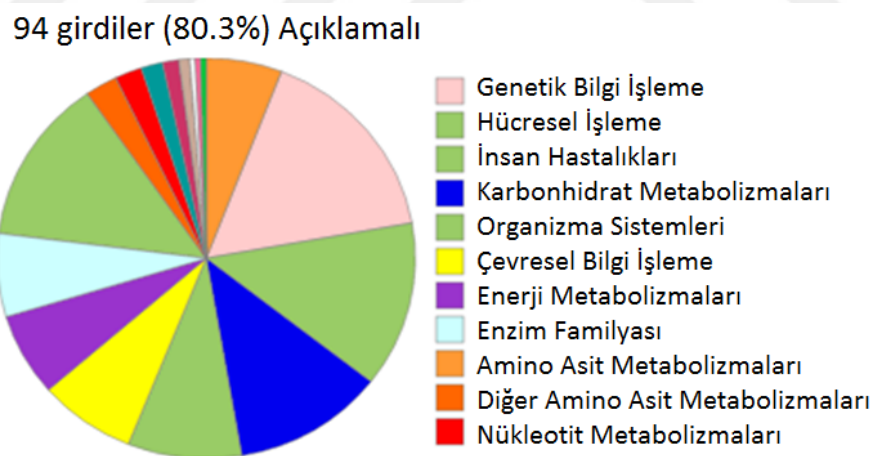
286	PTTG_03821	Adenosyl homocystainase	5.97/47.06
	PTTG_04794	Elongation factor EF-Tu	8.53/52.40
287	PTTG_06073	Hypothetical protein	8.05/47.74
	PTTG_06742	Hypothetical protein	5.83/102.56
290	PTTG_05785	Succinate dehydrogenase	6.67/70.79
290A			
294	PTTG_01458	PEP carboxy kinase	6.23/64.25
296	PTTG_01458	PEP carboxy kinase	6.23/64.25
299	PTTG_04303	Peptidyl-prolyl cis-trans isomerase	6.54/26.53
305	PTTG_09276	Hypothetical protein)	5.77/80.76
306	PTTG_02168	Phosphogluco mutase	6.25/60.70
307	PTTG_02168	Phosphogluco mutase	6.25/60.70
309	PTTG_01152	Hypothetical protein	6.44/57.04
310	PTTG_29181	Hypothetical protein	6.23/83.85

315	PTTG_02169	Hypothetical protein	6.30/32.84
318	PTTG_09428	Hypothetical protein	6.21/38.48
320	PTTG_00389	Guanine nucleotide-binding protein subunit beta-like protein	6.31/34.73
321	PTTG_05810	20S proteasome subunit beta	5.94/23.71
322	PTTG_01421	Hypothetical protein	6.39/44.49
332	PTTG_29878	Transaldolase	6.30/38.78
337	PTTG_01152	Hypothetical protein	6.44/57.04
338	PTTG_06268	Hypothetical protein	6.22/23.14
340	PTTG_06466	Isocitrate lyase	6.94/63.84
341	PTTG_06754	Catalase	6.26/59.54
347	PTTG_06754	Catalase	6.26/59.54
348	PGTG_1220 4	Tubulin β chain	4.83/50.14
351	PTTG_17649	UTP-glucose-1-phosphate uridylyl transferase	6.37/53.87
356	PGTG_1764	UTP-glucose-1-phosphate uridylyl	6.25/53.87

	9	transferase	
--	---	-------------	--

Puccinia triticina race 1'in *in vitro* germinasyonu sonucu germ tüplerinden elde edilen yüzey proteinlerinin Sinyal peptid içerip içermedikleri, sinyal peptid içerenlerin hedef organellerinin neresi olduğu yani N-terminal sinyal peptid içerip içermedikleri, transmembran domain içerikleri, görev aldıkları biyolojik prosesleri ve hücre altı lokalizasyonları Bölüm 3.8 de verilen biyoinformatik analizler ile gerçekleştirildi. Yapılan analizler sonucunda tanımlanan proteinlerin hücre altı lokalizasyonu Şekil 4.4 te verildiği şekilde dağılım göstermektedir.

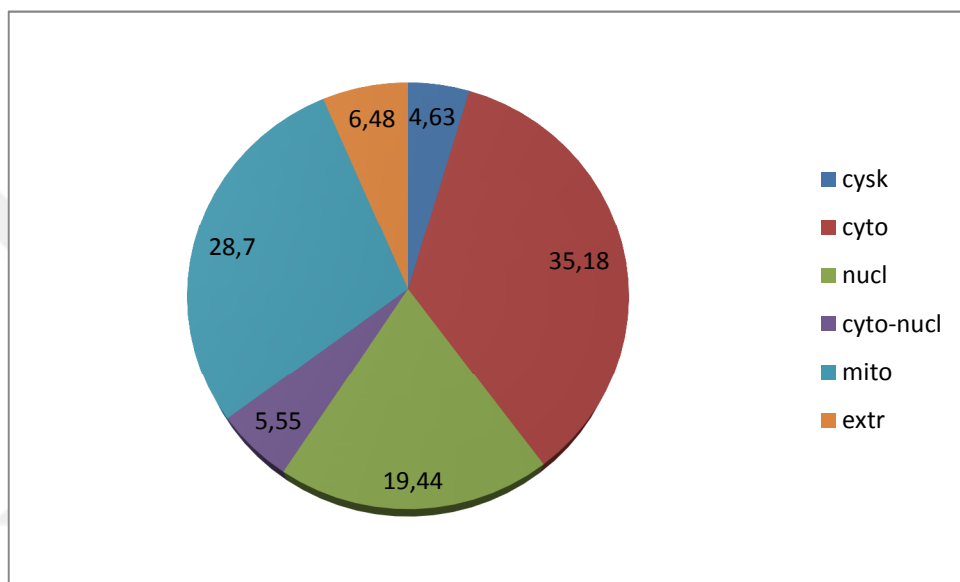
117 proteinin BlastKOALA analizi ile gerçekleştirilen analiz sonucunda 94 protein için sonuç alınabilmisti̇r ve proteinlerin yer aldıkları biyolojik prosesleri gösterir pasta grafi̇gi̇ Şekil 4.5 de verilmektedir.



Şekil 4.5. *In vitro* çimlendirilmiş Kahverengi pas üredo spor yüzey proteinlerinin yer aldığı biyolojik prosesler (KEGG Fungal Database, BlastKoala option, Kanahisa vd.

2016)

117 proteinden WoLF PSORT analizi ile 108 tanesinin hücre içi lokalizasyonu tahmin edildi çünkü bu program protein dizisinin M (metiyonin) amino asidi ile başlamasını temel almaktadır ve proteinlerin lokalizasyon pasta grafiği şekil 4.5 da verilmiştir.



Şekil 4.6. Aday PAMP proteinlerinin hücre altı lokalizasyon pasta grafiği

Ayrıca tanımlanan proteinlerin çok büyük bir kısmı (yaklaşık %60) hipotetik protein olarak tanımlanmıştır. Bu proteinlerin fonksiyonlarının tahmin edilebilmesi için sahip oldukları domain analizleri SMART ve PFAM WEB tabanlı biyoinformatik analizleri ile gerçekleştirildi. Analiz sonuçları Tablo 4.2 de sunulmaktadır.

Tablo 4.2 *Puccinia triticina* germ tüpleri yüzey proteinleri için Domain analiz sonuçları

Spot No	Aksesyon No	Domain
3	PTTG_03499	EF1-BETA
7	PTTG_01669	RAN-BP1
	PSTG_17414	AMİNOTRANSFERASE 1 AND 2
14	PTTG_06852	EUKARYOTIC ASPARTYL PROTEASE
15	PTTG_02090	NUCLEOSOME ASSEMBLY PROTEIN
	PSTG_17414	AMINOTRANSFERASE 1 &2
19	PTTG_05456	PROFILIN
20	PTTG_01827	THİOREDOXIN
22	PTTG_02217	SGTA DIMER DOM AND TETRATRICOPEPTIDE DOM
24	PTTG_01827	THİOREDOXIN
27	PTTG_27503	TROPOMYOSIN LIKE
31	PTTG_02217	SGTA DIMER DOM AND TETRATRICOPEPTIDE DOM

39	PTTG_09144	PGM-PMM DOM
46	PTTG_05513	ATPase family associated with various cellular ACTIVITY
50	PTTG_07437	PEPTIDASE S9
51	PTTG_01758	RIBOSOMAL PROTEIN S2
64	PTTG_03718	CALPONIN HOMOLOGY DOM
	PTTG_01641	RNASE_PH
65	contaminant	
66	PSTG_03501	ACTIN
67	PSTG_03501	ACTIN
74	PTTG_03524	RHO protein GDP dissociation inhibitor
76	PTTG_09204	Inositol monophosphatase family
78	PTTG_09204	Inositol monophosphatase family
90	PSTG_12276	BİLİNEN BİR MOTİF VEYA DOMAIN BULUNMAMAKTA
92	PTTG_09144	PGM-PMM
93	PTTG_06345	RAD51
95	PTTG_09276	Putative stress-responsive nuclear envelope protein

96	PTTG_09144	PGM-PMM
97	PGTG_13966	ACYL CoA DH
105	PSTG_04289	ACYL COA DH
	PTTG_09276	Putative stress-responsive nuclear envelope protein
108	PTTG_03022	tRNA ANTİCODON AND RPA-C
111	PTTG_09887	KR DOM ALKOL DEHİDROGENAZ KISA ZİNCİR DOM
	PTTG_01991	ENOYL REDUCTASE
114	PTTG_09971	DUF3759
115	PGTG_00252	DUF 3759
119	PTTG_09796	DAK 1 AND 2 DOM
122	PTTG_09784	transketolase
	PTTG_06246	Adh short
127	PTTG_09276	Putative stress-responsive nuclear envelope protein
128	PTTG_09870	NAD BINDING 3 AND HOMOSERINE DH

	PTTG_02001	DHH AND DHHA2
133		PUTATIVE PHOSPHATASE
	PTTG_07863	
139	PTTG_08656	ELF 2B-5/IF2B-IF5
	PTTG_08249	ALDEHYDE DH FAMILY
140	PTTG_08249	ALDEHYDE DH FAMILY
141	PTTG_08249	ALDEHYDE DH FAMILY
149	PTTG_06888	haloacid dehalogenase-like hydrolase
150	PTTG_01903	PEPTIDASE M16
154	PTTG_01903	PEPTIDASE M16
160	PTTG_09276	Putative stress-responsive nuclear envelope protein
161	PTTG_06273	RNA RECOGNITION MOTIFS REPEATS
165	PTTG_01903	PEPTIDASE M16
167	PTTG_09553	TIP49 C TERMINUS
	PTTG_28577	AMINO TRANSFERASE 1 VE 2

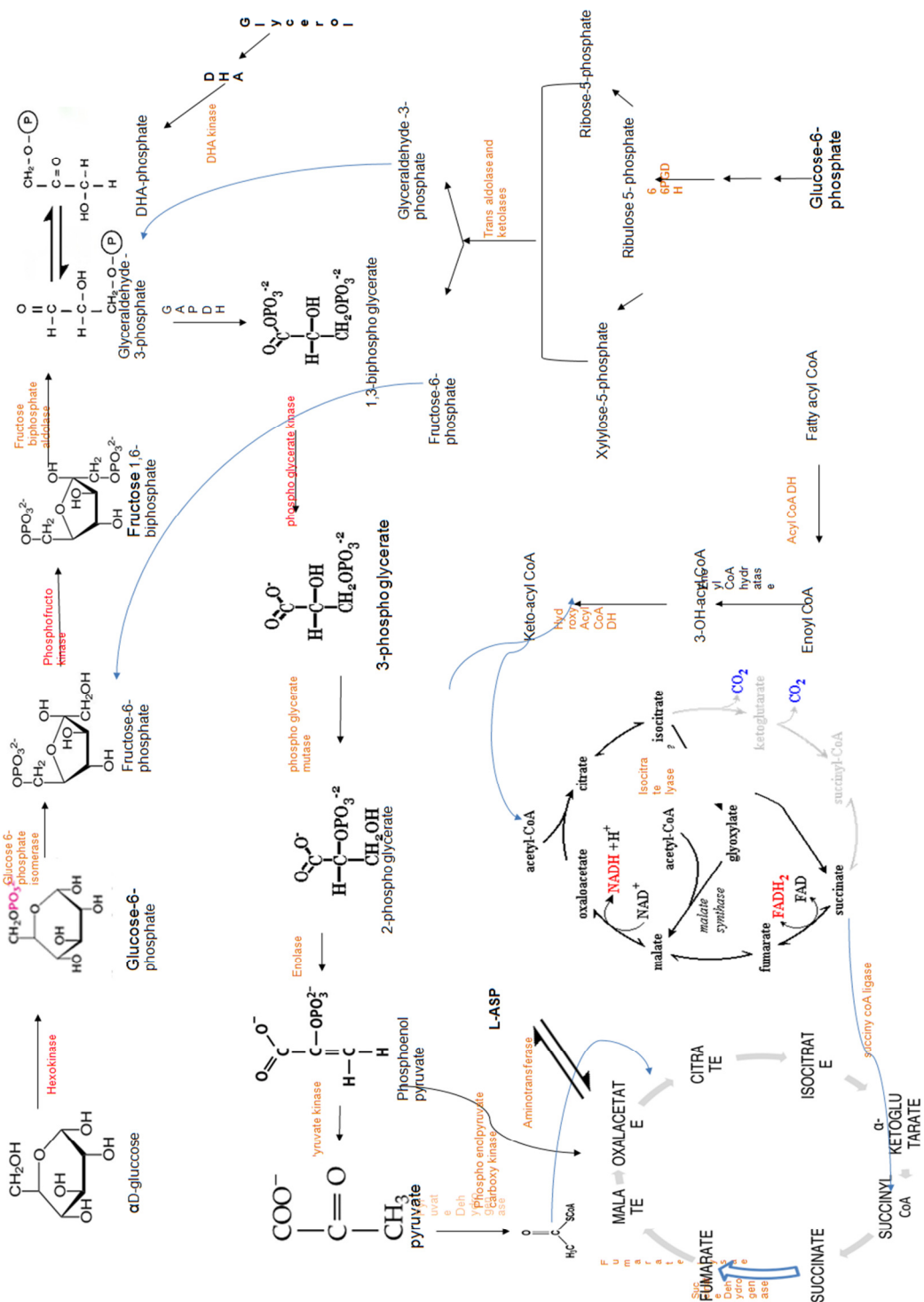
	PTTG_09276	Putative stress-responsive nuclear envelope protein
169	PTTG_03429	INORGANIC PYROPHOSPHATASE
171	PTTG_09731	BIOTIN REQUIRING ENZYME AND 2-OXO ACID DH
174	PTTG_09731	BIOTIN REQUIRING ENZYME AND 2-OXO ACID DH
175	PTTG_09276	Putative stress-responsive nuclear envelope protein
182	PTTG_04265	ELECTRON TRANSFER FLAVOPROTEIN
185	PTTG_09276	Putative stress-responsive nuclear envelope protein
186	PTTG_04566	UDPGP
190	PTTG_09784	Transketolase
192	PTTG_09276	Putative stress-responsive nuclear envelope protein
193	PSTG_11939	RAS-GEF DOM.
	PGTG_21560	DUF
194	PTTG_03025	PRIDOXAMINE 5' PHOSPHATE OXIDASE LIKE
195	PTTG_08248	ATP-GRASP AND COA LIGASE DOM
197	PTTG_09038	SHORT CHAIN DH

198	PTTG_09038	SHORT CHAIN DH
199	PTTG_09038	SHORT CHAIN DH
200	PTTG_03445	GLYCOLIPID TRANSFER PROTEIN
201	PTTG_01903	PEPTIDASE M16
	PSTG_11939	RAS-GEF DOM
202	PTTG_09276	Putative stress-responsive nuclear envelope protein
209	PTTG_27324	DUF4336
210	PTTG_01903	PEPTIDASE M16
212	PTTG_09276	Putative stress-responsive nuclear envelope protein
	PTTG_09784	TRANSKETOLASE
216	PTTG_29605	ENOYL COA HYDRATASE,ISOMERASE
220	PTTG_03445 PSTG_1145	GLYCOLIPID TRANSFER OROT
221	PTTF_09276	Putative stress-responsive nuclear envelope protein
	PSTG_08642	MULE TRANSPOSASAS

231	PTTG_05785	FAD BINDING 2 AND FUMARATE REDUCTASE FLAVO PROTEIN
257	PTTG_09784	Transketolase
261	PTTG_00016	PEPTIDASE INHIBITOR 19 AND PEPTIDASE S8 (SUBTILASE FAMILY)
	PTTG_12239	Proteasome, COP9, Initiation factor 3
263	PTTG_12239	Proteasome, COP9, Initiation factor 3
272	PTTG_09784	Transketolase
274	PTTG_01684	E1 DEHYDROGENASE
285	PTTG_06073	NUCLEOTIDYL TRANSFERASE, BACTERIAL TRANSFERASE HEXAPEPTIDE
287	PTTG_06073	NUCLEOTIDYL TRANSFERASE, BACTERIAL TRANSFERASE HEXAPEPTIDE
	PTTG_06742	DPPIV (DIPEPTIDYL PEPTIDASE IV)
305	PTTG_09276	Putative stress-responsive nuclear envelope protein
309	PTTG_01152	AMINO OXIDASE/NAD BINDING 8
310	PTTG_29181	SPERMINE SPERMIDINE SYNTHASE, SACCHAROPINE DH

315	PTTG_02169	SERINE AMINO PEPTIDASE S33
318	PTTG_09428	ALCOHOL DEHYDROGENASE GROES LIKE DOM, ZINC BINDING DEHYDROGENASE
337	PTTG_01152	AMINO OXIDASE/NAD BINDING 8
338	PTTG_06268	GLUTATHIONE S-TRANSFERASE

Ayrıca tanımlanan proteinler ışığında *P. triticina race-I* in aktif olan temel metabolik yolları Şekil 4.7 da verilmektedir.



Şekil 4.7. *P. triticina* race-1'in germ tüpleri yüzey proteinlerinde aktif olan temel metabolik yollar

KAYNAKLAR

- Abramovitch, R.B., Anderson, J.C., Martin, G.B. 2006. "Bacterial elicitation and evasion of plant innate immunity." *Nat Rev Mol Cell Biol.* 7:601-602
- Aksoy HM. ve Öz, A., 2012. "Bakteriyel Patojenlere Karşı bitkilerdeki dayanıklılık mekanizmaları". *Anadolu Tar. Bil. Der.* 27: 165-173
- Arenas YC, Kalkman ERIC, Schouten A, Dieho M, Vredenburg P, Uwumukiza B, Ruiz MO, van Kan JAL, 2010. Functional analysis and mode of action of phytotoxic Nep1-like proteins of *Botrytis cinerea*. *Physiol Mol Plant Pathol* 74:376–386
- Ausubel, F.M., 2005. "Are innate immune signaling pathways in plants and animals conserved?" *Nature Immunol.* 6, 973–979
- Avni A., Bailey B.A., Mattoo A.K., Anderson J.D., 1994. Induction of ethylene biosynthesis in *Nicotiana tabacum* by a *Trichoderma viride* xylanase is correlated to the accumulation of 1-aminocyclopropane-1-carboxylic acid (ACC) synthase and ACC oxidase transcripts. *Plant Physiol* 106:1049–1055
- Bailey B.A, Dean J.F.D., Anderson J.D., 1990. An ethylene biosynthesis-inducing endoxylanase elicits electrolyte leakage and necrosis in *Nicotiana tabacum* cv Xanthi leaves. *Plant Physiol* 94:1849–1854
- Bae H, Kim MS, Sicher RC, Bae H-J, Bailey BA. 2006. Necrosis- and ethylene-inducing peptide from *Fusarium oxysporum* induces a complex cascade of transcripts associated with signal transduction and cell death in *Arabidopsis*. *Plant Physiol* 141:1056–1067
- Bent AF. ve ark., 1994. "RPS2 of Arabidopsis :a leucinerich repeat class of plant disease resistance genes." *Science* 265:1856-1860
- Bent AF, Mackey D, 2007. "Elicitors, effectors, and R genes: The new paradigm and a life time supply of questions." *Annu. Rev. Phytopthol.* 45: 399-436

Boller T, Felix G, 2009. ‘A renaissance of elicitors: perception of microbe-associated molecular patterns and danger signals by pattern-recognition receptors.’’ Annu Rev Plant Biol 60:379–406

Caplan Jeffrey, Meenu Padmanabhan, Savithramma P. Dinesh-Kumar, 2008. “Plant NB-LRR Immune Receptors: From Recognition to Transcriptional Reprogramming.” Cell Host and Microbe vol:3,3:126-135

Dang JL, Jones JD, 2001. “Plant pathogens and integrated defence responses to infection.” Nature 411:826-833

De Wit, P.J.G.M. ve Joosten, M. H. A. J., 1999. “Avirulence and resistance genes in the *Cladosporium fulvum*-tomato interaction.” Curr. Opin. Microbiol. 2,368

Eckardt NA., 2008. “Chitin signaling in plants: insights into the perception of fungal pathogens and rhizobacterial strains.” Plant Cell 20:241–243

Fellbrich G., Romanski A., Varet A., Blume B., Brunner F., Stefan Engelhardt S., Felix G., Kemmerling B., Krzymowska M., Nürnberg T., 2002. NPP1, a *Phytophthora*-associated trigger of plant defence in parsley and *Arabidopsis*. Plant J 32:375–390

Finn RD, Coggill P, Eberhardt RY, Eddy S.R., Mistry J., Mitchell A.L., Potter S.C., Punta M., Qureshi M., Sangrador-Vegas A., Salazar G.A., Tate J., Bateman A., 2016. “The Pfam protein families database: towards a more sustainable future.”

Floor H H., 1955. “Host-parasite interaction in flaxrust: its genetics and other implications.” Phyto-pathology 45, 680-685

Floor H H., 1971. “Currentstatus of gene-for-gene concept.” Annual Reviews of Phytopatology 9:275-296

Gururani, M.A., Venkatesh, J., Upadhyaya, C., Nookaraju, A., Pandey, S.K., Park, S.W., 2012. “Plant disease resistance genes: Current status and future directions.” Physiological and Molecular Plant Pathology 78, 51-65

- Gust AA., Biswas R., Lenz HD., Rauhut T., Ranf S., Kemmerling B., Götz F., Glawischnig E., Lee J., Felix G., Nurnberger T., 2007. “Bacteria-derived peptidoglycans constitute pathogenassociated molecular patterns triggering innate immunity in *Arabidopsis*.” *J Biol Chem* 282:32338–32348
- Harholt J., Suttangkakul A., Scheller HV., 2010. “Biosynthesis of pectins.” *Plant Physiol* 153: 384–395
- He, P., Shan, L., Lin, N.C., Martin, G.B., Kemmerling, B., Nurnberger, T., SheenJ., 2006. “Specific bacterial suppressors of MAMP signaling upstream of MAPKKK *Arabidopsis* innate immunity.” *Cell* 12:563-575
- Horton P., Park KJ, Obayashi T., Fujita N., Harada H., Adams-Collier CJ., Nakai K., 2007. Jul;35 (Web Server issue): W585-7. Epub
- James W. B. ve ark., 2010. “Effect of ligh texposure on in vitro germination and germ tube growth of eight species of rust fungi.” *Mycologia* 102(5): 1134-1140
- Jennings J.C., Apel-Birkhold P.C., Mock N.M., Baker C.J., Anderson J.D., Bailey B.A., 2001. Induction of defense responses in tobacco by the protein Nep1 from *Fusarium oxysporum*. *Plant Sci* 161:891–899
- Jones JD, Dangl JL., 2006. “ The plant immun system.” *Nature* 444:323-323
- Jonge, R., Thomma B.,P.,H.,J., 2009. “Fungal LysM effectors: extinguishers of host immunity?” *Trends in Microbiology*, Vol:17, 151-157
- Kasparovsky T., Milat M-L., Humbert C., Blein J-P., Havel L., Mikes V., 2003. “Elicitation of tobacco cells with ergosterol activates a signal pathway including mobilization of internal calcium.” *Plant Physiol Biochem* 41:495–501
- Keates SE, Kostman TA, Anderson JD, Bailey BA (2003) Altered gene expression in three plant species in response to treatment with Nep1, a fungal protein that causes necrosis. *Plant Physiol* 132:1610–1622

Kunze G., Zipfel C., Robatzek S., Niehaus K., Boller T., Felix G., 2004. “The N terminus of bacterial elongation factor Tu elicits innate immunity in *Arabidopsis* plants.” *Plant Cell* 16:3496–3507

Laquitaine L., Gomès E., François J., Marchive C., Pascal S., Hamdi S., Atanassova R., Delrot S., Coutos-Thévenot P., 2006. “Molecular Basis of Ergosterol-Induced Protection of Grape Against *Botrytis cinerea*: Induction of Type I LTP Promoter Activity, WRKY, and Stilbene Synthase Gene Expression” *Molecular Plant-Microbe Interactions* Volume 19, Number 10 Pages 1103-1112

Lawrence GJ. ve ark. ,1995. “The l6 gene for flax rust resistance is related to the *Arabidopsis* bacterial resistance gene RPS2 and the tobacco viral resistance gene N.” *Plant Cell* 7:1195-1206

Leach J.E. ve White F.F., 1996. “Bacterial avirulence genes.” *Annu. Rev. Phytopathol.* 34:153

Levery SB, Momany M, Lindsey R, Toledo MS, Shayman JA, Fuller M, et al. Disruption of the glucosylceramide biosynthetic pathway in *Aspergillus nidulans* and *Aspergillus fumigatus* by intibitors of UDP-Glc: ceramide glucosyltransferase strongly affects spore germination, cell cycle, and hyphal growth. *FEBS Lett.* 2002;525:59-64

Lohmann GV., Shimoda Y., Nielsen W., Jørgensen FG., Grossmann C., SandalN SK., Thirup S., Madsen LH., Tabata S., Sato S., Stougaard J., Radutoiu S., 2010. “Evolution and regulation of the *Lotus japonica* LysM receptor gene family.” *Mol Plant Microbe Interact* 23:510–521

Mendgen K., Hahn M., 2004. “Plant infection and the establishment of fungal biotrophy.” *Current Opinion in Plant Biology*. 78(1):356–364

Mert Z., 2010, “Türkiye’ de buğdayda kara pas (*Puccinia graminis f. sp. tritici*) ırkları/ patotiplerinin ve bunların bazlarına karşı dayanıklı materyalin belirlenmesi.”

- Molinaro A., Newman M-A., Lanzetta R., Parrilli M., 2009. “The structures of lipopolysaccharides from plant-associated gram-negative bacteria.” Eur J Org Chem 34:5887–5896
- Motteram J, Kūfner I, Deller S, Brunner F, Hammond-Kosack KE, Nurnberger T, Rudd JJ, 2009. Molecular characterization and functional analysis of *MgNLP* the sole NPP1 domain- containing protein from the fungal wheat leaf pathogen *Mycosphaerella graminicola*. Mol Plant Microbe Interact 22:790–799
- Naito K., Ishiga Y., Toyoda K., Shiraishi T., Ichinose Y., 2007. N-terminal domain including conserved fl g22 is required for flagellin-induced hypersensitive cell death in *Arabidopsis thaliana*.” J Gen Plant Pathol 73:281–285
- Newman, M.A., Sundelin T., Nielsen, J. T. ve Erbs, G., 2013. “MAMP (microbe associated molecular pattern) triggered immunity in plants.” Frontiers in Plant Science vol. 4, 139:1-14
- Ritter C. ve Dangl J.L., 1995. “The *avrRpm1* gene of *Pseudomonas syringae* pv. *meculicola* is required for virulence on *Arabidopsis*.” Mol. Plant-Microbe Interact. 8, 444
- Robatzek S., Bittel P., Chinchilla D., Köchner P., Felix G., Shiu SH., Boller T., 2007. “Molecular identification and characterization of the tomato flagellin receptor LeFLS2 an orthologue of *Arabidopsis* FLS2 exhibiting characteristically different perception specificities.” Plant Mol Biol 64:539–547
- Ron M., Avni A., 2004. The receptor for the fungal elicitor ethylene-inducing xylanase is a member of a resistance-like gene family in tomato. Plant Cell 16:1604–1615
- Rossard S., Roblin G., Atanassova R., 2010. “Ergosterol triggers characteristic elicitation steps in *Beta vulgaris* leaf tissues.” J Exp Bot 61:1807–1816
- Scheller HV, Ulvskov P, (2010). Hemicelluloses. Annu Rev Plant Biol **61**: 263–289

- Schouten A, van Baarlen P, van Kan JAL, 2008. Phytotoxic Nep1-like proteins from the necrotrophic fungus *Botrytis cinerea* associated with membranes and the nucleus of plant cells. *New Phytol* 177:493–505
- Schulze-Lefert P., Panstruga R., 200 2003. “Establishment of biotrophy by parasitic fungi and reprogramming of host cells for disease resistance.” *Annual review of phytopathology* 418(1):641–667
- Schuster SC., Khan S., 1994. “The bacterial flagellar motor.” *Annu Rev Biophys Biomol Struct* 23:509–539
- Silipo A., Erbs G., Shinya T., Dow J.M., Parrilli M., Lanzetta R., Shibuya N., Newman M.A., Molinaro A., 2010. “Glyco-conjugates as elicitors or suppressors of plant innate immunity” *Glycobiology* (2010) 20 (4): 406-419.
- Singh R.P., Huerta-Espino J., Roelfs A.P., 2002. “The wheat rusts.” FAO Corporate Document Repository
- Somerville C., 2006. “Cellulose Synthesis in Higher Plants” *Annual Review of Cell and Developmental Biology* Vol. 22:53-78
- Stone J.K., Necrotroph. In: Maloy O.C., Murray T.D., editors. *Encyclopedia of Plant Pathology*. 1. Vol. 2. Vol. 8. New York: Wiley; 2001. pp. 676–677
- Takai R., Isogai A., Takayama S., Che F-S., 2008. “Analysis of flagellin perception mediated by fl g22 receptor OsFLS2 in rice.” *Mol Plant Microbe Interact* 21:1635–1642
- Tor M., Brown D., Cooper A., Woods-Tor A., Sjolander K., ve ark., 2004. “Arabidopsis downy mildew resistance gene RPP27 encodes a receptor-like protein similar to CLVATA2 and tomato CF-9.” *PlantPhysiol* 135:1100-1112

Umemura K., Tanino S., Nagatsuka T., Koga J., Iwata M., Nagashima K., Amemiya Y., 2004. “Cerebroside elicitor confers resistance to Fusarium disease in various plant species.” *Phytopathology* 94:813–818

Varnier AL., Sanchez L., Valsa P., Boudesocque L., Garcia-Brugger A., Rabenoelina F., Sorokin A., Renault J.H., Kauffmann S., Pugin A., Clement C., Baillieu F., Dorey S., 2009. “Bacterial rhamnolipids are novel MAMPs conferring resistance to *Botrytis cinerea* in grapevine.” *Plant Cell Environ* 32:178–193

Vatsa P., Sanchez L., Clement C., Baillieul F., Dorey S., 2010. “Rhamnolipid Biosurfactants as New Players in Animal and Plant Defense against Microbes” *Int. J. Mol. Sci.* 2010, 11(12), 5095-5108

Wan J., Zhang X-C., Neece D., Ramonell K.M., Clough S., Kim S-Y., Stacey M.G., Stacey G., 2008a. “LysM receptor-like kinase plays a critical role in chitin signaling and fungal resistance in *Arabidopsis*.” *Plant Cell* 20:471–481

Wan J., Zhang X-C., Stacey G., 2008b. “Chitin signaling and plant disease resistance.” *Plant Signal Behav* 3:831–833

Xiao S., Ellwood S., Calis O., Patrick E., Li T., ve ark., 2001. “Broad-spectrum mildew resistance in *Arabidopsis* mediated by RPW8.” *Science* 291:118-120

Yamaguchi T., Ito Y., Shibuya N., 2000b. “Oligosaccharide elicitors and their receptors for plant defense responses.” *Trends Glyosci Glyotechnol* 12:113–120

Yamaguchi T., Maehara Y., Kodama O., Matsumura M., Shibuya N., 2002. “Two purified oligosaccharide elicitors N-acetylchitoheptaose and tetraglucosyl glucitol derived from Magnaporthe grisea cell walls synergistically activate biosynthesis of phytoalexin in suspension-cultured rice cells.” *J Plant Physiol* 159:1147–1149

Yamaguchi T., Yamada A., Hong N., Ogawa T., Ishii T., Shibuya N., 2000a. “Differences in the recognition of glucan elicitor signals between rice and soybean: β -

glucan fragments from the rice blast disease fungus *Pyricularia oryzae* that elicit phytoalexin biosynthesis in suspensioncultured rice cells.” *Plant Cell* 12:817–826

Zamioudis C., Pieterse C.M.J., 2012. “Modulation of Host Immunity by Beneficial Microbes” *Molecular Plant-Microbe Interactions* Volume 25, Number 2 Pages 139-150

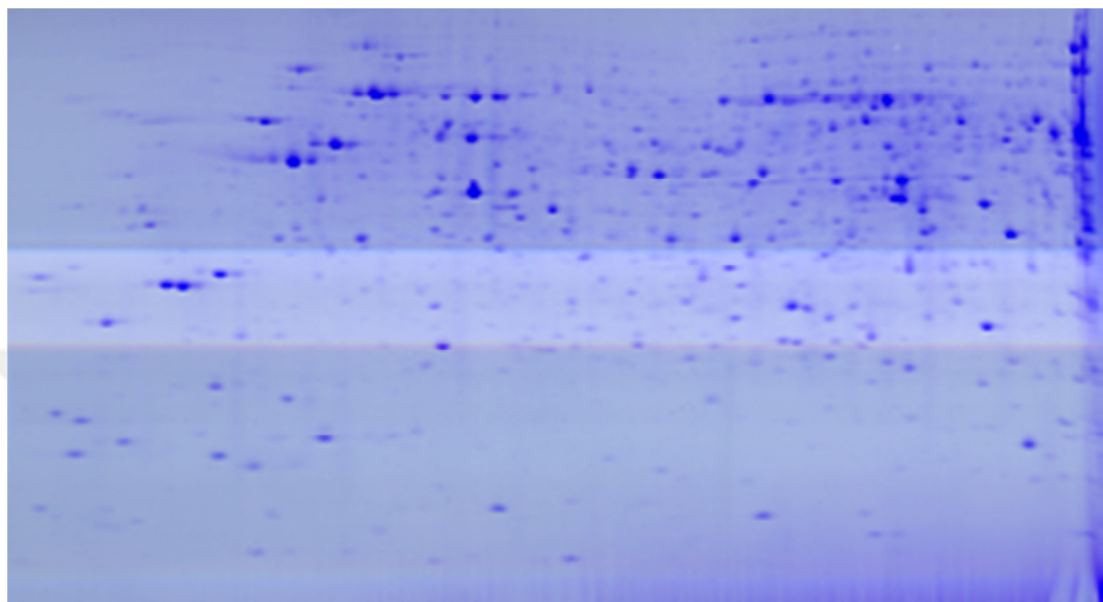
Zeidler D., Zähringer U., Gerber I., Hartung T., Bors W., Hutzler P., Durner J., 2004. “Innate immunity in *Arabidopsis thaliana* : lipopolysaccharides activate nitric oxide synthase NOS and induce defense genes.” *Proc Natl Acad Sci USA* 101:15811–15816

Zipfel C., Robatzek S., Navarro L., 2004. “Bacterial disease resistance in *Arabidopsis* through flagellin perception.” *Nature* 428:764-764

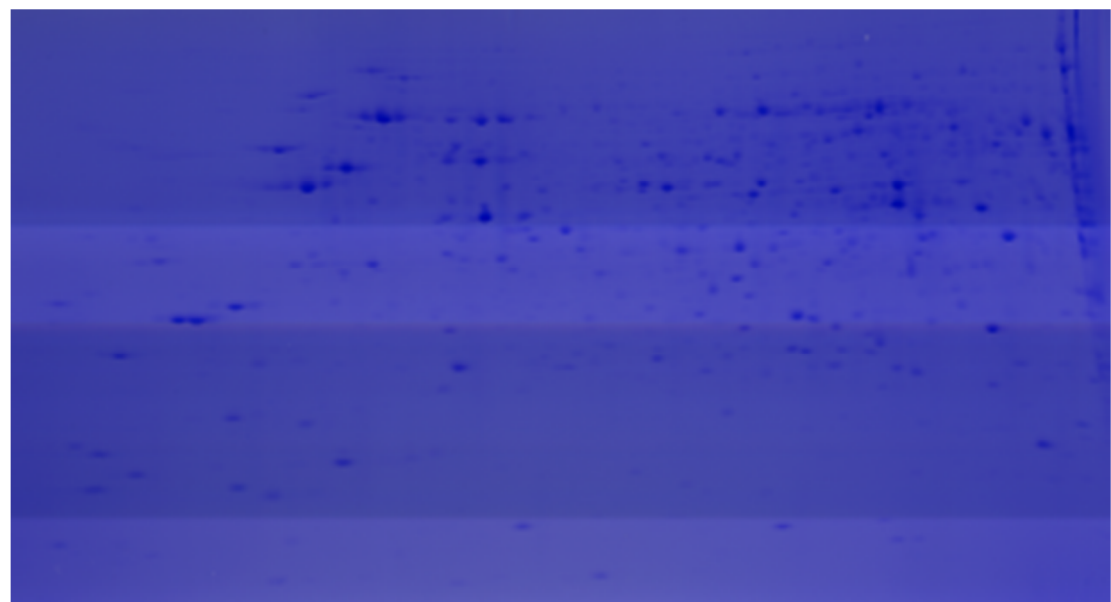
Zipfel, C., 2008. “Pattern-recognition receptors in plant innate immunity.” *Curr.Opin. Immunology*, 20, 10-16

EKLER

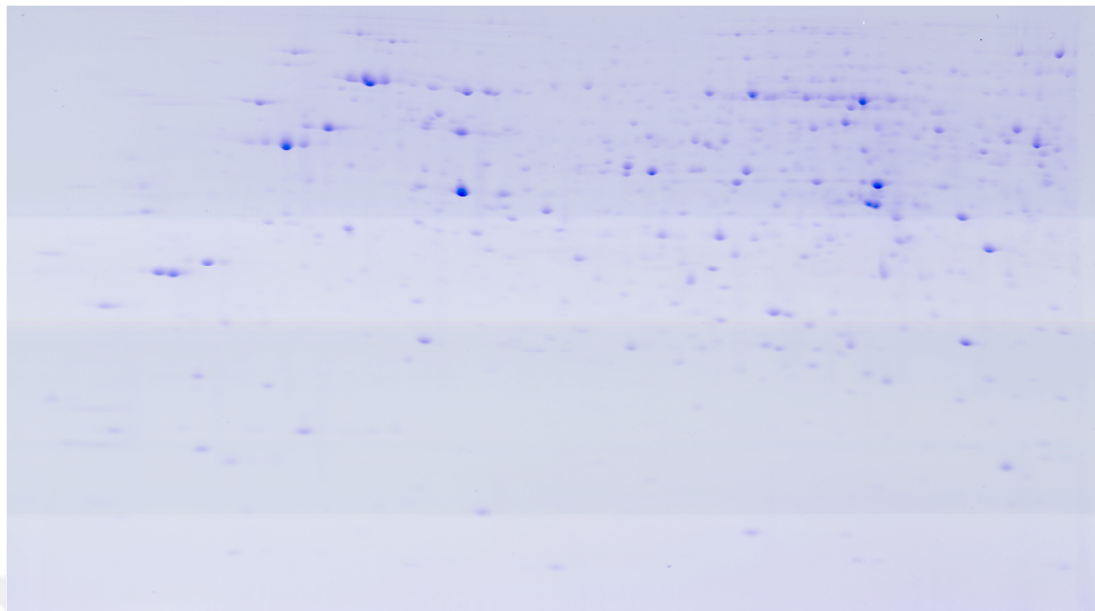
Her bir biyolojik tekrardan elde edilen protein ve her biyolojik tekrarla ait teknik tekrarların 2D-PAGE profilleri



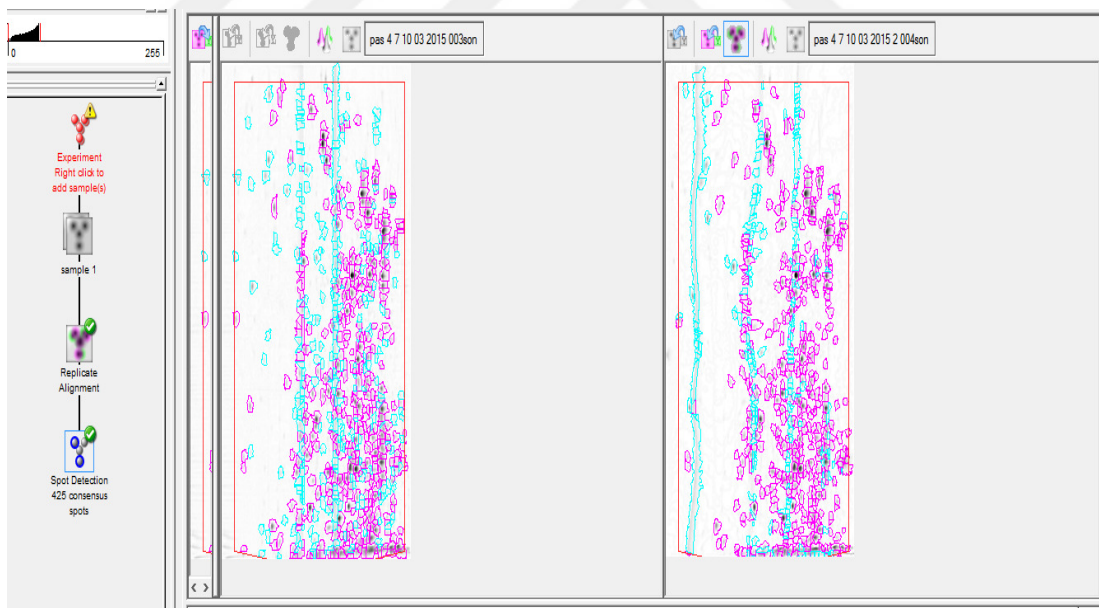
Ek 6.1.1.1. Biyolojik Replika 1. Jel görüntüsü (pH 4-7 aralığı, %10-20 konsantrasyonlu gradyent jelde spotların görüntüsü)



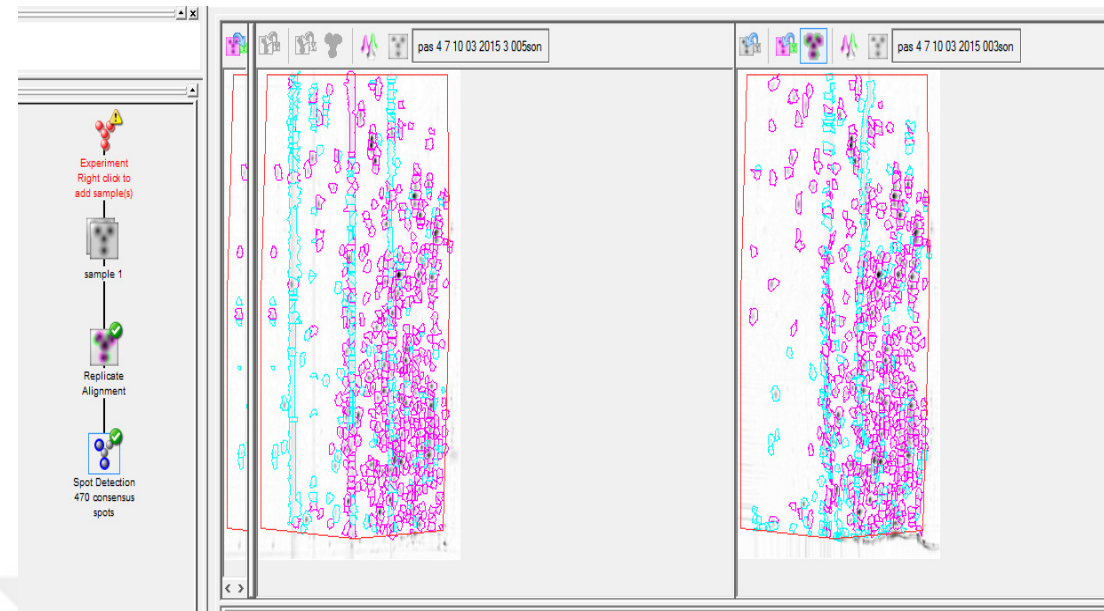
Ek 6.1.2 1. Biyolojik Replika 2. Jel görüntüsü



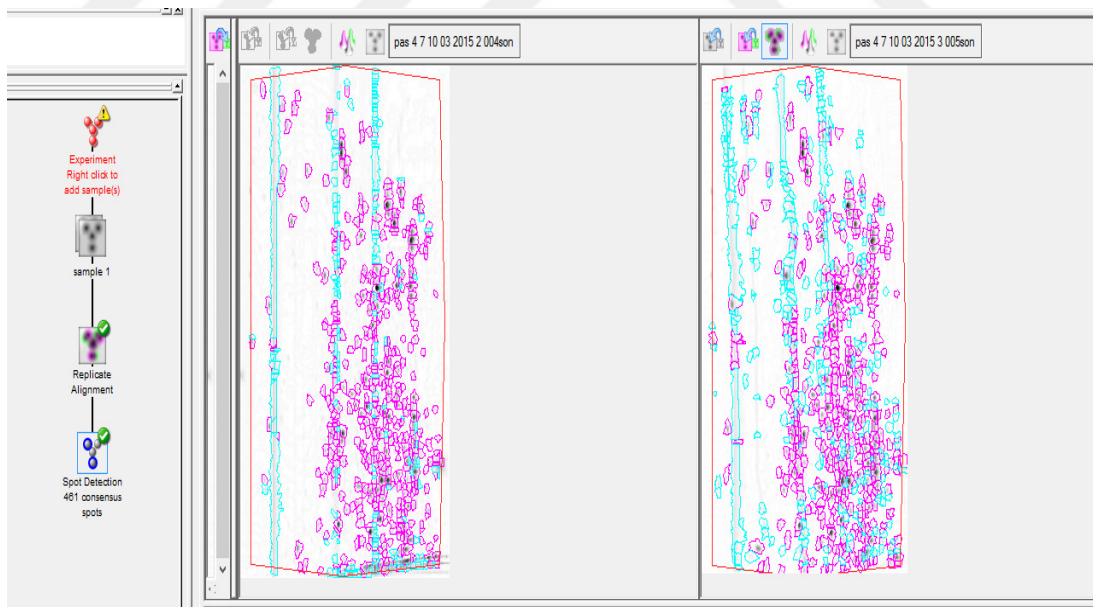
Ek 6.1.3 1. Biyolojik Replika 3. Jel görüntüsü



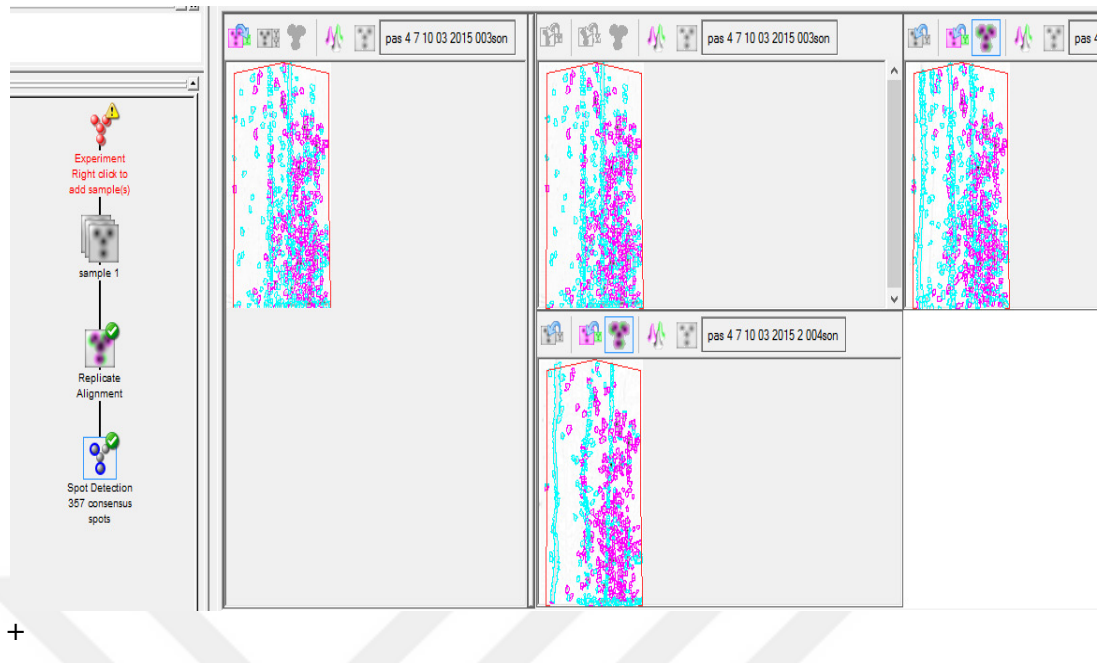
Ek 6.1.4 1. Biyolojik Replika 1. ve 2. Jellerinin ortak spotlarının karşılaştırılması



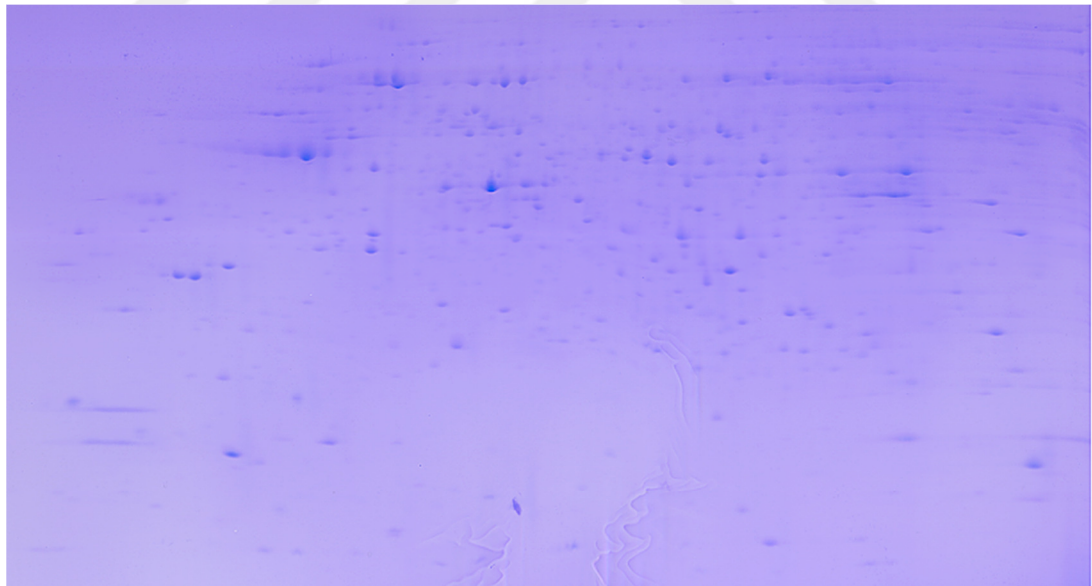
Ek 6.1.5 1. Biyolojik Replika 1. Ve 3. Jellerinin ortak spotlarının karşılaştırılması



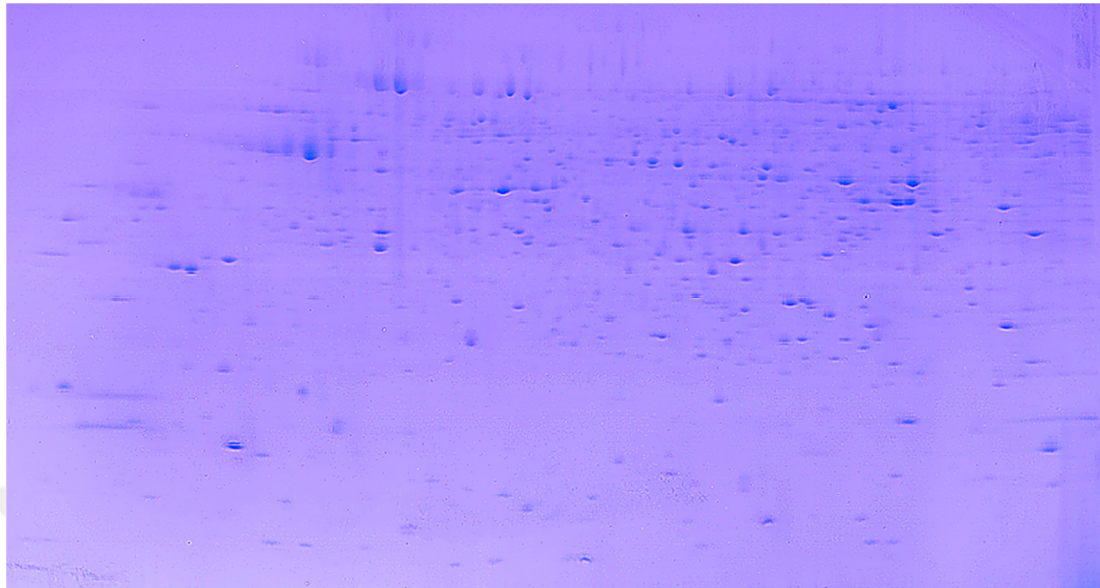
Ek 6.1.6 1. Biyolojik replika 2. Ve 3. Jellerinin ortak spotlarının karşılaştırılması



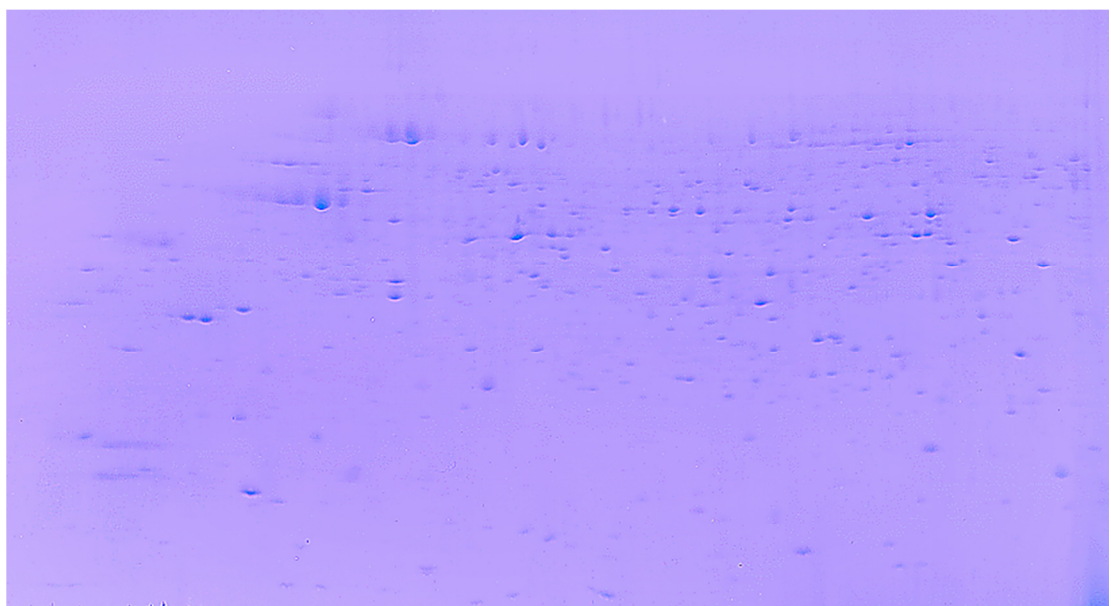
Ek 6.1.7 1. Biyolojik Replika 3 jelin ortak spotlarının karşılaştırılması



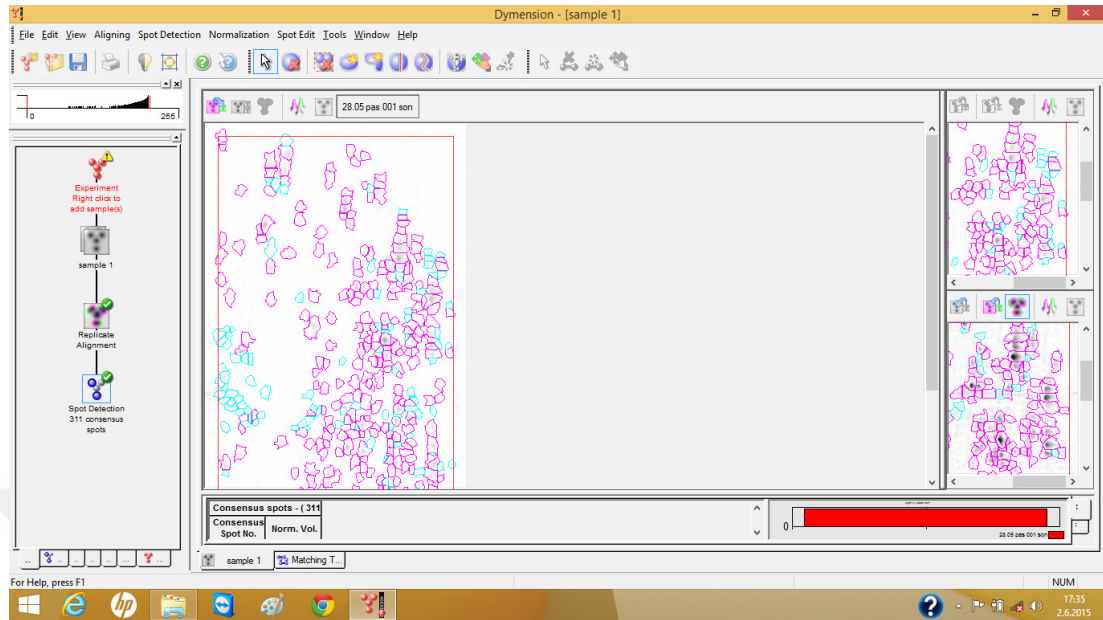
Ek 6.1.8 2. Biyolojik Replika 1. Jel görüntüsü



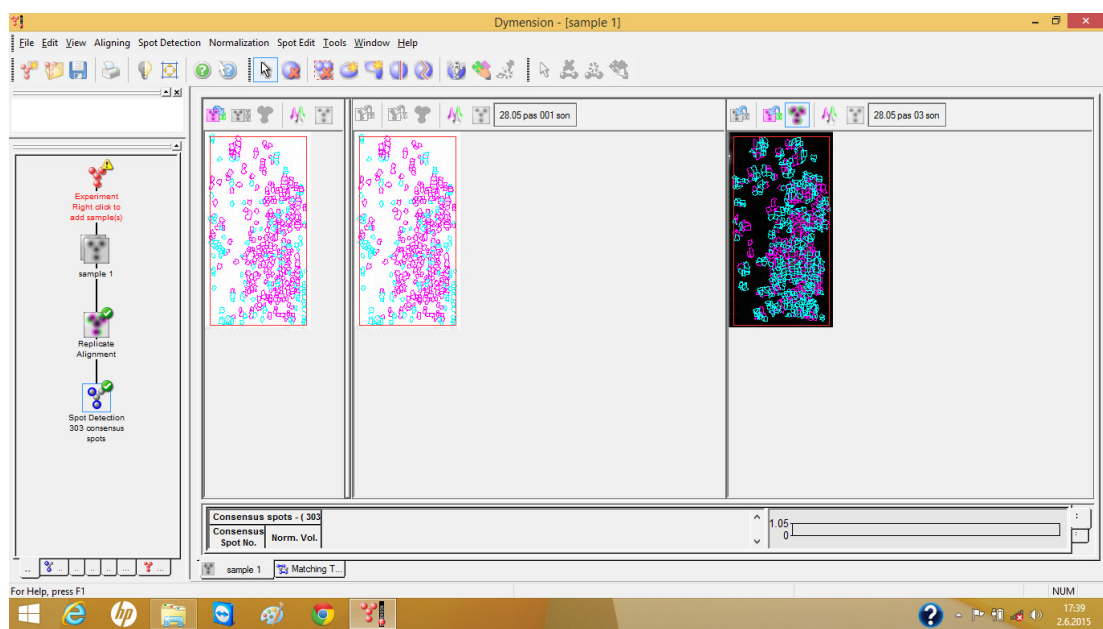
Ek 6.1.9 2. Biyolojik Replika 2. Jel görüntüsü



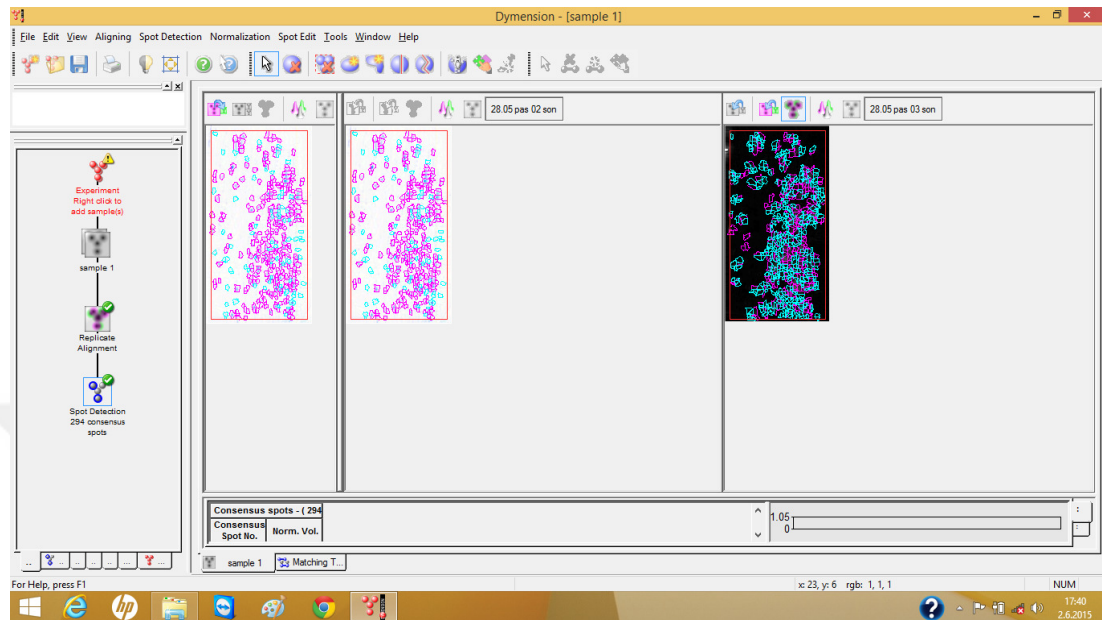
Ek 6.1.10 2. Biyolojik Replika 3. Jel görüntüsü



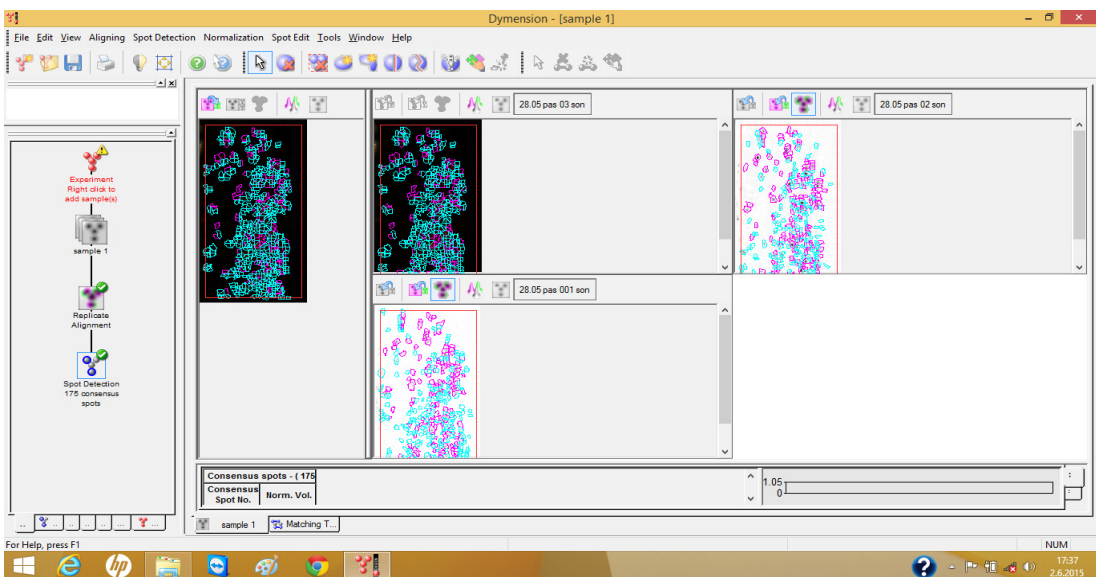
Ek 6.1.11 2. Biyolojik Replika 1. Ve 2. Jellerinin ortak spotlarının karşılaştırılması



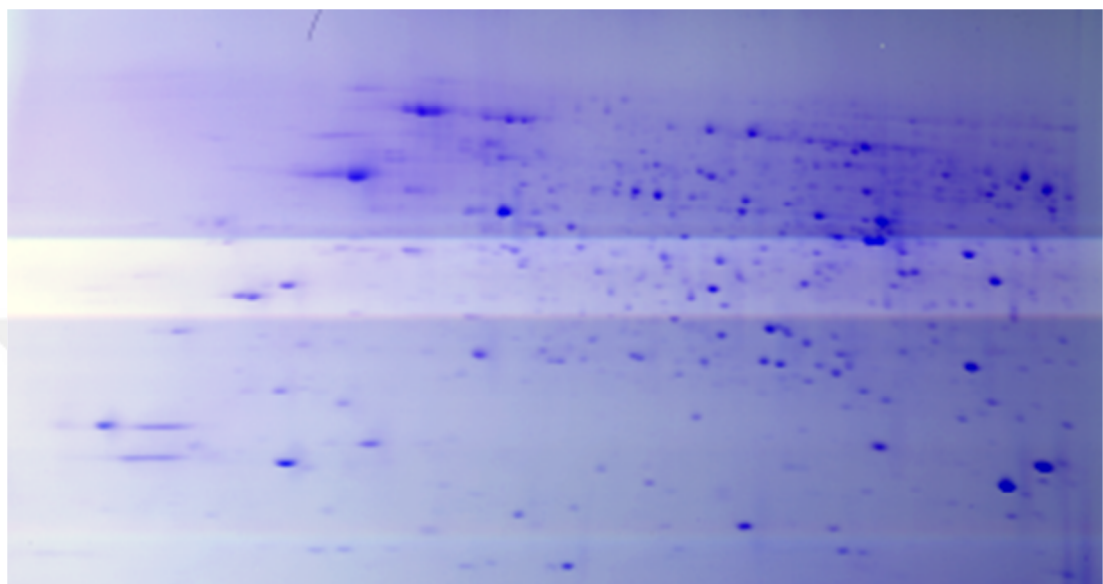
Ek 6.1.12 2. Biyolojik Replika 1. Ve 3. Jellerinin ortak spotlarının karşılaştırılması



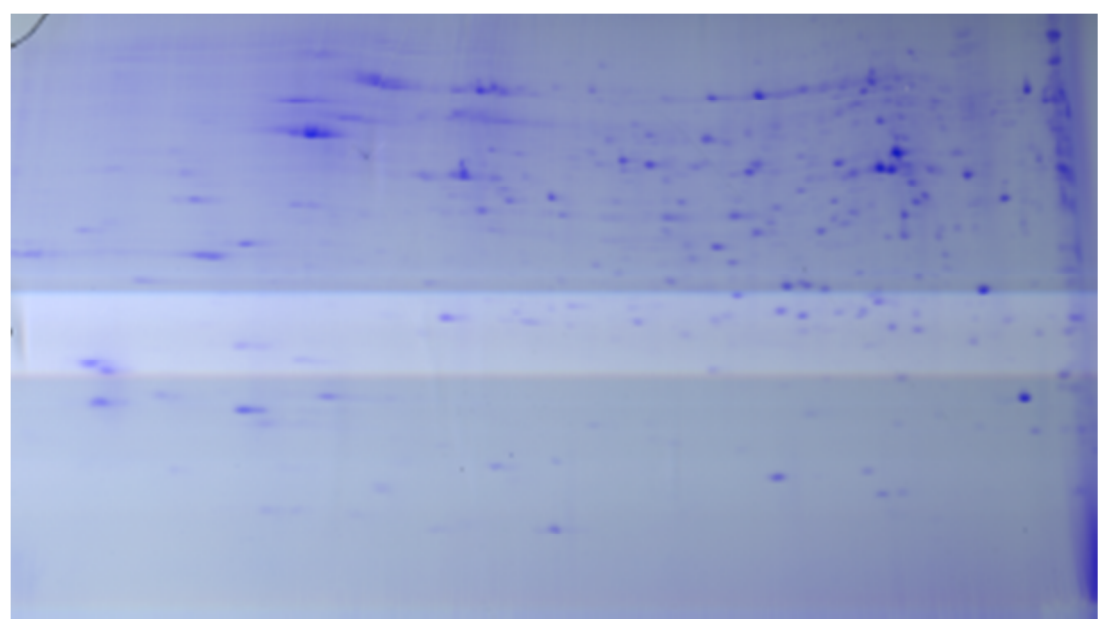
Ek 6.1.13 2. Biyolojik Replika 2. Ve 3. Jellerinin ortak spotlarının karşılaştırılması



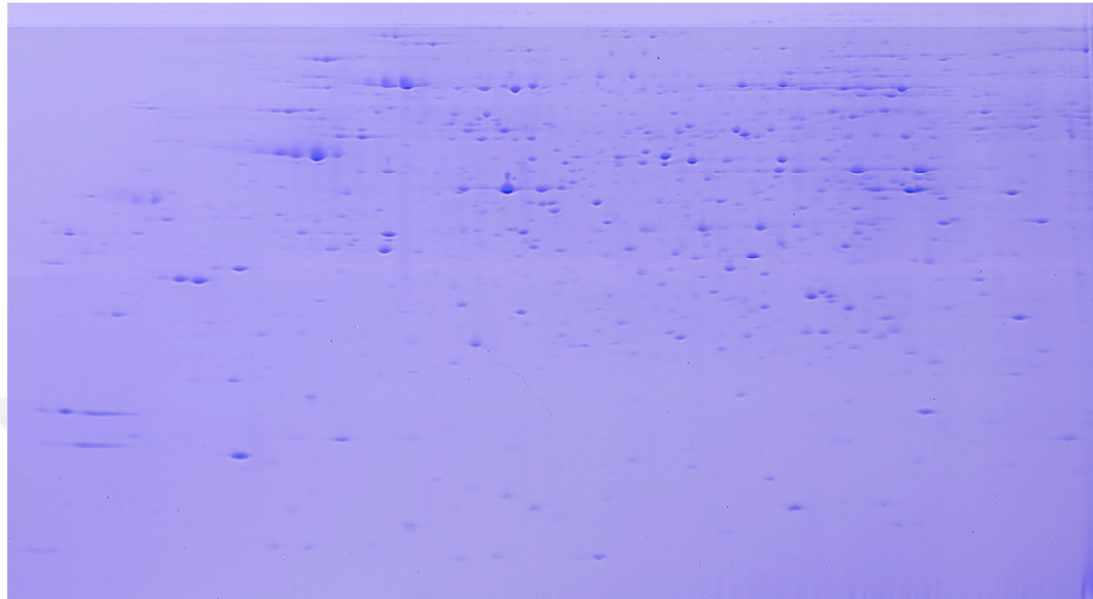
Ek 6.1.14 2. Biyolojik Replika 3 Jelin ortak spotlarının karşılaştırılması



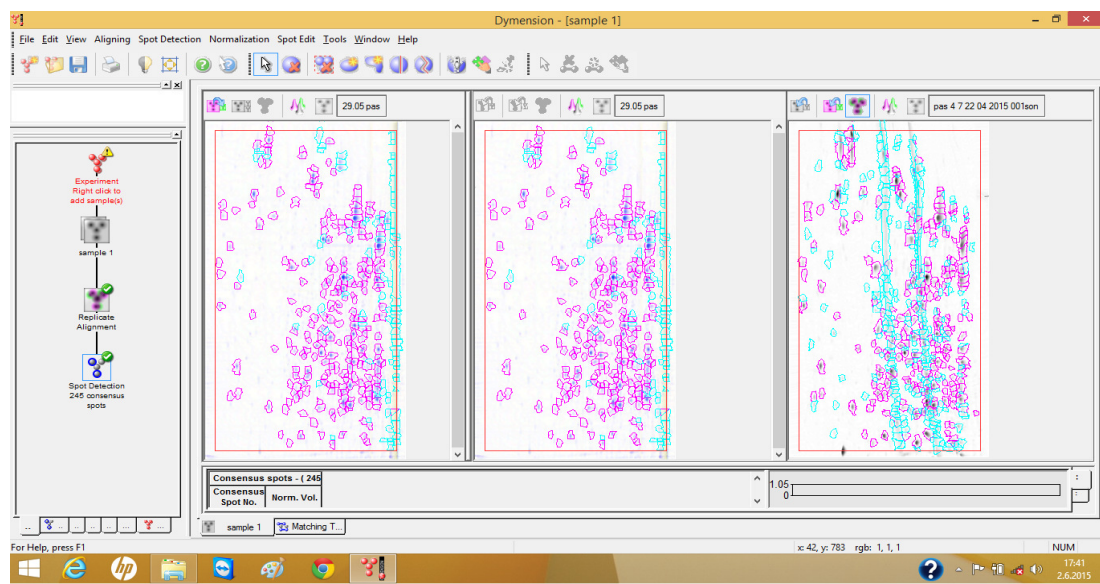
Ek 6.1.14 3. Biyolojik Replika 1. Jel görüntüsü



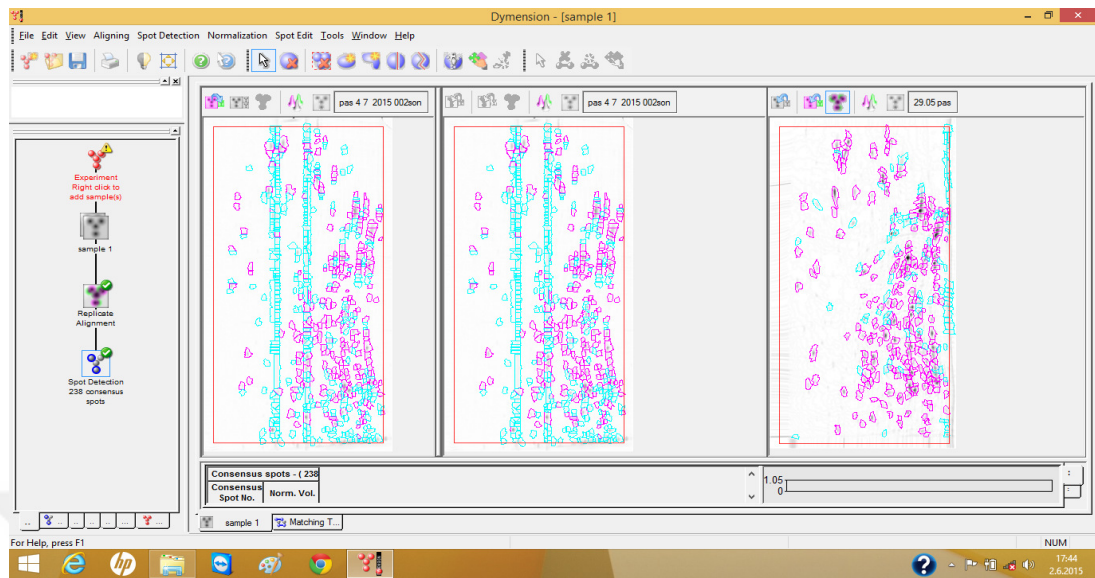
Ek 6.1.15 3. Biyolojik Replika 2. Jel görüntüsü



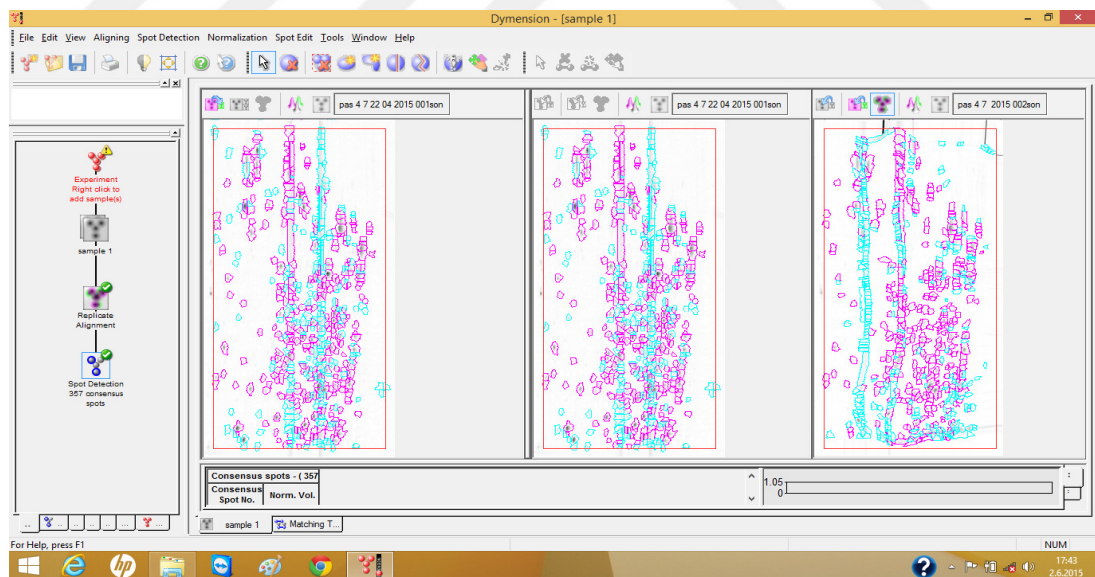
Ek 6.1.16 3. Biyolojik Replika 3. Jel görüntüsü



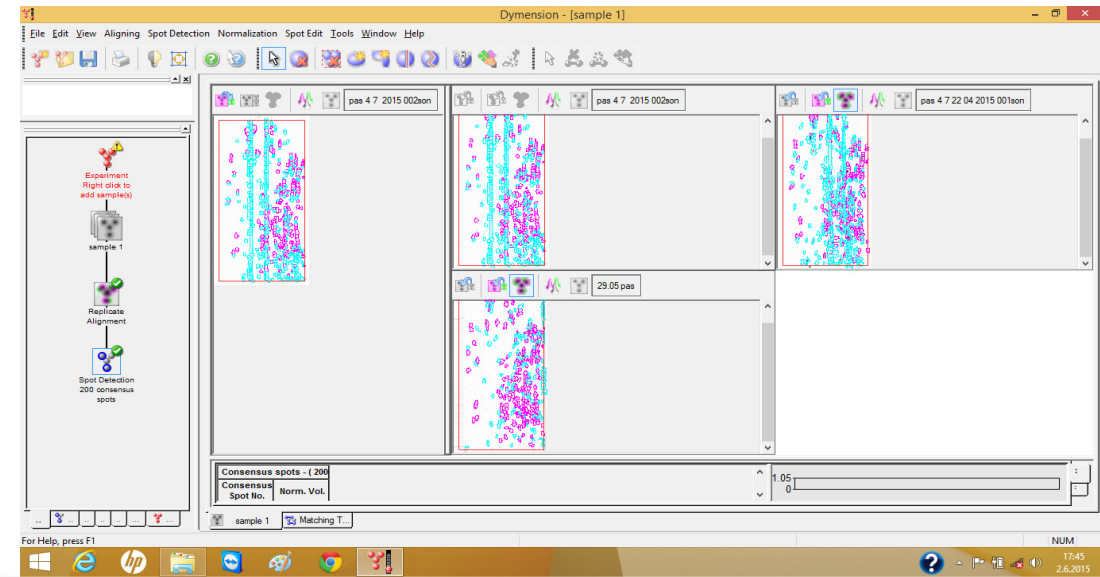
Ek 6.1.17 3. Biyolojik Replika 1. Ve 2. Jellerinin spotlarının karşılaştırılması



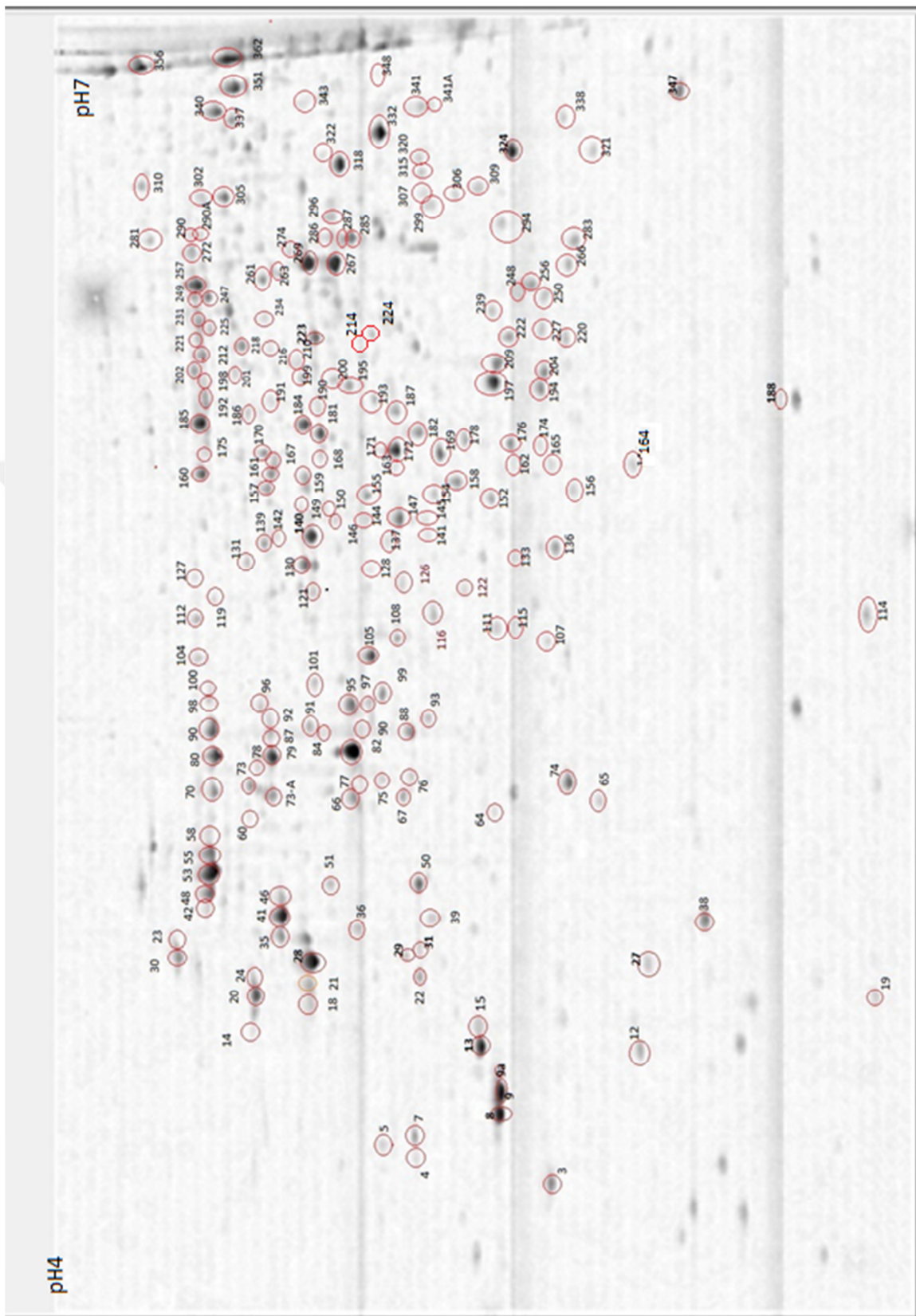
Ek 6.1.18 3. Biyolojik Replika 1. Ve 3. Jellerinin spotlarının karşılaştırılması



Ek 6.1.19 3. Biyolojik Replika 2. Ve 3. Jellerinin spotlarının karşılaştırılması



Ek 6.1.20 3. Biyolojik Replika 3 Jelin spotlarının karşılaştırılması



Ek 6.1.21 3 biyolojik replikadaki toplam 9 jelde ortak bulunan spotların lokasyonları ve numaralandırılması

Ek Tablo 6.2.1 Her bir spota ait pI değerleri

SPOT NO	%STRİP UZUNLUĞU	pI DEĞERİ (teorik)
3	10,47	4,326709302
4	12,40	4,373414729
5	13,57	4,401437984
7	14,34	4,420120155
8	16,28	4,466825581
9	17,83	4,504189922
12	20,93	4,578918605
13	21,32	4,58825969
9A	19,38	4,541554264
14	22,48	4,616282946
15	22,87	4,625624031
18	26,74	4,719034884
19	25,19	4,681670543
20	23,26	4,634965116
21	26,36	4,709693798
21	26,74	4,719034884
22	26,74	4,719034884
23	29,84	4,793763566

24	26,74	4,719034884
27	27,91	4,74705814
28	27,91	4,74705814
29	28,29	4,756399225
30	28,29	4,756399225
31	29,07	4,775081395
35	30,04	4,798434109
36	30,62	4,812445736
38	31,01	4,821786822
39	31,40	4,831127907
41	31,78	4,840468992
42	32,17	4,849810078
46	32,95	4,868492248
48	33,33	4,877833333
50	34,11	4,896515504
51	34,11	4,896515504
53	34,88	4,915197674
55	36,43	4,952562016
58	37,98	4,989926357
60	39,15	5,017949612

64	39,73	5,03196124
65	40,70	5,055313953
66	40,70	5,055313953
67	40,89	5,059984496
70	41,47	5,073996124
73	41,86	5,083337209
73A	41,28	5,069325581
74	42,25	5,092678295
75	42,25	5,092678295
76	42,64	5,10201938
77	41,86	5,083337209
78	43,41	5,12070155
79	44,19	5,139383721
80	44,19	5,139383721
82	44,96	5,158065891
84	46,12	5,186089147
87	45,54	5,172077519
88	46,12	5,186089147
90	46,51	5,195430233
91	46,51	5,195430233

92	47,29	5,214112403
93	47,29	5,214112403
95	48,45	5,242135659
96	48,45	5,242135659
97	48,45	5,242135659
98	48,45	5,242135659
99	49,22	5,260817829
100	49,61	5,270158915
101	50,00	5,2795
104	51,94	5,326205426
105	52,13	5,330875969
107	53,10	5,354228682
108	53,49	5,363569767
111	54,26	5,382251938
112	55,23	5,405604651
114	55,43	5,410275194
115	54,26	5,382251938
116	55,62	5,414945736
119	56,78	5,442968992
121	57,17	5,452310078

122	57,36	5,45698062
126	58,14	5,475662791
127	58,53	5,485003876
128	59,11	5,499015504
130	59,30	5,503686047
131	59,69	5,513027132
133	60,08	5,522368217
136	60,85	5,541050388
137	61,24	5,550391473
139	61,24	5,550391473
140	61,63	5,559732558
141	61,82	5,564403101
142	61,63	5,559732558
143	63,18	5,597096899
144	62,79	5,587755814
145	62,79	5,587755814
146	67,44	5,699848837
147	63,18	5,597096899
149	64,15	5,620449612
150	63,95	5,61577907

152	64,73	5,63446124
154	64,92	5,639131783
155	64,73	5,63446124
156	65,12	5,643802326
157	65,50	5,653143411
158	65,89	5,662484496
159	66,28	5,671825581
160	66,47	5,676496124
161	66,67	5,681166667
162	67,05	5,690507752
163	67,05	5,690507752
165	67,44	5,699848837
167	67,64	5,70451938
168	67,83	5,709189922
169	68,22	5,718531008
170	68,22	5,718531008
171	68,41	5,72320155
172	68,60	5,727872093
174	68,99	5,737213178
175	68,22	5,718531008

176	68,99	5,737213178
178	69,38	5,746554264
181	69,77	5,755895349
182	69,77	5,755895349
184	70,35	5,769906977
185	70,54	5,774577519
186	71,32	5,79325969
187	71,32	5,79325969
188	72,29	5,816612403
190	71,71	5,802600775
191	72,29	5,816612403
192	72,48	5,821282946
193	72,48	5,821282946
194	73,06	5,835294574
195	73,64	5,849306202
197	73,64	5,849306202
198	73,84	5,853976744
199	74,03	5,858647287
200	74,03	5,858647287
201	74,42	5,867988372

202	74,61	5,872658915
204	74,42	5,867988372
209	75,19	5,886670543
210	75,58	5,896011628
212	75,97	5,905352713
216	76,36	5,914693798
218	76,74	5,924034884
220	77,52	5,942717054
221	77,13	5,933375969
222	77,52	5,942717054
223	77,13	5,933375969
225	78,29	5,961399225
227	77,91	5,95205814
231	78,68	5,97074031
234	78,68	5,97074031
239	79,46	5,989422481
247	80,43	6,012775194
248	81,01	6,026786822
249	80,23	6,008104651
250	80,43	6,012775194

256	81,78	6,045468992
257	81,40	6,036127907
261	81,78	6,045468992
263	82,36	6,05948062
266	82,95	6,073492248
267	83,33	6,082833333
269	83,33	6,082833333
272	84,11	6,101515504
274	84,11	6,101515504
281	85,27	6,12953876
283	85,27	6,12953876
285	85,27	6,12953876
286	85,27	6,12953876
287	85,27	6,12953876
290	85,27	6,12953876
290A	85,47	6,134209302
294	86,43	6,157562016
296	86,82	6,166903101
299	87,60	6,185585271
302	88,37	6,204267442

305	88,37	6,204267442
306	88,76	6,213608527
307	88,76	6,213608527
309	89,15	6,222949612
310	89,15	6,222949612
315	90,31	6,250972868
318	91,09	6,269655039
320	91,67	6,283666667
321	91,86	6,288337209
322	92,25	6,297678295
324	92,25	6,297678295
332	93,41	6,32570155
337	94,57	6,353724806
338	94,77	6,358395349
340	94,96	6,363065891
341	93,80	6,335042636
341A	93,80	6,335042636
343	95,93	6,386418605
347	96,90	6,409771318
348	98,06	6,437794574

351	96,90	6,409771318
356	98,64	6,451806202
362	99,22	6,465817829

6.2.2 Her bir spota ait mW değerleri

SPOT NO	Rf	log mw	Mw (teorik)
3	0,543081094	1,546720161	35,21438933
4	0,391914191	1,747182591	55,87050422
5	0,358321546	1,791729797	61,90558005
7	0,391914191	1,747182591	55,87050422
8	0,484293965	1,624677773	42,13837395
9	0,484293965	1,624677773	42,13837395
12	0,638260255	1,420503076	26,33316597
13	0,464698256	1,650663643	44,7366689
9A	0,428306223	1,698923117	49,99460219
14	0,218352192	1,977343158	94,91681521
15	0,464698256	1,650663643	44,7366689
18	0,279938708	1,895673279	78,64539157
19	0,90140264	1,071549959	11,79098152

20	0,218352192	1,977343158	94,91681521
21	0,279938708	1,895673279	78,64539157
21	0,279938708	1,895673279	78,64539157
22	0,397512966	1,739758056	54,92348122
23	0,128771806	2,096135708	124,7773358
24	0,218352192	1,977343158	94,91681521
27	0,646658416	1,409366275	25,6664778
28	0,708244932	1,327696396	21,2665184
29	0,386315417	1,754607125	56,83385634
30	0,128771806	2,096135708	124,7773358
31	0,397512966	1,739758056	54,92348122
35	0,246346063	1,940220486	87,1405879
36	0,324728901	1,836277004	68,59255873
38	0,708244932	1,327696396	21,2665184
39	0,408710514	1,724908988	53,07732016
41	0,246346063	1,940220486	87,1405879
42	0,162364451	2,051588502	112,6129932
46	0,246346063	1,940220486	87,1405879
48	0,167963225	2,044163967	110,7041668
50	0,397512966	1,739758056	54,92348122

51	0,296735031	1,873399676	74,71360222
53	0,167963225	2,044163967	110,7041668
55	0,167963225	2,044163967	110,7041668
58	0,167963225	2,044163967	110,7041668
60	0,212753418	1,984767692	96,55342682
64	0,447901933	1,672937247	47,09092774
65	0,593470061	1,479899352	30,19251924
66	0,324728901	1,836277004	68,59255873
67	0,380716643	1,76203166	57,81381915
70	0,173561999	2,036739433	108,8276956
73	0,212753418	1,984767692	96,55342682
73A	0,235148515	1,955069554	90,17155403
74	0,559877416	1,524446558	33,45388489
75	0,352722772	1,799154332	62,97299251
76	0,386315417	1,754607125	56,83385634
77	0,33592645	1,821427935	66,28693447
78	0,218352192	1,977343158	94,91681521
79	0,235148515	1,955069554	90,17155403
80	0,173561999	2,036739433	108,8276956
82	0,324728901	1,836277004	68,59255873

84	0,291136256	1,88082421	76,00185813
87	0,235148515	1,955069554	90,17155403
88	0,386315417	1,754607125	56,83385634
90	0,33592645	1,821427935	66,28693447
91	0,279938708	1,895673279	78,64539157
92	0,229549741	1,962494089	91,72634505
93	0,408710514	1,724908988	53,07732016
95	0,319130127	1,843701538	69,77527201
96	0,223950967	1,969918623	93,3079447
97	0,341525224	1,814003401	65,16334963
98	0,167963225	2,044163967	110,7041668
99	0,358321546	1,791729797	61,90558005
100	0,167963225	2,044163967	110,7041668
101	0,285537482	1,888248745	77,31232692
104	0,156765677	2,059013036	114,5547327
105	0,341525224	1,814003401	65,16334963
107	0,509488449	1,591267368	39,01821235
108	0,375117869	1,769456194	58,81067906
111	0,481494578	1,62839004	42,50010863
112	0,156765677	2,059013036	114,5547327

114	0,890205092	1,086399028	12,20110115
115	0,503889675	1,598691902	39,69098734
116	0,414309288	1,717484453	52,17764253
119	0,179160773	2,029314899	106,9830312
121	0,285537482	1,888248745	77,31232692
122	0,447901933	1,672937247	47,09092774
126	0,380716643	1,76203166	57,81381915
127	0,151166902	2,066437571	116,5299528
128	0,347123998	1,806578866	64,05880992
130	0,26874116	1,910522348	81,38087367
131	0,207154644	1,992192227	98,21825785
133	0,503889675	1,598691902	39,69098734
136	0,548679868	1,539295627	34,61749412
137	0,363920321	1,784305263	60,85626058
139	0,229549741	1,962494089	91,72634505
140	0,279938708	1,895673279	78,64539157
141	0,414309288	1,717484453	52,17764253
142	0,240747289	1,94764502	88,64311722
143	0,408710514	1,724908988	53,07732016
144	0,33592645	1,821427935	66,28693447

145	0,307932579	1,858550607	72,20222931
146	0,33592645	1,821427935	66,28693447
147	0,375117869	1,769456194	58,81067906
149	0,26874116	1,910522348	81,38087367
150	0,296735031	1,873399676	74,71360222
152	0,475895804	1,635814574	43,23292052
154	0,414309288	1,717484453	52,17764253
155	0,341525224	1,814003401	65,16334963
156	0,56547619	1,517022024	32,88683079
157	0,229549741	1,962494089	91,72634505
158	0,436704385	1,687786315	48,7288672
159	0,26874116	1,910522348	81,38087367
160	0,156765677	2,059013036	114,5547327
161	0,235148515	1,955069554	90,17155403
162	0,498290901	1,606116437	40,37536271
163	0,369519095	1,776880728	59,82472741
165	0,543081094	1,546720161	35,21438933
167	0,240747289	1,94764502	88,64311722
168	0,291136256	1,88082421	76,00185813
169	0,419908062	1,710059919	51,29321472

170	0,229549741	1,962494089	91,72634505
171	0,358321546	1,791729797	61,90558005
172	0,369519095	1,776880728	59,82472741
174	0,531883545	1,56156923	36,43923327
175	0,162364451	2,051588502	112,6129932
176	0,498290901	1,606116437	40,37536271
178	0,447901933	1,672937247	47,09092774
181	0,291136256	1,88082421	76,00185813
182	0,397512966	1,739758056	54,92348122
184	0,26874116	1,910522348	81,38087367
185	0,156765677	2,059013036	114,5547327
186	0,212753418	1,984767692	96,55342682
187	0,375117869	1,769456194	58,81067906
188	0,811822254	1,190342509	15,50038586
190	0,285537482	1,888248745	77,31232692
191	0,235148515	1,955069554	90,17155403
192	0,162364451	2,051588502	112,6129932
193	0,347123998	1,806578866	64,05880992
194	0,531883545	1,56156923	36,43923327
195	0,319130127	1,843701538	69,77527201

197	0,481494578	1,62839004	42,50010863
198	0,162364451	2,051588502	112,6129932
199	0,26874116	1,910522348	81,38087367
200	0,302333805	1,865975141	73,44718266
201	0,195957096	2,007041295	101,6345329
202	0,145568128	2,073862105	118,5392309
204	0,53748232	1,554144696	35,82157656
209	0,481494578	1,62839004	42,50010863
210	0,263142386	1,917946882	82,78409061
212	0,162364451	2,051588502	112,6129932
216	0,235148515	1,955069554	90,17155403
218	0,20155587	1,999616761	99,91179487
220	0,559877416	1,524446558	33,45388489
221	0,156765677	2,059013036	114,5547327
222	0,498290901	1,606116437	40,37536271
223	0,285537482	1,888248745	77,31232692
225	0,167963225	2,044163967	110,7041668
227	0,531883545	1,56156923	36,43923327
231	0,156765677	2,059013036	114,5547327
234	0,229549741	1,962494089	91,72634505

239	0,475895804	1,635814574	43,23292052
247	0,167963225	2,044163967	110,7041668
248	0,503889675	1,598691902	39,69098734
249	0,151166902	2,066437571	116,5299528
250	0,531883545	1,56156923	36,43923327
256	0,520685997	1,576418299	37,70668033
257	0,151166902	2,066437571	116,5299528
261	0,223950967	1,969918623	93,3079447
263	0,240747289	1,94764502	88,64311722
266	0,559877416	1,524446558	33,45388489
267	0,307932579	1,858550607	72,20222931
269	0,274339934	1,903097814	80,00144171
272	0,145568128	2,073862105	118,5392309
274	0,257543612	1,925371417	84,21150263
281	0,100777935	2,13325838	135,9121806
283	0,56547619	1,517022024	32,88683079
285	0,319130127	1,843701538	69,77527201
286	0,291136256	1,88082421	76,00185813
287	0,313531353	1,851126073	70,97837833
290	0,145568128	2,073862105	118,5392309

290A	0,156765677	2,059013036	114,5547327
294	0,487093352	1,620965506	41,77971813
296	0,302333805	1,865975141	73,44718266
299	0,408710514	1,724908988	53,07732016
302	0,156765677	2,059013036	114,5547327
305	0,184759547	2,021890364	105,1696344
306	0,436704385	1,687786315	48,7288672
307	0,397512966	1,739758056	54,92348122
309	0,459099481	1,658088178	45,50804488
310	0,089580387	2,148107449	140,6395439
315	0,40311174	1,732333522	53,99251056
318	0,307932579	1,858550607	72,20222931
320	0,397512966	1,739758056	54,92348122
321	0,587871287	1,487323886	30,71311643
322	0,291136256	1,88082421	76,00185813
324	0,498290901	1,606116437	40,37536271
332	0,352722772	1,799154332	62,97299251
337	0,190358322	2,01446583	103,3869753
338	0,554278642	1,531871093	34,03071647
340	0,173561999	2,036739433	108,8276956

341	0,397512966	1,739758056	54,92348122
341A	0,414309288	1,717484453	52,17764253
343	0,26874116	1,910522348	81,38087367
347	0,683050448	1,361106801	22,96713383
348	0,352722772	1,799154332	62,97299251
351	0,195957096	2,007041295	101,6345329
356	0,095179161	2,140682915	138,2556584
362	0,184759547	2,021890364	105,1696344

Ek 6.2.3 Tanımlanan proteinlerin dizi bilgisi

Spot 3

>PTTG_03499

MGFDFTGNDYSQLEQHVYDKSYIEGYAPSQADVVIFLAIASCPDVKKYPQSA
 RWWAHIKSWESEHASLPGEKKELSSYGPAKGSTSAPAAAADGDDDDIDLF
 GSDDEEVDEAAEKLKATRLAEYAAKKANKPKTIAKSLVTLDVKPWDDETD
 MAELEKCVRSVEMDGLVWGLSKLVPVGYGVKRMQISLVVEDEKVSLDDLQ
 DKISEFEDYIQSSDIQAMQKL

Spot 7-1

>PTTG_01669

MSQQDEQPVTSDVAPDHDPDYQPLVQLTAVETKTHEENEDVFFKLRAKLFR
 FDKTASEWKERGTGELKLLQDNTSNKIRLVMRRDKTLKVCANHFIAPDMVL
 APNVGSDRSWVYNTTADMSDEGVAETLAIRFGNSENANAFAKFEEAQKI
 NAGLTKESSATTSTDPVGDESTSTKKEESGAGQTEAAKKDEDKKSEATESKP
 EPAVVQSDATADAVIDTTATEKKTEETDKAESKDDAQKE

Spot 7-2, 15-2

>PSTG_04309

MVNKNGGQPEHFRLDKVIRPNILSLKPYRCARDDYDHGILLDANENSLGSAL
 SPTGKVDQQAIPSQQLSLEHGGLNIHSLSLHRYPSPSQIPIKQNLCDYRNSIQS
 NLPLDPSNVFLGVGSDEILDLLFRIACKPGDSGVGDQVVVTPPTYGMYSV
 CAKVNNDVGIVNVPLNVENGFTVDLESLDRQLSQQSSTRPIKLIILCSPGNPT
 GTTIPLSMIEEILSNTKFKGILIVDEAYIDFAGNEKSAIKFVRQGWKNLIVTHTL
 SKGFGLAGIRLGIAYGSAIDLQVLNNTKAPYTISSPSSLGYEATKPDQLKQT
 EAHIQEINTTREWLNQKELTKIPGMGKILGQTEANFILIQVMNFEKPTQVDSHR
 AKSVYKYMAEDSQNGASPIVVRYRGDELGCQGCLRITVGSQIESQUELLNKLA
 KTLHLIC

Spot 12

>PTTG_09356

MIIFTDAITGDELCSDAFKMLPVGALVEVNCENVTIKEGEVDIGANASAEEQT
 EALEDGAKTVNNLVHTFRLQATSFDKKSYMTYLKGYMKAVKTHLAATNPE
 RVEAFEKEAQEAAKKIIGNFKDYEFYVGESMNPEGMVALLNYREDGIQAYF
 SFWNDGLKSMKV

Spot 14

>PTTG_06852

MKTTSAVVAILAAVASIPSATAGKHRMKLHKMPATSSASSQTILNNLQSQ
 TAWVSQKYFGAEDAAGGQKFRYGHAFKAPKEGEDVSIQMIEEADLASAGH
 EVPLSNYLNAQYFSEISLGTTPQSFKVVLDTGSSNLWVPSTRCSSIACFLHSKY
 DCEASETYQANGTEFKIRYGSGSLEGVISNDVLTIGDLTVPDVFAESTKEPG
 LAFAFGKFDGIFGLGYDTISVLHTTPFYKMMEKNMLDEPVFAFYLGSAEGN
 KADPNGGEVVFGGVDEAHYEGERIFYAPVRRRGYWEVELKSVFGKEEMKL
 HNVGAAIDTGTSLIALPTDTAEIINAEIGATKSGQYTVDCSRIPDLPDLTFN
 FGGKEFTITGEDYILQVQGTCISAFTGLDMPPNIGELWIVGDVFLRKWYTVY
 DWGRDAVGFAKAR

Spot 15-1

>PTTG_02090

MSATDASAAAAEQFELVTFDSNLERESQLKEAYGEGQFDQVLKFDEELLKA
 EWEAYNHVKLLDPIYKRRSEFVKKIPGFWLQVLNDPACHHVDAIDRDA
 LSHLEDLTIDHDPNDARSVTFHFAKGNPYFSDRILTKKFVVDLEDEPVAV
 NGSGEKPNPLLAEMNKYDLDRQVKSTPVPIQWASDEHNLVAKKPCMTLEE
 LENQQGEIEIEASGSFFNFFSYEEDRYQLHHLLELHSKALDLYAGVVEAAN
 ETFGFSDEDSDEEDGDPNQVVDLESESNDEPKKKAKVSSA

Spot 18,21

>PTTG_01840

MHRGTGLMRAIPRSATKARRANSALLNATRTLVSAAKPAVPAVAAKSSLPR
 FTKNQVDQPRS YATEAKAQIGQIKTVIGAVVDVQFDGDNLPPILNALEVQDF
 GQRLVLEVAQHLGENTVRTIAMDGTEGLVRGQKVIDTGAPIQIPVGPECLGR
 IMNVIGEPIDERGPIKTMMPIHAEPPEFIDQSTIPEVLVTGIKVVDLLAPYAR
 GGKIGLLGGAGVGKTVFIQELINNVAKAHGGYSVFCVGERTREGNDLYHE

MIETGVIQLNNDKSKAALVFGQMNEPPGARARVALTGLTLAEYFRDEEGQDVLLFIDNIFRFTQAGSEVSALLGRIPSAVGYQPTLSTDMGGMGERITTRKGSI
TSVQAVYVPADDLTDPAATTFAHLDATTVLSRGISELGIYPAVDPLDSKSRL
LDPRIVGPEHYNLATAVQKLLQDYKGLQDIIAILGMDELSEDDKLTVERARK
VQRFMSQPFAVAEVFTGLEGRLVPLKDTIESFKGILAGQHDHLPESAFYMVG
AIDDVKAKADKLAEMKDΝ

Spot 19

>PTTG_05456

MSWQTYVDTNLLGTGLFDNAAILGQAGGVWATSANFNVAPDEQSCLVNGF
EDNPTIQASGIILAGTKYLTIHADDRSIYGKKGGAGCVCVTKQAVIVALYK
AGVQPGEATKCTESLADYLIASGF

Spot 20, 24

>PTTG_01827

MRSFRILSTLLALASSIHADAGVSPGDAPDDVIELTSENFATVVTPAPLILVEF
MAPWCGHCKALMPEYKRAATLLKKEGIPVAKADCTEQSELCAQHEIQGYPT
LKIFTNGVASEYKGPRKADGIVSYMЕKRAQPVVTVTSANHTEFTKSGNVV
VIAYLDHSDKDSMDVFNRFAESKRDDYVFGVCYDPSSISEVSSLKGSLVLW
KKFDEGRNDFHGEKLTEENITKFVNNTSVPLFDELTPSNFALYSEIGLPLAYT
FIEANNPKRESLIKSLEPVAKDNKGHLNFVWIDATKFGDYAKSLNLPGSDWP
EFVIQDLSNQDKYPFEAKKEVNHDHIAEFVKSYSRSGKLEKSVKSQPIPTQKG
DGTYVLVAKAFEEVVGNNNQKDVLEFYAPWCGHCKRLKPIWDNLARSF
SGSSDKVLIANFDATENDIPSTTGFTVQGYPTLKFKPAGSREFIDYDDERELD
AMIAFIEKNSVNKVKAJVVDLPEPVEGGEGGDQVVFDSEESDPVPEDEDKD
AEHDEL

Spot 22-1, 31-2

>PTTG_07476

MVSPSVLRPVSKTLTTARALKTVNAVRSSQPRPITNSLAQLSQVAINSTPQAR
 VMRSVSQRLSASSAGGEIQMTVRDALNTAMEEEMNLDEKVFIMGEEVAQY
 NGAYKITKGLLDKFGEKRVIDTPITEAGFAGIAVGAALAGRPICEFMTFNFA
 MQAIDQIVNSGGKTFYMSGSTPCPVFRGPNGAAAGVAAQHSQDYCSWY
 GQVPGLKVVSPWSSEDCKGLKAAVRDPNPVIVLENEIMYGQAFPMMSVEAQ
 SKDFLLPIGKAKVERVGKDVTVVAHSRMVGLSIEAAEALEKAEGVSVEVN
 LRSIRPLDIETIIESIKKTGRLVVVEGGFPMFGVGSEVVAQICESEAFDYLDAA
 PERVTGADIPTYALNLENLAFPDVPVIEKVIRRSLYKF

Spot 22-2, 31-1

>PTTG_02217

MSAIDPKKKLVAYAILEFLNDSIKDGTVRSSDDQESMEVAMQCISESFSVEWSA
 DSPNSALSVKPSSLISIFEVFLKTQKKIASTSTDSSSQPTQSTSATNKSQEAEELL
 KAAGNQLVSQRDFSAAIAKYTEAIQLDPTNPVYYSNRAAAQSQLGAHDEAIE
 DALKALEVDPTFAKAYSRLGHGYFSSCQYDKAVEAYEKGLEEPDNTTIRNS
 LATAKSKAKSSSSLNTGNPPGSSSARGAMPAGGPAGMPDLASLMNNPM
 MAQMAQSLMANGGMERMMQNPMVQQMMNSLGGAGGGGMPDLSQLMN
 DPAARELASSLMGGLGGGAPGAGPNNDKAKP

Spot 23, 30, 53-2

>PTTG_06867

MSGQTETFGFQAEITQLLDLIINTFYSNKEIFLRELISNSSDALDKIRYASLTDP
 SQLDSEKEFFVRITPDKENKTLTIQDSIGMTKADLVNNLGTIAKSGTKAFME
 ALSSGADISMIGQFGVGFYSAYLVADRVTITKHNDDEQYIWESAAGGTFTI
 TPDPDGATLGRGTRMILHLKEDQLEYLEEKRIKDIVKKHSEFISYPIQLVVTTE
 EEKEVDDDEEEIKLEDDENKEAKIEELDEDSDKKKKTKVTEKSTKQEELNK
 TKPIWTRNVQDITQDEYASFYKSLNDWEDHLAVKHFSVEGQLEFKAILFVP
 KRAPFDLFESKKRNNIKLYVRRVFIMDDCEDLIPEYLNFKIVDSEDLPLN

ISRETLQQNKILKVIRKNLVKKVMDMFSEIAEDKDNFNKFYEAFGKNLKLGI
 HEDQQNRSKLAEFLRFNSTKSTDLSFKDYITRMPEVQKNIYLTGESLSAV
 RDSPFLEVFKKKSFEVLLMVDPIDEYAVTQLKEFEGKKLVCVSKEGLELEES
 DEEKKAHEEESKAYENLCKVMKENLGDKVEKVQVSNRINQSPCVLVTGQF
 GWSSNMRIMKAQALRDSGMSSYMMMSKKTLEINPQNPIIRELKKNKVQEDSS
 DKTVRDLSVLLFETALLTSGFTLDAPQHFAERIHRMVSGLSIDVQEEAEAST
 SGTTADAEVPPLPTAASAMEEV

Spot 27

>PTTG_27503

MDKIKEKLATLRAEADAAMERAETAEEKKKLEESTMKDQELVSLQHKV
 STLETEEAAEKKISDAKVHKEEEESENKSTNENLNRKIALLESELDNAEKNLR
 ETTDKLRQVDVKAEHFERQVQRIESERDSWEKKWEETQEKYIASKRELEEV
 VQQMESL

Spot 35, 41, 46-1, 348

>PGTG_12204

MREIVHLQTGQCGNQIGAKFWEVVSDEHGIATDGQYKGTTDLQLERISVYY
 NEVATNKYVPRAVLIDLEPGTMDSVRSGAFGSLFRPDNFVFGQSGAGNNWA
 KGHYTEGAELVDSVLDVVRKEAEGCDCLQGFQITHSLGGGTGAGMGTLLIS
 KIREEFDRMMATFSVVPSPKVSDTVVEPYNATLSVHQLVENSDETFCIDNE
 ALYDICFRTLKLATPTYGDLNHLVSIVMSGITTCLRFPQLNSDLRKLA
 VNMVPFPRlhffMVGfaplTargsqqyraitvpeLtsqmfdaknmmaasdprhg
 RYLTVAAyfrgkvsMKEVEENMLSVQSKNSNYFVEWIPNNVTAHCDIAPR
 AHKMSVTFIGNSTAIQDLFKRVADQFTAMFRRKAFLHWYTGEGMDEMEFTE
 AESNMQDLVAEYQQYQEAHDDDEEVEEAYEDEAPPEE

Spot 38

>PTTG_04893

MSDDEQHNQTFEAAGAGASLTYPMQCSALRKNGHVIKGRPCKIVDMSTSK
 TGKHGHAKVHLVGIDIFTSKKYEDISPSTHNMVDVNVSRTYEQLVNIEDGFL
 NLITTDGVSKDDVKVPEGEIGDDIQAQFDAGKDLYCTITASMGEEMCLAFKE
 APKS

Spot 39, 92, 96

>PTTG_09144

MDCKRIETAAARYPSPPGLKHTFGTAGFRANADTLDRVFFTVGLLAVLRSKT
 LAGQTIGVMVTASHNPVQDNGIKLVDPQGEMLVSSWETHATTLANSSDLAS
 SVEEIVSSESIDFKQPAKLIFGHDTRPSCARLITAFKDGAALDPSAQIIDSGLK
 TTPQLHYLVKCINDGGLYGTPTEEGYYKKLSDAFIALNAQTTPYTLMVDCA
 NGVGAPKLELMAPYLEGSALRLKLFSTDVDSSGKLNKDCGADYVKTTQSAP
 GGVTLERPLARACSF DGDADRV VVVVYTESKTFRLMDGDKIATLVASYIKELV
 ELESPDLKEHLRIGVVQTAYANGNSTRYIKDQLGLAVTCTPTGVKHLHAA
 QTFDIGTYFEANGHGTVVFS EDILKRLPGSSKLLSLAGLINQTVGDSMSDMLL
 VETILNARGWGMAEWDGKYEELPNRLVKVLVSDRHAFVTEADAERVLVRPD
 GMQRQIDQIVAGYPAGRSFVRPSGTEDCVRVYAEAASRQATDELAFQVAGM
 VFEFCGKGDKPKFI

Spot 42, 51-2, 63

>PTTG_03478

MSNNNNNSNGKAVGIDL GTTYS CGVWQNDRVEIIANDQGNRTTPSYVAFTD
 SERLIGDAAKNQVAMNP HHTVFD AKRLIGRK FEDA EVQSDMEHWPFKVVP
 KGGKPVITVEYRGEQKEFTPEEISSMVLLKM KETA EAYLGTTVTNAVVTVPA
 YFNDSQRQATKDAGLIAGL NVL RIINEPTAAAIAYGLDKTTGERNV LIFDLG
 GGTFDVSL LTIEEGIFEVK ATAGD THLG GEDFDNRLVNHFVSEFKRKNKKDL
 SGNARA VRRL RTACERA KRTLSSAAQTSIEIDS LFEGIDFY TSLTRAR FEELCQ
 DLF RKTMEPVEKVL RD SKIDKAN VHEI LVGG STRIP RVI KLVS DFFNGKEPN

KSINPDEAVAYGAAVQAAILSGDTSEKTQDLLLLDVAPLSMGIETAGGVFTP
 LIKRNTTVPTKKGEIFSTYADNQPGVLIQVYEGERARTKDNNLLGKFELSGIP
 PAPRGVPQIEVTFDVDANGILNVSAADKTTGKSNKITITNDKGRLSKEDIDRM
 VNDAEKYKAEDEAVAARITSKNGLESYSYNLRNSIEGDLKDKLDADDKAKL
 EKEINETISWLDASQEASKEEYDERQKALEAVANPIMMKVYGAAGGGMPG
 GGMPGGPGGFPGAGAPGPGADEPSVEEV

Spot 46-2

>PTTG_05513

MSDQPPPENQPSSSKPASDSNNPQSSSTAKESTSEDVKMDAEPPEILDPEILKA
 SPEEIMTRTRLLENEIKIMRSENLTLSHEATMMLDKIKDNTDKIKNNKQLPFL
 VANVVEILDIDPDVHESEEEGAQVDLDSVRKGKCAVIKTSTRQTIFLPLIGLVD
 ADKLKPGDLIGVNKDSYLVLDTLPAEYDSRVKAMEVDERPTETYTDIGGLD
 KQIEELVEAVVLPMQQADKFKTLGIKPPKGVLMYGPPGTGKTLLARACAAQ
 TKACYMKLAGPSLVQMFIGDGAKLVRDAFELAKEKAPAIIFIDEALGKRF
 DSEKSGDREVQRTMLELLNQLDGFSGDDRIKVIAATNRIDILDPAALLRSGRLD
 RKIEFPLPTEDARARIIEIHSRKMNVGKGVNFEELARSTDEFNAQLRAVAVE
 AGMIALREGANEIHHEHFLSGILEVQSKKKNDQFYFA

Spot 48, 53-1, 55, 58-1

PTTG_07281

MSPKSWAKPKWASLVMVGIALAMGSADSNQADQNLGSVIGIDLGTTYS
 VGVQERGRVEILTNDQGNRITPSYVAFNSEGERLIGDAAKNQAASNPTNTIY
 DAKRLIGRKFNADVQRDMKLYPFKVVKKGDKPVLQVEFKGEKRTFTPEEI
 SAMVLGKMKETAEAYLGKKVTHAVVTVPAYFNDQQRQATKDAGTIAGLN
 VLRIVNEPTAAAIAYGLDRTKGEHQIIVYDLGGTFDVSSLIDESGVFEVLAT
 AGDTHLGGEDFDNRVIDYFIQLWKRKHNGEDITNLRTMGKLKRDVEKLKR
 TLSSQQSARIEIDSFFNGKDLSETLTRAKFEELNIDLFRKTMKPVEQLKDAN
 VKKDAIHVVVLVGGSTRIPKVQELLKDYFDGKEPSKGINPDEAVAFGAAVQ
 GGILSGEEGNEDLVLIDVCPLTLGIETTGGVMTKLIDRNTVVPTKKSQIFSTAS
 DNQPTVLIQVYEGERTMTKDNHQLGKFELSGIPPAPKGVPQVEVTFEVDANG

IMKVSAADKGSGRVESITITNDKGRLSQDDIDRMVKEAAEFADQDEALKKI
 ESRNAFENFIYTIKNQLADKGMMGGKLEADDKKTIQDEIKKAQEWMINTT
 TASAEEFDEQREALQAVISPITSKLYASGGGEPLGPRDEL

Spot 50

>PTTG_07437

MVNSHSTQALEPVLVELPRPGPYIPNPSGQSAFSIIKTYNHARQCTVTSLATI
 DLTHQDHSELVPHTTVLTDLAYAEAVWLDSSSILYLRPPGAEQAAPDLDPLV
 STKLARKQLEKRLVELPDHTGKGIELWAIRIVGSDDKSYRIGALPVPIGDLK
 FQHLSSTAGVLGFSASVYPPYDTEAFNNLHKLERSFEEAADGSTGQTYDSL
 VRHWDEWIDQHGKEKRLFVIDLEQTEDHLWSIPDSQQPRSLFPTLSVPVGPF
 GSNSDFDLSSSVVVTAKDPHVNPASHTRQNIYIMPLYPRSKILPQPLQLTTG
 DQGATSNPVFSPSAKEANGSDKGVAWLEMHCDGYESDQNQVVVYDLESR
 TRSYFAEGWDRSPSKIVWGKDDHELYLLAEEHGRVKVFYLSLKSSKDPA
 SLTGEDSVSHAAYLGKASMGPEADQPTARLLTMSSLAYGPTPHILTHHLPDHS
 ATSTKIASAHNLGPMKLDEGEDFWFKGAEDRPVHGILRPPGFVADQGQKW
 PMMFLIHGGPQGAWDKAWSLRWNPNCFAAAGYITAMINPTGSTGYGQKFT
 DSIKQDWGGKPYKDLVAGYEYLLKTYPEIDGSRTAALGASYGGYMVNWL
 GHNEAPLGKAFVSHDGIFNTVQTAYSTDELYFPEHDQGGTPVQAREHYEA
 CNPMNHVSQWQSPCLVIHSRKDYRLCESEGLSVFNALQRRGIPSRLYFPDE
 NHWVTSPNSVRWYHEIFRFLGKWCPPGNVNT

Spot 51-1

>PTTG_01758

MASARLPPALTPTEEDISLLAAQCHIGSKNCTKGMERYVYKRRPDGVNVIN
 IGQTWEKLIMAARIITAIENPNDVCVISARPYGHRAVLKFAANTGAQAIAGRF
 TPGNFTNYITRSFKEPRLIVVTDPRLDAQAIREASYVNIPVIALCDTDASLN
 FVDVAIPTNNKGKHSGVGLIWWLLCREVRLRGTVARSGDGAWGVM
 PDMFFF
 DAEEIEAEAADKAAKLLEEQGGAALGEARAVDWEVAGAGAGIAAAAATMP
 SVEVDWTAPEATTDWAAADTGDAQWSAPAPAAEASGW

Spot 58-2, 70, 98

>PTTG_26408

MVSEWLAAHQEWSVHTALAPGQFEFNRHHRPSQTTSILLHRPRSTPQDKP
 KTTTSSTLLVASVRYYKMAGGMERAKKETIKIEAEERESKFGSVFSVSGPVV
 VAERMAGAAMYELVRVGHDELIGEIIRIDGDRATIQVYEETSGMTIGDPVLR
 TGKPLSVELGPGLMSNIYDGIQRPLKSISELSNSIYIPRGINTQALDRSRQWEFT
 PTNYQVGDHLSGGDIYGTVYENSLVSAHKIMLPPRAMGTITHIAEKGTYSVD
 DVILETEFEGKTTHTMCQLWPVRAVVAEKLTDYPLLTGQRVLDLFPC
 VQGGTTAIPGAFCGKTVISQAVSKFSNSDIIYVGCERGNEMAEVLMEFPE
 LTMDFNGVEEPIMKRTTLVANTSNNMPVAAREASIYTGITLSEYYRDMGMNIA
 MMADSTSRRWAEALREISGRLAEMPADSGYPAYLGTKLASFYERAGTKCLG
 NPERFGTVSIIGAVSPPGGDFSDPVTFQTLNIVQVFVGLDKKLAQRKHFPSVN
 WNVSYSKYVSVLQPWYAKTEPEFVNFRSKAKDVLQKEDELAEIVQLVGKSA
 LGE GDKVTLDVARLIKDDYLQQNGMSSYDRYCPFYKTNAMLKNLMTYYTC
 AQKAVESNVGGKNLTWAKVRDATSEEWYRLSQMKFEDPKDGQEALLQRF
 NQLCDDIVKKFESLAD

Spot 64-1

>PTTG_03718

MTSRAELLAWVNNDLQLFSYTKIEQCGSGAAYAQIIDSIYQDVPLTRVKMNA
 NQEYEYLNNFKVIQAAFKKHQIDKPVPTALIKCKMQDNLEFLQWLKKYW
 DMHYPGGNYDAVARRKGAPADPNPLIAAGAPPKTASNGAGRTGKALGMST
 GMGARATSRTGTTLGTQKEIENLTQLEEFKLSMEGLEKERDFYFNKLRDIEI
 LIGARVDSKDAKVSDTELENLKQMQAILYSTEEGFEVPEVDAGLVDEEETF

Spot 64-2

>PTTG_01641

MVREAQPSILEREFLIQALKEGTRLDQRTLFEQRPLSLSFAENGDSVDCSLGN
 TRVIAHVSASVTKPWSDRPFEGLFQVSSEINPIANFIYDTGRSSENEIQITRML
 DKSLSRSGVIDKEALCILAGQTWSIRLDLHFLNDEGNLLDCASIAAIAALQT
 FQRPDVTLVGEETIHSQERVPVPLTLHHTPICLTGFDFDLNGSSSKPSVVLDP
 SYLEEQLSTGTITLALNPQKEICVANKSGGVPLSIDEIMNVVKVGSQLKEVD
 QLIKQLITKRKAAVDLTAVQDR

Spot 66, 67, 82-1, 84, 87

>PSTG_03501

MEEEVAALVLDNGSGMCKAGFAGDDAPRAVFPSICGRPRHQGVGMVGQQ
 KDSYVGDEAQSKRGILTLYPIEHGIVTNWDDMEKIWHHTFYNELRVAPEE
 HPVLLTEAPLNPKVNREKMTQIMFETFNAPAFYVAIQAVLSLYASGRTTGIV
 LDSGDGVHTVPIYEGYALPHAILRLDLAGRDLTDYLIKILMERGYSFTTAE
 REIVRDIKEKLCYVGLDFEQEMQTASQSSALEKSYLEPDGQVITIGNERFRCP
 EALFQPSLLGLEASGIHETTYNSIMKCDLDIRKDLYGNVVMSGTTMYSGIS
 DRMQKEITALAPSSMKVKIVAPPERKYSVWIGGSILASLSTFQQMWISKQEY
 DESGPSIVHRKCF

Spot 73

>PTTG_05827

MLRSRLASSSGLPSLRNQSQRSLVAGQKRYASYKEIKFSNDGRAAMLAGV
 DILAKAVSVTLGPKGGRNVIIEQSFGGPKITKDGVTVAKSITLKDKFENLGARL
 VQDVANKTNEIAGDGTTATVLARAIYSEGVKNVAAAGCNPMDLRRGSQAA
 VDEVIKFLDQNKRREITTSKEIAQVATISANGDAHIGQLISTAMEKVGKEGVIT
 VKEGKTIEDEIEVTEGMRFDRGYISPYFITDIKTQKAELEKPLILLSEKKISALQ
 DILPSLEAAATQRRPLLIIAEDLDGEALAACILNKLRLQLQVAAVKAPFGDN
 RKSILGDLAILTGGTCFNDELDIKLEKATPDLLGSTGSVSITKDDTILLNGEGQ
 KDMISNRCEQIRAAITDPSTSVDYDKTKLQERLAKLSGGVAVIKVGGHSEVEV

GEKKDRFDDALNATRAAVEEGIVPGGGTALLKASKALDGLKLANFDQQLG
 VSIIKSAIQKPTRTIVENAGEESSLVVGKVLEHYSGDGQFWGYDAAMSEYK
 DLVASGIIDPLKVVKTALNDAAGVASLLTSEACVVDAPEEKAASPMGGMG
 GGMGGMGGGMGF

Spot 73A, 79-1

>PTTG_01106

MREVISLHVGQAGCQLGNACWELYTIEHGLSPDGKITSPTARGDDGFSTFFS
 ETGAGKYVPRSIYIDLEPNVDEVRTGTYRSLFHPETLVTGKEDAANNYARG
 HYTVGKELIDISMIRKLADNCTGLQGFFVFHSFGGGTSGFGALLERLSA
 DYGKKSKLEFAVYPAPKMSSSVEPYNSVLTHTTLEHVDCSFMVNEAIY
 DICRKNLGVQSPGFTNLNRLLAQVVSSVTASLRFDGSLNVDLNEFQTNLVPFP
 RIHFPLATYAPIISAEKAFHESNSVAEMTMSCFEPNNQMVKCDPRQGKYMSC
 ALLYRGDVVPRDANAAVATIKTKRTIQFVDWCPTGFKLGICNEAPACVPGSD
 TAKVSRSLCMSNTTAIAAAWSRLDHKF DLLYSKRAFVHWYVGEGMEEGE
 FSEAREDLAALEKDYEVEVGLDGGDEEDVGEY

Spot 74

>PTTG_03524

MRWLSQLKFPRPPTRVPADPLLTIQLPTNQTPQASSPPPHQPPAATLPPSP
 EKMASSTQHSVQPSVDDDLKPSQTAGYNPGVAKTLEEYANLDAQDESLRK
 WKESLGIVPGGATGKPTLSICSLSHSPELTKPIVMDLTDPELLQKYKKEPLTI
 KEGAESVEIAFKVEGGVISGVKYLQIVKAGVKLDKLESMIGSYGPSTD LH
 VKRFVSEEAPSGMLARSGSYTARSVIDDDGHVWADFEWSFKIGKEW

Spot 75

>PTTG_06777

MSGFAGRSRWRPKRAGEAWIAWLEPVKLPSTTIMAPTSTAEGSTNPNGKSH
 NKVVIIGSGPAGHTAAIYLARANLEPLMFEGLANGFAPGGQLTTTDVENF
 PGFPEGIRGPEMMDLFRAQSIRFGTKILTETVSKIDLSNRPFKYWREGHESDEP

DTADSIIIATGASARRLNLPGEDTYWQSGISACAVCDGAVPIFRDKPLAVIGG
 GDSACEEATYLTKYASQVFVLRDQLRASKVMAKRLMNHPKVTLWNTV
 PVEAKGDGNLLNSLLVKDTKTGEERTIDINGLFYAIHGEPATALVRGQLKTD
 EDGYICTKPGTSETSIPGVFAAGDVQDKKYRQAITSAGTCIAALECERFLAE
 EEAMDRDGEPPVPQPGYLGTDP

Spot 76, 78

>PTTG_09204

MPVKALGEPRYPDDGFGRSSAQRQFFCQVDFVLETPHNATIGVDKDRLPG
 RVIPAAVLATSRDLLIAPWWYVSGWCPRACGPDRHCPKVAADPPARTRPKAI
 ELMSIDPGPDADDQSDPPATDFFQQFDLATLEMTSIPSYKVELDFAVELAHK
 AGEIMLRASKDRAGGRGGTVNDKKNRIDLVTETDQMVEKMVSELLREKFP
 DHKFIGEETFAADAKAELTNAPTWCICDPVDGTTNFVHGFPSVCISIGWVVNKI
 PTLGVIYNPFLSQLYTAVRGHGAFFNQETRLPLSYPDYLPLAKLSDLVGVE
 WGSDRSKSTLEKKTNTFVKLAGDPKDVPGGVMCHSLRSMGSAALNYASVA
 SGSLDLYWEIGCWAWDVCAGTVIAREAGCKCYGKGGKPFADGSGQDLM
 GHHFFVIRGIADHDGVPGSEIQDRLAKQFFDDIAEEWEA

Spot 79-2

>PTTG_03808

MSQFSWTSAMQAISPSLKLKLQLRSTA VSGDEGGAEAEVGSSFLSLDHLLTS
 AVDSDNSDKLNIQLFAPHFPTIEIEMTSSSQNDSQRVQDSNDPADNQEHHGQP
 EREGTPPPVQSPVATTHSTKDET TAATSRRQPTSPDAKSAQVTQLRAGEKFV
 PGTTNQHPPVGSSAGQSFKVGVS EDRNRKCRRTMEDSHSFLYSYGGVDGQG
 YFAVFDGHAGKHAAEWCQWFHEYLLHEINTPRTPVPDLLNSTFHIVDT
 KLSQVAAEVGTHSGCTAVTAFLRLEYQN GEPVGPVGAGISEKA VSHVDPHDI
 VDQPWKHEAIALSEARDSTQKAAEQRKSTLEESQQSKGAIKRTLYTANVGD
 ARAVLCRGTKAVRLTYDHKGSDQQEAQRITDAGGYVMNNRVNGVLA VTR
 SLGDSSMKEVVGSPYTETTLTAEDQFLIIACDGLWDVCEDQDAVN LILDV
 KDPQEASRALLDHALSQFSTDNL SVMVSLRPVSFFDV

Spot 80

>PTTG_01696

METRSAEQTPVDGNVPGAEAESTEFNGAIGIDLGTTYSCGVWQNDRVEII
 ANDQGNRTTPSYVAFTPEERLIGDAAKNQAAMNPRMTVFDAKRLIGRRFDD
 SDVKKDMVHWPFVIEKDGNPFIQVDYLGETKTFSPQEISAMVLAKLKETA
 ETKLGKEVKKAVITVPAYFNDSQRSLSTKDAGAIAGLDVLRIINEPTAAA
 AYGLGEASDKKEKKERTVLFDLGGGTFDVSLLSIAGGVFTVKATAGDTHLG
 GEDFDNALLEHFKNEFKRKTLDIDGDARALRRRLRSACERA
 KRTLSSVTQTTVEVD SLFQARFEEINATTFRSTLDPVDKVLKDA
 KIDS KVEDIVLVGGSTRIPKIQLS VSDFFGGRQLNK
 SINPDEAVAYGAAVQAA VLTGQTSEKTADLLL
 DVAPLS LGVAMQGDVFGVVVPRNTPIPTNKSRTFTVEDNQ
 STVTFPVYEGERVTCKE NRLLGEFELSGITPQPRGQAE
 LVCTFEVDANGLLKVSALDR
 TSGRRANITITN
 SVGRLLSSAEIDQMIKDAESFKQADKEFS
 AKEAKQELESYISQVEATITSPEV
 GMKIKRNNKAAVEAELAKALEKLEIEDSSADELKKCQLGLKRAM
 QKAMAG TAR

Spot 88

>PTTG_12630

MVSIQSEHPHKFLKKPRVAAVIPCPFSGGQPRAGVDHGPSHLIQDGLI
 KSIESVGYSTVLDELNLSTILKEDDLLDIGILKNPRLVSETN
 KTLMKIIDSHTANGEFVVTIGGDHSLAIGTLSGTLNAFPEAC
 VIWVDAHADINTPETTESGNMHGCPVSFLL
 STLKAGTDLEPFQWIKPCLQPDRLVYIGLRDIDMGER
 KILKDNNIRCFTMHDI
 DRHGIGKV
 VVEMALESVN
 KDLKRPIHLSFDVDALDPSVAPSTGTPVRGGLTFR
 EGHYICEAIYETGCLVALDLMEVN
 PTLMS
 TQADV
 IQLSVGQSLIRS
 AMGEA
 LI

Spot 90

>PSTG_12276

MNHDLNLQPII
 QRTNQSATTRM
 IQLPPIATFINSNN
 INTPIDESDHQLY
 AAQA
 IQGLRRLRDEM
 DLISTNLLSN
 NTRSPPPRHQQDL
 TSLIPQPD
 PPIEFREHA
 QR

RSNQRPLTSQADNNTTIEASGRLDSRKRYDSSKGGLSDSGKQSQARDINEPT
TAELAEAAARESNVHNSLPAFYSPDNEESLKVETIIPVDTNPMMERRKIIDSSK
DGSIRWKDNQQKTIYDRSKDGLVGEEIGEISFDYLILPKKPLPKPATNPQQQS
CPRHSNHNNNLRDSSTQHTGAASQETDRSRTMREALESFHDSRQHDPYSRPF
DLSSPLHRMNDRYGVRLFLGRTNRHSTIRGDSPYNETNTPAPTLPTENNRQPS
TTTTTNNATTTTSTTTAVGATRAPRLSRSTSTGAGTTGSGVGRLTRR
PIRWFERPSARDLSGPSSRISSFLSNHPDASLLDHHHHPHIYSSSYHQYRNHL
HDLNSHPSIPRAERIALDVESLYNDLDYNRSLHHPLDQFLFSSSDSPDSSDTT
TSASASATTHPSVHRSGL

Spot 91

>PTTG_00226

MEEIGIQIDKEATADPTLPSVLDEKAVALAAQLHSEDDVYMFKKLQKHLEFL
ELQEYIKDEQKNLKRELLRAQEEVKRIQSVPVLIGQFLEPIDQFTGIVGSTTG
SNYVVRILSTIDRELLKPSSSVALHRHSNSLVDVLPPEADSSISMLGADEKPD
VTYNDIGGMDIQKQEIREAIELPLTHFDLYTQIGIDPPRGVLLYGPPGTGKTM
LVKAVANHTTASFIRVVGSEFVQKYLGEGRPMVRDVFRRLARENAPAIIFIDE
VDAIATKRFDAQTGADREVQRILLELNQMDGFDQGSNVKVIMATNRADTL
DPALLRPGRLLDRKIEFPLPSRREKRLIFQALASKMSLGNDVDLEDYVQRPDK
LSSAQISQVCQGAGLQAVRKNRYVILPVDFEESWKSVVKKGEDTHAFYR

Spot 93

>PTTG_06345

MPSCITLLPLSTGLTNRSWLGVASKVVL SASEVLKTLSCGNKTVEYPCEVRE
NENILKEVIVGEMAEENSGTQDQQVEDEEEDSVALGPTPISALSEHGISA
DIK KLTEAGNDTIEAIA YQPRKALLSIKGISEAKADKLLSICHQLVPLGFTAAEIH
NRRSVMIHITTGSKNLDTMLGGGIDTQSITEFYGEFR TGKSQLCHHLAVSQL
PANMGGEKGCMFIDTEGTFRPERIL AIAERYGMDGEEVNNIAVARAYNS
DHSQLLREASRLMTSRFAILIVDSATALYRTDYSRGELADRQAHLAKFL
RGCLGLAEQFGVAVVVTNQVMSSPD SGPGGGGLGKAPIGGNIMAHSSTTRL
QFRKGRETTRIVKLIDSPCLPEGETKMAIYQNGIGDPEEE

Spot 95, 105-2, 127-2, 160, 167-3, 175, 185, 192, 202, 212-1, 221-1, 305

>PTTG_09276

MSPCFGALVLMLLLAPRPAVALFDKKPSYNDWSDSKVEKWLTDDHIPNPGN
 LDSHALRELIQENYDSAYDHWSDADLQEYANKYSLPLQADKPREGIIDTIRR
 SYHGAVIDAWSSDLKAWMDEHGFPSPGSTRQLVDIVKENYQDSTQYLS
 DSASSAQVQLQDKTNISIFSLWTDSQLRDFLLEHGVVSPNSKREELVRAAKKY
 LNAGTQSARNLASSATGAAADAGSAAKKAAADASSATYEKVKASHATGS
 KVYDAGASVGEAASDTGNAAYNRVTQAGKAAGSAAYRKGASAADAAYD
 KVSQASSTAGSAAYNAGSAATEAVKDAPGVAYDYLSKYDDAKDYVYSS
 WSDNQLRDYLIAKGAIKSSTRFSRDDLLRAIKDTYNDAAQNAETWSDTRIR
 KWLAHDHGVVSSNASTREQLVNLISQYYYAKDTTYETWNSNELRSWLERK
 GIIKPGTQKKKDDYLSLVADNYYSSARDKAYSSWNESALRSWLESHGIARPPG
 QARDDLLKAVQENFYGDTDKIWDAWSNAEIKAYLLKNKLAEKSHIQNMRR
 DGLEKILNEKYYSIKENIIDGWSESQMRQWLIDNGFLKSDYQAKKEEIFDLFS
 KKYSDFASKSSEYVSWSDNVRGWLHMHGVEVPMSTNREELLQLMHENYV
 ESKGKMRNILSSVTNAFSSSEQALEDTIKRLKEAVGAGGIKQDAAGYKDAIY
 DNTAQAADRAKREL

Spot 97-1

>PTTG_08592

MASTYKIVTLPGDGIGPEVIEQATRVLDVISESGKVKFEVEACDFGGIAIDNH
 GNPLPPSTLQACQAADAILGSVGGPKWVGKVRPEQGLLELRKTLGLYANI
 RPALFPSESLVQLSPLKDSIASGTEIIVVREЛИГИYFGQRTEATSFEADGGEAS
 VAKDEC SYSVAEIQRIARVAAFLAMTTSPPMAVHSVDKANVLATSRLWRKV
 VTDLFAKEFPQLALDHHLVDSAAMLICSNPKLNGIVLTENLFGDVLSDETS
 VIPGSLGLLPSASLAGIPDRKSCKCLGVYEPHIHSAPDIAGRGVANPGTILSVA
 LMLRYSLGLDREAEQIELAVRRVLD SPEAGGHGLRTADLKQASTKQLGDA
 VVSALKNILSP

Spot 97-2

>PGTG_13966

MLTNPSRQVLLRTQQLRSSKPTPRLLSSRHPTSALQRAFSSHPIARSQDGEP
 QPTSLYTFTEDESMLKDLAQRFAEEVVAPKVREMDEKETMDPEIIKGFLDNG
 FMGIETSQEHHGGSGASFTSAILVIEELAKVDPSVSLICDVHNTIANTTIRNYAS
 KALLDKYMPDLSTSKVACFCLSEPASGSDAFALATRATKDSNGDYIINGSKM
 WITNSKEAEIFVVVFANLDPSKGYKGISCFLLEKSMGVEIAKKEEKLGIKASST
 CTLNFDNVKVPKENLIGQEGLGYKYAIEILNEGRIGIAAQMVGLAQGAFDKA
 VKYTYQRKQFGKPVGEFQGMQFQFADVHTEIEAARMLTYNAARLKEEGKP
 FTEMAAMAKLFSSQVAQNAGSAIEWCGVGFTRETGIEKYWRDSKIGAIY
 EGSSNIQRQTLAKFIQKRLS

Spot 99

>PSTG_14021

MAGGMERAKKETIKIESEERESKFGSVFSVSGPVVVAERMAGAAMYELVRV
 GHEELIGEIIRIDADRATIQVYEETSGMTIGDPVLRTGKPLSVELGPGLMSNIY
 DGIQRPLKSISELSNSIYIPRGINTQALDRTRQWEFTPNTYQVGDHVSGGDIYG
 HVYENSLVSAHKIMLPPRAMGTITHIAEKGTYSVDDVILETEFEGKTTHTM
 CQLWPVRAPRPVAEKLTADEPPLTGQRVLDLFPVCQGGTTAIPGAFCGCGKT
 VISQAVSKFSNSDIIYVGCGERGNEMAEVLMEFPELTMDNGVEEPIMKRTT
 LVANTSNMPVAAREASIYTGITLSEYYRDMGMNIAMMADSTSRWAEALREI
 SGRLAEMPADSGYPAYLGTKLASFYERAGKTCLGNPERFGTVSIIGAVSPP
 GGDFSDPVTFQTLGIVQVFGLDKKLAQRKHFPSVNWLNSYSKYMSVLQP
 WYAKTEPEFVNFRSKAKDVLQKEDELAEIVQLVGKSALGEGDKVTLDVARL
 IKDDYLQQNGMSSYDRYCPFYKTNAMLKNLMTYYTCAQKAVESNVGGKN
 LTWAKVREATSDEWYRLSQMKFEDPKDGEQALLKTFHQLCDDIVKKFESLA
 D

Spot 82-2, 100

>PGTG_05935

MSAEQTPTVDGNVPGAEAESTEFNGAIGIDLGTTYSCGVWQNDRVEIIAND
 QGNRTTPSYVAFTAEERLIGDAAKNQAAMNPRMTVFDAKRLIGRRFDDSDV
 KKDMVHWPFAVIEKDGNPFIQVDYLGETKTFSPQEISAMVLAKLKETAETKL
 GKEVKKAVITVPAYFNDSQRLSTKDAGAIAGLDVLRIINEPTAAAIAYGLGE
 ASDKKEKKERTVLFDLGGTFDVSLLSIAGGVFTVKATAGDTHLGGEDFDN
 ALLEHFKNFKRKTLDIDGDARALRRRLRSACERAKRTLSSVTQTTVEVDSL
 FQGTDFSSAISRARFEEINAQTFRSTLDPVDKVLKDAKIDKSKVEDIVLVGGS
 TRIPKIQLVSDFFGGRQLNKSINPDEAVAYGAAVQAAVLTGQTSEKTADLL
 LLDVAPLSLGVAMQGDVFGVVVPRNTPIPTNKSRTFTTVEDNQSTVTFPVYE
 GERVTCKENRLLGEFELSGITPQPRGQAEVCTFEVDANGLLKVSALDRSG
 RRANITITNSVGRLLSSAEIDQMIKDAESFKQADKEFSAKHEAKQELESYISQV
 EATITSPEVGMKIKRNNKAAVEAELAKALEKLEIEDSSADELKKCQLGLKRA
 MQKAMAGTAR

Spot 101

>PTTG_02219

MAGPAPIVELIPQVQSYDWGKLGKDGSKVAEYSKHLNPFCYDQDKPYAEL
 WMGTHSSLPSKLIDGKLLSDHLSSDPVQLLGKEISNQYGSRLPFLFKVLAIGK
 ALSIQAHDRQLAIKLHKERPDVYKDDNHKPMAIAITSFSGFCGFRPLNQIS
 QYLEKVPFAAVIGQETSSRFLETIPSDASQPSITSSTSSDQASVKKHQIVLTEL
 FGKLMNASTELVADQVRKLVKRLEGEGGRDKPFGTDEELILRLNDQFPDDV
 GIFTVNVVRLEPGQAAFLQADEPHAYLTGDIVCMASSDNVVRAGLTPK
 LRDVPTLTDMYTYSYGPSASQLMKPDLFKSCKHTLYDPPIEFSVLLTKLSS
 GEQDQHPPINGPSILIVTQGSGTISVEGQEVTSKHEGQVYFIAAGMPVQISATQ
 SSFVSYRAFVEVTSQA

Spot 104, 112, 127-1, 130

>PTTG_01076

MNSAARLSRAVQPLSFQSRTLSRTIPLASNCHFQQRWSSNGKVSGPVIGIDLG
 TTNSCVSIMEGKSPRVIENTEGGRTTPSVVAFTKDGEKLGVIPAKRQALVN
 YENTFFATKRLLGRKFSDSEVQKDINQVPYKIVKHTNGDAWLEARQKYSPS
 QIGGYVVQKMKETAEGYLTKEVKHAVITVPAYFNDAQRQATKDAGAIAKL
 DVLRVINEPTAAALAYGLDREESRLIAVYDLGGGTFDVSILEMQKGVFEVKS
 TNGDTHLGGEDFDIVLDHIISEFKKDTGIDLSKDRMAIQRIREAEEKAKIELS
 STSQTDINLPFITADATGPKHIDIKGRAKFESLVSCLVTRTVEPCKKAIADAG
 VKKDEINDVLLVGGMTRMPRVIETVKSLFGREPSKGVPNPDEAVAVGASIQA
 GVLSGSVTDVLLDVTPSLGIETLGGVFTRLINRNTTIPTKKSSVFSTAADGQ
 TAVDIKVFQGERELVRDNKLLGNFQLVGIPPAPKGIPQIEVTFDINADGIVDVS
 AKDKATNKEQSIVIAASSGLSDKEIERMMHEAEQHAETDKERRGVIEAANQ
 ADSVCADTEKAIKEFGDKVPVEEKEVMKLVAELRELAVKSQSGDESIKAE
 DIKEAVSKTQNKSNLFAKVYESRNKDEQAKNDSDTPPPPESDEQKKKD

Spot 105

>PSTG_04289

MTHQILLRTQHLLRSTSQSHPKNAAHRLSSSHPTTTAILHQPYRAFSSHPIAH
 SQDGADIRPTSLYTFTEDESMLRDLAQRFAEEVVAPKVREMDEKETMDPEII
 KGLFDNGFMGIETSQEHHGGSGASFTSAILVIEELAKVDPSVSLICDVHNTIANT
 TIRNYGSKALLDKYMPDLSTSKVACFCLSEPGSGDAFALATKATKDSNGDY
 IINGSKMWITNSKEAEIFVVVFANLDPSKGYKGISCFLEKSMGIEIAKKEEKLG
 IKASSTCTLNFNDNIKVPKENLIGQEGLGYKYAIEILNEGRIGIAAQMVGLAQQ
 AFDKAVKYTYQRKQFGKPVGEFQGMQFQFADVHTEIEAARMLTYNAARLK
 EEGKPFTEMAAMAKLFSSQVAQNAAGNAIEWCGVGFTRETGIEKYWRDS
 KIGAIYEGSSNIQRQTLAKFIQKRLG

Spot 108

>PTTG_03022

MTSYASRFADGEYEYGGGGFMQGSQNNNTPGGTRRVEQALRPVTIKQL
 DAEASNTDSSISIQDIDVTNVSCGVVRDIVRHATNVVLQVEDGTGGIEVRK
 WIDSSDGESEGFEAETGIQIRDWVRVIGSAKLFNNKSIAGLRLEKITDFNEIN
 YRLDAVRVTLAYERGSTGAGDKMNIDQSTNHVSHGKIVQPKNPNRTAKQ
 NKIMEFFARTQPPDEGINIHEIARECHLDVKDVIDETAQLIHEGELFTTVDEH
 LMTTS

Spot 111-1

>PTTG_09887

MNSSAEELQSGRLFDRVSDLVVVVTGGGTGIGQMMVRALVANGARKVYIVA
 RRLLDVLETTAKEAAAEPQIVPVQADLSNKAGVEGLRKLEADEPYIDILIN
 NSAIGGPEFDGAVKTVAEIAASMWAAPEPEARTLLETNILGYFYVSAALLPL
 LGKSPGHPQIINISSNASFGRQAMVGILYSCSKAAITHLTKILATHLASTNVRV
 NAIAPGLFPSELTAGSSDVHNKSVLKDTMGLDIPEGRAGIDKEIAAVLYLAS
 KNQQYTSGSVILADGGVLNLMPSSY

Spot 111-2

>PSTG_02641

MENYNRLEKVGEHTYGVVYKAKDLRTGEIVALKKIRLEAEDEGVPSTAIREI
 SLLKEMNDENIVRLLDICHAEAKLFLVFEFLDDLKRYMDKVGDGDMGPA
 IVKKFSYQLCRGVCYCHGHRILHRDLKPQNLLIDKDGNLKLADFGLARAFGI
 PLRSYTHEIVTLWYRAPEVLLGSRHYSTGVDMWSVGCIIAEMISRQPLFPGDS
 EIDEIFRIFRLLGTPNETIWPGVQTLPDYKPGFPQWSAKDIGAHVQNSTS VSV
 DLIAKMLVYDPAKRAKSSLKHSYFEGTETSS

Spot 111-3

>PTTG_01991

MTPTAASKLTRNAGVAAALAHACGNQDLSDFRTVFDEFRLDGRVGLVTGA
 NGGLGLESALALAEGLAKIWALDIVDSPSIEFEACAVYAKALYQETASKAGE
 DPGKERLVYRRVDVTDETALEKVCQEIVAIIDGRLDICIAAAGILHAEKSCIDIT
 SEEFKVMAVNSTGVFNTATKAAAEMTALGTPGSVILIAMSMSGSITNRDHA
 WIAYNASKSAVLQIGRSMACELGSHGIRVNTLSPGHIRTAMTAEYLDRNPEL
 EKKWSSMNPLGRIGSPHELRGVISWLASDASTFCTGSDIIVSGGHAW

Spot 114

>PTTG_09971

MGFFHHESEEAKQYTFNDFAPIREHKSKISHELISGAAAFEAAKAWEDHKK
 ANGEPENHAKTAWLKLTAWTTSTEKERSEKPERELSLFQWPIVDSIDNILAFR
 ALSTTTATEARTGGIQVTR

Spot 115

>PGTG_00252

MGFFNHESEEAKQYSDFNDFAPIREHKSKISHELISGAAFEAAKSWEDEHKK
 RNGEPEDHAKAKEIAAGLAGAFVDRMVETHGLDYIDRERAKRDARERLEG
 AIDSNGY

Spot 116-1

>PTTG_03284

MGKTREFKEAYFNKLKDLMAEFPSAFIVNVNVGSNQMHQIRQALRGKGT
 VLMGKNTMVRRAIRNILADNPQYERILPLVRGNIGFVFTSGDLKDVRNIITAN
 KVAAPAKAGAFAPLDVYIPAGNTGMEPGKTSFFQALGIPTKIARGTIEIVSDM
 KIVTAGSRVGASEATLLNLLKISPFTYGMTVVSIFYDNGNVFSPSVLDIDEQLI
 DQFLSGIKTIAAISLAINYPTVASIPHSLVNSYKNLIAIALTTDYMFEQAQKAK
 DYLENPDAAAAAAPAAAAAAPAAAAAKEPEPEEEEDEDMGLDLFG

Spot 116-2

>PSTG_01609

MLNLDHAIDKLRSCHEHLPEADLKHLCEIVRSILVEEPNIQPVRSPVTVCGDIH
 GQLWDMIEMFRVGGQPGLTNYILMGDFVDRGHFSLETFSLLAYKARYPDR
 VTLLRGNHESRSITQVYGFYDECQRKYGNANWKACCGVFDCNLAAIIDS
 TILCVHGGLSPEIRTLQIRVLSRAQEIPHSGAFCDLMWSDPDDVEGGSWSVS
 PRGAGWLFGSAVASEFNHINSLSLIARAHQLVQEYKYMFPENNLTWVWS
 APNYCYRCGNVASVMCVGEHTLVDPEESFKIFSAVPNQSRIPPDKSGTSQYF
 L

Spot 119

>PTTG_09796

MPGGKQFDCCDPKKLVIDSLEGLTYLNPQIEYDPTYQIISLKDL SKDRCHLICG
 GGSGHEPSHAGFVGSGMLSAAVCGNIFASPNSQQVTNCLEKLQNSKGVLIVV
 KNYGDVLFNGIAKERWIARRNTEGIKMVIVGDDSVVGKEQGKLAGRRGLA
 GTVLVYKIAGALAAQGSSLHVAVAQFVADHSATIGVGFDHCQIPGTQISK
 EHDTIGSDEIEIGMGIHNEPGYKRQKITNLNQLISNLMPVLTSTTDKDRSFLPF
 RTQGSSSKDNDVILLINNLGSISELEMGAIVKSTGTWLLEKSFQVKRVISGTF
 MTSLDMSGFSISLVLLPPINEDVMIDIAGEPTLAISANMLLDLFADADCPGW
 KSGYAGQPSFSKGEKTDTKAQVHETSGSEKKSTGETLTASDPELFIKAVQSA
 CKALIAAEPEITKYDTIAGDGDCGQTLKNGAEGILEAISQEKIKGSNLVSDLL
 QISEVVNRDMGGTSGGLYSIYFNALAVGIGKSNTKKIDSQAWAEASDYAL
 NTLYKYTRARSPSRTLIDPLSAFVLTFTLTPTEFDKAIEAAKESAENTIYLD
 AGRASYVDRQKLQESQVPDAGAWGVWLLEAIGQVIN

Spot 121

>PTTG_04091

MDEEYDYVVLGTLTECILSGLLVDGKKVLHMDRNDYYGAESASLNLTQL
 YRKFRPGQEPPAALGRDRDWAIDLIPKFMMINGELTNILVHTDVTRYLEFKQ
 VAGSYVLAAGKVAKVPASEVEAVTSPLMGIFEKRRRAKKFMEWVANYNVSD

PSTHQGISLETTMQD VYAKFSLEAATQDFIGHALALHSDESYKTRPAKETH
 ERIMLYTKSLARYGKSPYIYPLYGLGELPQGFARLSAIYGGTYMLDKPIDEIIY
 DSEGKVSGVRSGTETVKAKKVGDP SYFSSGNGEKVVEQGVVRSICLLKHP
 VPNTDDSDSQLVIPQAQVGRKHDIYIAAISSTHNVCACKDYYVAIVSTIVETS
 TPELELDAAYKLIGPIHDKFVTVSPIYAPAASGQQDNVFITRSYDATSHFETVT
 DDVKDVWRRAVGGEIALKKREAGDGGLEAQA

Spot 122-1, 190, 212-2, 257, 272

>PTTG_09784

MSADKFPIPFVEKFHKVALDPSQPQLSADQKSLL ENISILRDAIVFFTATGAA
 RGVSGHTGGPFDTVPEVCLLALFASDPDGKKFDHTFWDEAGHRVATQYLV
 AALEGHLP AEQLMMYREADSKLPGHPELGLTPGVKFSSGRLGHMWPLVNG
 VAMANREKTIFCLGSDGSQQEGNDAEAARLAVAQNLNVKLLIDDNDVTIAG
 HPSVYMKG YEVSKTLEGHGLKV FHAEGENIDSLWAGLCSV IQCQGP A ALIA
 KRV M CPGI QGLEGSNHGDVIPVPKAISY LKDRPYGEAAAKILNSLTPSASP Y
 LYIGSTKEKD ACRVQFGKAVNMVLDKLSKEEAKEKVMVIDSDLEGSTGLKA
 IRESHPEVFP VPSGIMERGNFSAAAGFGFEKGKVGIFSTFSAFLEMCCSEITMAR
 LNRCNVLCHF SHSGVDEMCDNTCHFGLNTFFADNGLEDGYPTRLYFPADVH
 QMTAIVNKVF WDMGLRFVFSTRSKV PNLKEGSQEHYFGGDYEFMPGKDEF
 IRRGKL GTVICFGEIVH RALDAVDR LREEGFDVGLVN KSTLNVIDEEAMA EY
 GRQKFVLV VESLNQKTGLGSKMGTWLLERGLPRYGYLGTNKECGGLSA
 QIFHQGLDPASIIRKVKVLA A

Spot122-2

>PTTG_03046

MAHLLHGHAGSPLARTGSPLRTGTPMAVYEESSSHVSSGMPHYHLVGKDL
 KMFSEAGFDMDKIHIKR NAPVAQLYEDAIRNEGAII SASGALINFSGKKTGRS
 PKDKRIVYEETSKDHVWWGSVNIKMDEHTFEINRERAIDYLNTRENVYVFD
 GFAGWDPKYRIKVRVICARAYHALFMTNMLIRPTEADLEDGFEPDFTIYNAG
 QFPANRFTSGMTSAT SVEINFKRREM VILGTEYAGEMKKGIFSVMHYLQPVK
 FGQLSLHSSANE GPNGDVSLFFGLSGTGKTTLSADPARMLIGDDEHVWS DN

GVFNIEGGCYAKCIGLSAEKEPDIYRAIRGAIENVVYDGDSRQPCYDDASI
 TENTRCA YPIEFIPNAKIPCLSTAQPSNVYLTCDAYGILPPVSLLTRAQAQY
 WFLMGYTSKTPGTEDGVTEPTPTFSTCFGQPFIVLHPSKYATMLAERMDKVQ
 AKCWLINTGWVGGKFGVGSRCSLKYTRKLIDAIHD GSLAKAEFENFDVFNL
 SIPKTLPEVPDTVLNPAKAWKNTSTFETDRKKLATMFKDAFKKYEKEVSQD
 VKDAGPQV

Spot122-3

>PTTG_06246

MNAMSTLTAALPADGGAAPTPAAQQPRHRPGGVFSRFELTGKVAVISGGAR
 GLGYEMARALCEAGLAGIAILDILQEFAESAIKEHADFGITASFYRVDVRDS
 DAVEEVINGVVRDFGSVDILLCSAGVSDNIAAEDYPADRFKRVVDINLNGTF
 FCAQSCAKHMISSGRGGSMIFIGSMSGRIVNYPQPQSAYNASKAGVIHLMKS
 LAAEWAPHKIRCNSISPGYMNTLLIEKFDPPLLKKVWFERTPVGRMGHVSDLN
 GAALYLASDASSFTTGTDLLIDGGYCTW

Spot 126, 178, 227, 234, 294, 296

>PTTG_01458

MAHLLAHAGSPLARTGSPLTRTGTPMAVYEESSSHVSGGMPHYHLVGKD
 MKMFSEAGFDMDKIHIKRNAPVAQLYEDAIRNEGAIISASGALINFSGKKTG
 RSPKDKRIVYEETSKDHVWWGSVNIKMDEHTFEINRERAIDYLNTRENVYVF
 DGFAFWDPKYRIKVRVICARAYHALFMTNMLIRPTEADLEDGFEPDFTIYNA
 GQFPANRFTSGMTSATSVINFKRREMVLGTEYAGEMKKGIFSVMHYLQPV
 KFGQLSLHSSANECPNGDVSLFFGLSGTGKTTLSADPARMLIGDDEHVWSD
 NGVFNIEGGCYAKCIGLSAEKEPDIYRAIRGAIENVVYDGDSREPCYDDAS
 ITENTRCA YPIEFIPNAKIPCLSTAQPSNVYLTCDAYGILPPVSLLTRAQAQY
 WFLMGYTSKTPGTEDGVTEPTPTFSTCFGQPFIVLHPSKYATMLAERMDKVQ
 AKCWLINTGWVGGKFGVGSRCSLKYTRKLIDAIHD GSLAKAEFENFDVFNL
 SIPKSLPEVPDTVLNPAKAWKNTASFEADRKKLATMFKDAFKKYEKEVSQD
 VKDAGPQV

Spot 128

>PTTG_09870

MAAKLPIHVAIVGVGLVGEQVVHQLMSARLRSCFRLCSLHTSRRHLQITDGL
ADKTASELIEQLKNDQSASQAYSGGVEEVSYLTERSTLPRPLLVDCTSSQP
FADAYPRILASDRTHLVTPNKKAFSGYEQLYSEIEKTVQGNGNLFKEATVG
AGLPVISTLRELVVTGDQLTKVEGIFSGTMSYIFNQFSQTQTSTSFSEVVAV
AKQLGYTEPNPADDLNGSDVARKLAILARNLSAPSLPLGFESVPTRTLIPEP
LVDVTDPAEFMATALPQFDAQYGKFRDEAFEKGEVMRYVGIIDLTDPSKPLV
KAGLERYPFSHPFATMKGSDNIISFHSKRYANSPLIVQGSGAGAEVTAMGVV
GDMIKVAERLSGRNIN

Spot 133-1

>PTTG_02001

MMLLQPFSNFLFIYSSTLLLATNRDQQIIFKHQDHNSRDHSLSIAQEGTGVL
SKWARERSQFFSDITQNKA NEWVIVMGNEAGDTDSAAAIAWAYHLSHL
KHNPQKAIALLQTVEDALDLR PENQLALEKSQMSSRHDLLTIDELPIKPFEL
SHRLAGIVLVDHNV PAPGWRRASLLSIIDHHVDQKLNLADPRI EEAASCSS
LVADLLLQSEARGEHQVVS GEKYGIPTDLV DLILRAIFLDSDALSSNKHYNV
DKRASYGLFRLSQWYAPPEGYNKHAWEKTNKQNMRLNFQGASGRDTSLEE
NQRHKWEKRELK LATNFWAEMSEARGQLQRLDVRD LRRDWKANA VRT
ATIKPYLTGFASIPFNIEQQVQRTPEQTVPEWFAIERAFTSEIGADVS VVLT
KFKSEITGKAEREIMLVVAHGWGKRLTTEAATDLFLTLCKNIEEKFDGLQEW
TRPDHKPLLPRRKAWRMTVKGRPVGRKVLMPLVLKAASEWNWNSTA VAIY
GE

Spot 133-2

>PTTG_07863

MKRAIKALSRTLEE GEE SGAAETASELLILSNSNTMFIELVLRHHGLWARFD
GAVITNPARWD PENADRLLL RRRVDAQESQHGCTLGCSANMCKAAKLIAYL

ERRGPSKLFDRIA YVG DGDNDYCPISRVLKFGDVALVRSRRELARQIEAKTA
KGNALSCWVMLWEGAWEVEQIFLNTLLKAP

Spot 136, 137, 141-1, 142, 144, 147, 158

>PTTG_07672

MATGGGSYSFSLTTFSPSGKLVQIEHALAAVGQGTSSLGIKASNGVVIATEKK
TASILVDDSIIEKVAMICPNIGM VYSGMGPDYRVLVTRARKIAQAYWKIYGE
YPPTRLLTQEIA T VMQEATQSGGVRPFGVSLLIAGWDEHRGSTLYQVDPSGS
FWPWKASAIGKNMVNAKA FLEKRYNDELSLEDAIHTAILTLKEGFEGQMTE
KTIEIGVIGSVVGADTIQPGDRAEPVFRKLTEAEVKDFLAL

Spot 139-1

>PTTG_08656

MAEELKNPPVEQAEEPLFDATLKKKKKKKAVAFDELDSQLESTAEQPASIAT
SKTEEPVSILKTTETEPSSKAPEPASTGDLEFSDLKRKKKKTVNL LDLDEDEL
NAIDEKD KPAGTTAAEDAAAAEEFADLKKKKKTQKKAFDLEAFERELAEV
EGGINKSEAKDGDPSGAEGDEPPEDGLFGQADDEAIGESEKSKAQAAAEEKK
AWLKEPD RDYTYDELLGRFYQALYLSHPSLSGGGAKKRYTLAPP SVHREGN
KRSIWANVAEICKKMHRQPEHVIQFLFAELGTSGSVDGNGNLVIKGRFQQKQ
IENVLRRYIVEYVTCKTCKSPDTLLEKDNR LYFVTCESCGSKRSVSAIKTGFS
AQIGKRKAQRTN

Spot 139-2, 140, 141-2

>PTTG_08249

MASQKAAGNAKVAITSRDRSVQLCTGLFINNEFVEGHGETIVSINPADQSTL
AVVHSASVEDIDQAVKAARHAANTTWGTNTPAPER AALMNKLADIMEARL
EDLAVLETLD SGK GITWARGDITESISA FRYYAGLA FSGTDGQVLEGCDATGI
AFTRQEPLGVVAQIVPNYPIMMMAWKVAPALAAGCAIVFKPAELTPLATL
LFCEMVRDAGYPAGAFNCVNSYGPVG GHALACHMDIDKIAFTGSTNVGKQI
AVQAASSNLKKVGLELGGKSPNIVLPSANIEQTA AWCLGIFENMGQSCTAA

SRILVHSSIYDQFLSSFVKKASSHKVGDPFDPETYSGPQISKAHLERIDGYVKS
 GVSEGAKIVLGGNKVEVKMFNAEGQWLEGGNFFEPTIFVDAKPWMKIVK
 EIFGPVAIVMKFETVEEAINMANDTEYGLAAGVHTEKQDEVVRVGAKLKA
 GTVWINSYAFCPVNVPFGGYKSSGWGRELGKKGLEYTITKSYQWNYAQK
 LSWPFDLDGISKL

Spot 146, 191, 269

>PTTG_00430

MAIKSIFARQIFDSRGNPTVEVDLTTEKGVFRAVGPSGASTGVHEAVELRDG
 DKSQYLGKGVSKAVDHVNNVIAPKLISSGLAVTDQKAVDDFLIKLDGTANK
 GKLGANAILGVSMIAKAGAAEKGVPLYAHIAQLAGTKTPYVLPLPCMNV
 NGGSHAGNALAFQEFLPTGATSFQHAMKIGTETYHALKSVIKTKYRIDAT
 NVGDEGGFAPNVQGAESLEILTEAIKKAGYEGQVKIALDVASSEFYKDGY
 DLDFKNPKSDPSKWLTGVELSELYIKMIKKYGIISIEDPDFDQDDWEAWQHFT
 KNAGIQIVGDDLTVTNPLRIKTAIDKKACNGLLKVNQIGTITESIEARLAQS
 DGWGMVSHRSGETEDTTIADITVGLGVQIKTGAPARSERVAKYNALLRIS
 DEITQAGQSVVYAADKGLSVGTTAPALLKQ

Spot 149-1

>PTTG_06888

MTTFNLCASYSAVNKAEIFIVDAVLFDMDGTLVDSIPAIESA AAVAKKINKP
 AAEVIEATHGRRVMDNLKDLYPNLRRMSDAEMAPHCGFQQTSQQNSFFAG
 TPDEKPRRKSNLSQTVPDNVSARMAAMGIAPLSSNNSSSIQVEKRANTPA
 EMLAKKKLAVLQSSVNQDVFEDGDDSDDIQIDVSDLVDRSVRILPGVRKM
 TDSL PADRFIAITSAAVTHCHGALQRVGISLPKITVTADDPRLERGKPFDPFI
 LAAKSLGFEPENCVVVEDSPFGIQAGVAAGGKTIAVSTSHSHDKISHCGATW
 LIPTLELVQVEVLPDGKLRIFIDATDKDIEQALSCKVRSKIEAKRV

Spot 149-2

>PTTG_02620

MSASRFLLSKPSQALRTQATRRIAVPSTSVRSLATIAPSSTFPQTRISTLPNGLT
 VATEPHPHSQTATVGIWIDSGSRADKHGGTAHFLEHLAFKGTQKRTQHSLEL
 EIENLGAHLNAYTSREQTCYFARSFSHDVPKVVEIISDILQNSKLDEGAIERER
 SVILREQEEVDKAHEEVVF DHLHAVAFQGEDLGKTLGPQAIMSIQRPDLV
 EYIKSNYTADRMVLVGAGGLEHEALVELASKNLGSLPTSSPIPLGGRGQIKP
 TGFTGSEVRIRDDTMDTINLAIAVEGVGWNSPDLFPMLVMQSIFGNWDRSLG
 SSPLMSSRLSHALSSNNLVNSFLSFSTSYSDTGLWGIYMVSENLTNIDDLVYIT
 LREWQRMSTAPTEIEVARAKSQLKASMLFSLDSSNNIADDIGRQLVTSGKRM
 TPQEIQIAVEAVTPDTIRRVAQKYLWDKDIAVAALGRVEGLLEYNRIRANMS
 SLTW

Spot 150,154, 165, 201-1, 210

>PTTG_01903

MMLSLPSRSIARSARSYANQAAPSIIATTQASTAQKVLSTPEDNKLTGSISVFI
 KAGSRYQPTHGLAHLLKNSVFKSTQKRSALSLVRETELLGGVLTSSLSREHLI
 LSAEFLKGNEG YFAEVLDVLTSSKFTRHEFNEEALPGAEAEYKQAQEDPTV
 VAI EQAHS LAFRGGLGNSLYANPELMGTQDSMIEYARTKFGCAEEQAIVG TG
 IEAERLGE LVSQFFGVSTATSSSGVSAGQKSSYHGGEARIARRAGPEDTLLV
 AFKGAEASSSPAHTVLQHLLGSDPASVKWSAGSSPLSLPVKA FH LAYSDIG
 LFGLLVKA PANETQAIATQALGQLKQIANGNLVDAQSVARAANKAQFLVAS
 NLENNLTRTELLGTQSLISP KSAPNQLADLYSSYSQVTPDQVIQAAKAVI SPP
 TTVAVGNIDQLPYCDQLGL

Spot 161

>PTTG_06273

MSADHPQPPSGAANPASGYGPQGGAQGYEAYAQCYAAYAQQQQQQAQA
 QQQAQNQPSAFPGTATTASTTQSAYGNNAAVPAVAGSGAPAAQPPNPYT
 GNPEGKRAHLYVGNLSPRVTEYMLQEIFSVAGPVQGVKIIPDRNFQHGLNY

GFVEYYEMRSAETALQTLGGRKIFDTEIRVNWAYQNSQSNVKEDLSTHYHV
 FVGDLSPENVDDVLAKAFAAFGSLSDARVMWDMNSGKSRGYGFLAFRDKT
 DAEQAIATMNGEWLGSRAIRVNWANQKNQGMAATTGAVIAPGMGGGGGM
 NRGGFGGATNYEAVVQQAPAYNTTVYTGNLVPYCTQADLIPLYQGFGYIVE
 IRMQADRGFAFKMDTHEAAAMAIVNLTGTPVHGRPLKCSWGKDRASADP
 NSAPASGMPMAPVAGMYGMPQMYGMPQAGYPQYSGPQYAAGPQGYGQ
 PGYVVPQQAAATAESTPAQP

Spot 163

>PTTG_07362

MANDPRISQTEAFKINQAAVTRNFKPRIDYRTVS AVNGLVVLDNVHFPSYN
 EIVNLTLPDGTQRGGQVLEVSGKKAI VQVFEGTSGIDVRATHVEFSGSSMKL
 PVSEDMGRIFNGSGQPIDKGPKVFAEDYLDINGSPINPYSRIYPEEMIQTGIST
 IDAMNSIARGQKIPFSAAGLPHNEIAAQICRQAGLVKKGGVSPGQGKPTKSV
 HDDHEDNFSIVFAAMGVNMETARFFRQDFEENGSLDRVTLFLNLANDPTIER
 IITPRLALTTAEYFAYQVEKHVLVIL TDMSSYADALREVSAAREEVPGRRGY
 PGYMYTDLSTIYERAGRVEGRNGSITQIPILTMPNDDITHPIPDLTGYITEGQIF
 VDRLLYNKQIYPPINVLPSSLRMKS AVEGGLTRKDHSVDVSNQLYAKYAIGK
 DAAAMKAVVGEALSSEEKLALEFLDKFESTFVTQGNNENRTIFDSL_DLAW S
 LLRIFPREQLNRIPKKILDEWYSRRPANNTNQKNNDPKP

Spot 164

>PGTG_01136

MGGLLELVPA GVTGKNLVKLEYAKAHGFAIPAFNCTSSTVIAALEGAR
 DSKAPVMIQVSQGGAFFAGKGKVNGNQEASIAGAVA AAMFVRSIAPTYGI
 PVIMHSDHCACKLLPWFDGMLAANE EYYKTHKEPLFSSHMLDLSEESKEENI
 EICCKYFERMAKIDLWLEMEIGITGGEEDGVNNENV DNA AALYTQPEDIWDV
 YSAFSKISPMFSIAAFGNVHG VYKPGNVSLQPELLGKHQAYCKEKLKTDDP
 RPLYLVFHGGSGSTKKEIATALENGVVKMNVDTDTQWAYMEGFRNYFDSK
 KDYLKTQVGNPEGADLPNKKCYDPRVVREGEKTMVKRVMEACQDLKNV
 NVL

Spot 167-1

>PTTG_09553

MRSNALKATSTGSRAARIAVHSIHGLGLDEDGLGKEDGQGFIGQRGAREA
 CGLVLDLIRTRRFSGRALLLAGGPGSGKTALALAMAQELGPKVPFCPMVGSE
 VYSNEVKKTEVLMENFRRAIGLRVKETKEVYEGEVTELTPAETENPLSAYGK
 TISHVVVSLKTAKGTKQLRLDPSIFDSIQQERVTVDVIYIEANTGAVKRVGR
 SDVFATEFDLEAEYVPLPKGEVHKKKEIVQDVTLHDLDMANARPQGGQDI
 MSVMGQIVKGRRTETDKLREEINKVVDRYIAQGIAELVPGVLFIDEVHMLD
 IESFTYLNRALES AISPHVILATNRGMCTIRGTENELSGSASSEGIAPHGIPV
 DLLRCMIVRTVPYNREERKTISSLRAKVEDLKVDAALEKLADRAMETSL
 RYALQLLTPSAILSTVSGQEGINLQDVGETDNLFMDAKSSARMLANYEGQYI
 R

Spot 167-2

>PTTG_28577

MVNWRQLLSTTRRISTITPAAAPSYSASQKTSDRMISIKDLNPAITAQYAVR
 GRIPKAEQLRATLQSNPNAKNELGFDSINCIGNPQQLGQKPITFYRQVACL
 TEYPELIDKPEAQSLFPKDIERARTLLDSIGSVGA YSHSMGVPIRQHIAEFIE
 KRDGVAADPETIFMTAGASAGVSNIMQLLsapTDGVMIPIPQYPLYTAALA
 LNEARAVEYYLSEADDWAPNLEGLEDVLSKAQSEGTRVRAMVVISPGNPVG
 NCLSRQNMEAIVRFCYKHKILLADEVYQTNIFEPDTRPFISFKAVVRSMERH
 IAAGQALVSFHSISKGQTGECGRGGYFELVNIPKDVQEJVYKLASIQLCPL
 AGQIGVDLQVKPPQPGDESYELYKSEVDAITQSLAARSATLANSFNQLDGLS
 CRKAQGAMYLFPKLDLPPKAHQAAEKA GLPVDEFYCMELLNKTGICIVPGS
 GFGQEPGTFHFRRTFLAPQVDHYVARFKEFHTSFLQTY S

Spot 169

>PTTG_03429

MSRPAGLENRLPMSQTQALRRLAQHAQFLAPATRTL RVSSHSANTMSSQNN
 TTTRLIGAPNTLEHRVYLENNGAVISAFHDLPLFANEQRNVFNMIVEVPRWT

NAKMEISKSEPFN PILQDV KKNKL RFVRNC FPHGYI WNYG AFPQT WEDPA
 HTHPETKA KGDN DPLDV CEIGEAV GYVG QVKV LGVM ALLDE GETDW
 KIVVDV NDPLA PKLND IEDVER HLPGLIRAT NEWFRIYKIPDGK PENQFA FSG
 EAKHKNFATDVILECHEAWKRLMKDGYS GISLANTTVEGSQH RVGHAD VPS
 DSRQDPAPIDPSISKWFFISGH SV

Spot 170

>PTTG_00372

MFVPRSPHINTFEK QTETMSTS QHLPA AWPPALSASTLADLQQAGAVY ALA
 NSLVFR LPSPAGV HAFH VPFTLLPSPF PRDQFEK A KRVQTA YNQL YLNIA TSP
 ALIREVLGTSIAK VDGFVG RLYELWEAAEKEAGEA GETQV GLGI FRND FLLH
 QAGQE PSQPLVIK QVEFNTV SFGSLASKV SGLHRYIMGRLEGSPATMSG A
 RQQLPASPNPALQA ISKALAMA HQHYVA ECPA AVPVILMVVKPNDNNIFD
 QSLIEFEL DAGAES VRMVR LSCHSV LEKTRVDGASKKLFL DAGGADGPTW V
 EVSVVYYRSMYGPEDFVG EA EWRGRY E LERSRA INCP SLAIQLAGCKFQQ
 VLTEPGFIERHSGILLADM TAAMWAEI GETWTEIYALESAEGM RIAREEPAGF
 VLKPQREGGGNNIYGRDIPGFVAGLAASERESYILMRLIEPPRKVF NYLLRSG
 PPPTSTTPAAQLERTEVVSELGIYGCCLVAATRG SARQV LWSQEGHV LRTK
 DSFSGE GGVAIGISCLDSPLL F

Spot 171, 174

>PTTG_09731

MSPRC SPIELLQISLSRSAATHHHHTTTT MIRARPSQYQLRTL RAHSPAA
 YARSPALIAPPAAARPLSTRPAIH FHADLKSDCRLAHSIRSFHSTGCNPVETVK
 VPQMAESISEGTLKQWLKKTDYVKVDEEVATIETDKIDVS VNA PKAGKIVE
 TMASEEDTVVGQDLFKLEPGE GPSGEQEA PKAS STAPPD SELPAGAKDEKH
 AKEAAQAAPDRPTPAKSDDAAQKSSHDRKRWS DVEVENKERTPRRAEPQ
 VTESKLPQGRTDFDGKAVGETQASRPALFDRERRVKMSRMRSRISERLKQS
 QNTAASLTTFNEIDMTSLMEMR KLYKDGVLK ERGVKL GFMSA FARAACL A
 LKEIPGANASIEGP GPGDQIVYRDYV DLSVAVATPKGLVTPVVRNAESLG FV
 DIELEIARLGAKAKDNKLSLED MAGGTFTISNGGVFGS LYGTPIINLPQSAVL

GMHAIKDTPVVRNGQIVRPIVALTYDHRILDGREAVTFLVRIKEYIEDPRK
MLLS

Spot 172

>PTTG_05189

MYASSSWLSSISTA AAAAASLPATHQAA VNRKPPPLPIHPTS PPPIHQPLKSTK
KIPITFNRQQWVVCNSCLGVVTGKNLVKVLEYAKAHGFAIPAFNCTSSTVI
AALEGARESKAPVMIQVSQGGAFFAGKGVKNGNQEASIAGAVA AAAMFVR
SIAPTYGIPVIMHSDHCAKKLLPWFDGMLKANE EYYKAHGEPLFSSHMLDLS
EESKEENIEICCKYFERMAKIDLWLEMEIGITGGEEDGVNNENVDNAALYTQ
PEDIWDVYSAFSKISPMFSIAAFGNVHG VYKPGNVSLQPELLGKHQAYCKE
KLKTDDPRPLYLVFHGGSGSTKKEIATALENGVVKMNVDTDTQWAYMEGF
RNYFEAKKDYLKTQVGNPEGADLPNKKCYDPRVWVREGEKTMVKRVMEA
CQDLKNVNVL

Spot 176

>PTTG_07572

MATEFSSRPLATTLVLFVDGTLTPARRSASPEILKTLEDLRKKAVIGFVGGS
DLVKIREQLEVTPNANALENFDYCFAENGLTAYQSGKVLESQSFIKHLGEDK
YKKLVNFCLREISELDIPIKRGTIEFRNGMINVSPIGRNASV SERDEFEKYDK
QTQVRAKLVEKLKEFADYGLTFSIGGQISFDVFPTGWDKTYALRHVEKAG
FKEIHFFGDKTYKGGNDHEIYEDPRTIGHPVTCPEDTIKLLKELFDI

Spot 181, 184

>PTTG_03422

MDLQSNVISFRIPLTFKANSLNQLWSFLLK NLGEVILGLNILPFPARLQTLGFI
QSTFKQPLEFCVRGVNRTFRKGPREGHVSSSGEPQVNLGCHSFLPRDENFSAP
GGANVMNRIGQLNHLDHSSNPSNHNKKMSSPKGDIGLIGLAVMGCNLIMN
MNDKGFTVVAYNRTVSKVDEFLENQAKGSNVIGAHSVAELCENLKPRRIIL
LVKAGDAVDAFIQQLEPHLEKGDIIDGGNSHF PDTNRRCKELEAKGLLFVGS

GVSGGEEGARYGPSLMPGGSDAAWPHIKEIFQKTAAQSEGEPCCDWVGQGG
 SGHYVKMVHNGIEYGDMQLICEAYDILKRGGLSEGEIGDIFATWNKGVLD
 SFLMEITRDILKFNDTDGTPLVTKILDKAGQKGTGKWTAINALDLGMPVTLI
 GEAVFARCLSGIKEERVKASKLLGGPQIEAFKGDKKQFIDDLEQAMYASKLI
 SYAQGFMLMREAKEYGWTLNYPNALMWRGCGIIRSVFLGEITKAFRAEPD
 LQNLLFNDFFNQAIHKSQPGWRRIAQTSLGPIPTAFSTALAFFDGYRTANL
 PASLLQAQRDYFGAHTFRILPEHASSETYPEGQDVHVNVWTGRGGTIASTTYAA

Spot 182

>PTTG_04265

MLSSRLLGASLFRAAAAPRK PILRSLSTLLFIEHRQGKINPATLSALHAAQQL
 DKSQITGLITGSSKAPGFDQA VELSKKLPIKKLLVKDDESLTRYVAEPLAPIA
 SVVREKGMSHLVGGSSVTKS VFP RVAGQLDVAQVSEVMKVVDERTFVRPI
 YAGNAMVTVCSEAPVQVL TIRTASFEALKLDEESASVEVEMLEGPIETTTT
 QWEGEVLA KSARPELGSAKRIVSGGRGVKNKENFEQVLTPLADKL GSAIGA
 SRAAVD SFGADNSLQVGQTGKVVSPELYIAVGISGAIQHLAGMKDSKTIVAI
 NKDPEAPIFQVADVGLVADLFEAVPELT KKI

Spot 186

>PTTG_04566

MPEPGEQLQPNTQ AIAEK PSTD MEGSA KTQQE YEEAGQGHVFAFDQLQT
 EKEELVNQLKSIDPQRVNQIFKQSTS KSGSGAE PIDKTDLEPPP KDSLESIIDL
 SKPEIKRN VSEWE SLGF KSMKEQ KV GILLAGGQGTRLGSNDPKGCYNIGLP
 SQKSLFQIQA EKIIRLQDLVGGSSIIPWYIMTSGPTRKPTEDYFSKM NYFGLKK
 ENV MFFEQGVLPALTPEGKMFLEPSKVCVAPDGNGGLYAALRSSSSCSAG
 RSVLHDLKH RGIEYIHAYCVDNCLVKVADPIFLG YCISKTT CGVKVVLKSQ
 PNESVGVLALKNLWSVVEYSEMPESVASSRAENGELFKKSANIANHFYSL
 KFLESIESFESKLAYHVAHKKIPHIDLKSQPNQNGIKLELFIFDVFPFVD
 SLSLEVDRSEEFSP LKNAPNTGTDDPQTSRR DLLAQKRWLEAGCQFSAP
 DLEVELS ALVTYAGEGLESVKGKTISQS VYIKSKDDLEKL

Spot 187, 218, 222, 223

>PTTG_08360

MSLLEASNKSQLEWLAGLQIPPRAPHQLNASNLRTAIIGTIGPKTNSPEMIN
 KLRAQGLNIVRMNFSHGSYEYHQSVIDNARAAEAAEPGRPLAIALDTKGPEI
 RTGLMADGLDIKIKAGHRMRMSVDPAYAEKCDDKVMYVDYTNLPKIISTD
 KPIYVDDGILSFKVLEKDPMGSFIEVEAVNDGVLSSKKGVNLPGTDVDLPALS
 QKDKDDLRFGVKNGVDMIFASFIRRAQDVDIRTLGPDGQSIKIIVKIENLQ
 GCANFDEILAETDGVMVARGDLGIEIPASQVFMAQKMMIAKCNLAGKPCIC
 ATQMLESMTYNPRPTRAEVSDVANA VLDGADCVMLSGETAKGSYPELAVA
 MMAETCFLAESSICYPPLFNELRMLQPKPSTTETVAMA AVAAALEQNAGAI
 IVMSTSGSTARLVSKYRPACPILTTRNAQTARQIHLHRCYPFYFASPRPTN
 AAGWQADVDNRRIKFGLSRAELGIVKQGDTVVAVQGWRSRGSTHTNTMRVV
 TVPLNPADLVLSPLV

Spot 188

>PTTG_01714

MSSTQVQVETIKSGDGKNFPTKGDKVKIHVGTLLESKDGKKFDSSRDRGRPF
 ECKIGVGQVIKAWDQGVVQLSIGQEAYFKCPPEIAYGDEGCQDVIPPNSTLY
 FKVELLEINGKSS

Spot 193-1, 201-2

>PSTG 11939

MEPSKAGLVPSGTSSPAKSPGSKRSPTPRISSQLPGGGALLYIPGGPMCNSSLD
 YQLAQESPSALDPSSPSNLLRPPDYTQSISLSPASSPSKKHPSPSSTRNNVNSP
 RNQPHQFSSPK

SRPGSSSSRFSRQNAREADVLGKILGWRQSRTLRTTNSFKLSPNHPKQPYLRP
 DHRHQQKHSPSEHRIKPTSPQELPEIFRPSIKHSSATPLNTPSGKLLFGDHLHP
 NDFQTGDHKSPNPSRPYYAQQSSDLTSSTHTSSNFLSSVTQANSSQT SVNQL
 HPSSPHPSSPKASQLASCSDGVPSHPHNQSHPGIKLPVLRRPLLKKSFSSGQLN

QHYNLSHPSRDPPKPNSQPESYSRLPQLPEPSTPLASPALLPEIFNKQPVALDR
PISLATPDDTELMSPAVFSQHPKPSHSLQHHQRFSLPAMHAILDANSSLSQMI
HLDHAYSDSDHSVQPNGLTKHPPMHGVASNESIRTAKPNTEFDSSKPLPR
FLPLTAHQSLPEGDHPTSSPDHNNSAASGRPLRFQNPRVFDLFVHNHRRDPT
DLLRRLLSPELPGSSTPSETSSTQSHFQLGASVNPSLNSSNFFGSIANVNSPLN
KDPRFVIWAESPSSAPRQQPLVNAYPASRKRSSATVETRHYSHPASASTSHL
GIDHSTGRLTHAPSTSFGLSSPSGSNNPKRWSRSSRTPTSHSHVETTSNPSPH
QSTDAAHHLRDDNAHGRSREELPHTQPKVSPGIEHTPKLATDRILMAATIERW
VAELTTHIDSGLVEFFFTYRAIMKPTQLAQULLASRFEWSIMFRSTSQAQHLL
DSNQESFVVDSSEKGILGLDGRLLIDHNGETLRRVAKVRTFVMIRHWLLH
HFEDDFLADLSLQTELHNWLIENTIEKIKRVQRIITRLDEPAPPETDKSKYHAA
GTSTSFDGDDLRILKNLRKVFKELQSNYHQSFVDVRDQQPASIREIDPSED
DDQKRSSLNRKLHKVDVRELFKESDGRDQQTSARRNRSHTADLIDVPKSL
LKKNLGHGRAHSVNTLAQVSAANFGRSDLRLCELDQDLTNAPGVLHEEENS
PNPTPEVDP SKAEKLILKLQVFESDTRRHADLYHKFIQKEADLDP SRFSV
NRTSHSLPMQQQRQLMISRMRTSDGAADMPKSHMATQARMSHSNHP SAPF
NQGGSTFLQHHSPFHYFTSTMGTIGRFKRMINNRSGPHTVSGPGILSHHLIG
GNASGLDFSSPSLSRETGSHQDQQPDTSEIGDLLCAKGGLERYLSFFEIEKDN
AMASYDEQHVVKDSIQVQRNSLSTA VAPLETNSAFESLGAADQTVRSPVQYD
DCSESQSLSSSLNTTCTTQSMPSETEGDMNSEAPGLDPVVSVDSGEQ
QLISKSTPDHDGHLLHGSMSSETIKSEAHHLALAEGEMDILKKQLRQKF SHK
DMCPVLMRASLDGSFSGTVPEHSTS LMRHSEDSPRFNTFSISVSSPNEKD LA
GRPTSVQLDDLDLFDSDEDSPVGVQKLRLPGA VDLKQAIAGRKS LFN LKG
GLLRSKNEERSKRFSTETSSSIGTRRVPSIAGSMFRRSKL SHKPSI ANSTTSSIA
PSTQESSLTEQNEPDNGTPGVVANFVADGLESDDDEPGDVEAALRRLEGVID
ADREKEKAKKVELQMIKSMEASRRTRTF SHTTSDSRDSYSSQTDDIDELET C
SESADGDDVSEESDEDGSEANNHDEDEEE EDGQEEEDGKQEEDEDDGN NEE
KTVEYGEVTISEHNRRSKSILLDRSTLD SPIAEGDEDDDTKFATT PNL SP NM R
GKTEHSKG GTPDFSGTSSVSPKPI LSPS NHTPSSKPGIRFTAHSKG LSL DDL
GITNDHSEDHNKTLRGNRKRLATRSQQVMTRKGSLHKLFSATNNNPPKSKG
STLTSPPLA APSSPYNN SVAGKPSIMHSLPLP L HRSFLLDCRTEILA QQFCLI
ERDLLRNITWQELL SKWQDDRSNTHHGNTGNNGTIGHNGRASSRRKKG

GIGSTSVEDAVTCWETFMKQRAKEKMRMKGRISHQNLTAADNPSPSSPPT
 TKKLDGTEINALIMRFNLTNCNWVASELVLTINLDERVALLGFIRLAFKCYR
 QNNFQTLTQIIHGLQTPYVERLKKTWSKLGWESRMFRDLKEFTSHLSNFKSL
 RNVQDSLINESSSNLSSSSNNQSSSTSTFNNSTSSSANHPNTVGNATGVNG
 SNVGTSSSASHFLHNNPDNLAGGGGSNSRTSHTYARASNSNNACIPFLGLYL
 RDLTVNDELPTYLDPTDPSIPVEIDYDTGKLTRLSNPKVFDHLPSLPPVFGPSSI
 KKHQKEDNDHKKEEGLEEQENSENDYGYYPLININKLRTYAKIILKIIEFQN
 RSIKNYTFETDSKWFLTCLKIKCLSQLKLLSRTCEP

Spot 193-2

>PGTG_21560

MGCMGCIELSGDTAPGKGFGPFLCRTDTASNCLHDCSTHDTVVMNQGYPPD
 NPPPGQGSQHPQPHDPDSFRPLYNRVIGPHPSLAADWSQSTGIHPSEQPAAR
 TIQVANSLTYGQTVRIHPAGAPA VVNHPNYPQADHYTNHNPVHPAPGTVG
 VQVVLLSDAYKGRPSLAHHTTTQDYPAGSVTRLVSLGPALQQPVIHPPAT
 QLPPAVIPTPTPTGSSVTTPVNVNGGIRTCKPKRTAEEMRLADLVAEKRAR
 RFQNQADKAAEARQKQATNAANRMLKAQKAASATPRATWSEEQTIELLNY
 VRMVKDDHSQVTGGFIPFGKYFVAYTGHEEAFLLDSVLPATRLAKYRAVM
 DKWKS KMSSTGVDKRTPTPMVHANLHARRRLACRPTRQRSLATHAWVLW
 DGGTPKRICLWRAGLHTGLHSVDWRASPHANLLWRAGAHANPHLACGLAC
 AMGAGVCLSMPVDRSGAGGLSSALDAGNLSQEIWDLIILDMHGDNPAATA
 EGLTGSSADYETLLQEEVNSGASSGPGSSDIEAPDSLPATPATRNKRQTKYQR
 LCAGLTPAELALDPSSSDCDLPDELPLGAPGTTRGVNVTPIPGVPPPLTPVL
 GTPASIPTGPPMGSKRKARALSSKQPVSRRPAEVPTIPRRGRTEEKTKEGDT
 TGTGMLVMMHKAQESSASWAAEERRDAQVERARQDVIRAEERADRQRIED
 RQAAERAEEIKRQDDI

Spot 194-1

>PTTG_03025

MEADPYVQKASQDAPTQQKAEEVGNIVEHVKTAMLTRHNGGALNSRAM
 APASKKGLVFEFVANNHSEKFEDLQNDPSCNVSYDPSSTDWVSVSGQAKII

EDHEEIKKIWNSSLSAWFGNLGDGKHTGHDYDDPRVAAIQVKPTEIRYWSAK
SKMSQTMDIAKAKITGNAAAPGVLRVINNNELCQLADINGKHV

Spot 194-2, 204

>PTTG_07306

MSSSNVLVLIRHGQSEWNKQNLFTGFKNPPLTPDGEDEAKRAAMKLKELG
FVFDCAYTSALQRAQATLDLILGVVDQKSIPIEKDMALNERDYGDLGSLNKD
DARAKWGGDQVHIWRRSYDVPPPNGESLEMTAKRTLPPYYNAHICKPKVLEG
KTVLVAAHGNSLRSIIMQLEGLTGDEIVKKELEDTVPIIYELDSEGKVLKCTV
VKVPKKED

Spot 195

>PTTG_08248

MYRFPARPALAKSLNRAILGSKIQTRQLSIHEYMSMGLLNEYGIPTPIASKAAK
TPQEAKIAESFGKPMVIKAQVLAGGRGKGHFEGKDGLKGGVQMVDTPEQ
ALQYAKQMIGHKLITKQTGAAGRICNAVMLAEKREPSHEYYVAILNDRSLN
GPALVASAQGGMNIEEVAAKDPAAIHTFPIDFQKGLSKQQGVEIATKLGKD
REAAADIFINLYRLFKDQDATQIEINPLAETKDGAICMDAKLGFDENAEFRQ
EKVFQLRDRSQEDPTEVEAAEYGLNLIKLDGNIGCLVNGAGLAMATMDVLK
LNGGNPANFLDVGGATAEAVKAFELITSQKVKSIFVNIFGGIMRCVIA
EGIIKATNELSDIPLIVRLQGTKEKEAKKLIKESKMKIFAFDGLDEAACKAVE
AAA

Spot 197, 198, 199

>PTTG_09038

MSIFRTESLKDATVLITGASGGIGAATAILFARAGANLIITARREAVLEEVKLA
CEKANKESGVGHGRVSALVLDMQEPQAIDSFLDRVPPPELKKIDVLVNNAG
LVYGRDQVGDLNFEEVQVMINTNVLGLIRMTNVVVKGKERAKGHIINIGSI
AGREPYAGGSIYCATHAVNAFSGALLRELVSTPLRVSEIOPGMVETEFSVT

RFRGDRKLADAVYDGLQPLTAEDIAEEIVWCAARPPHVNVVAELYVLPTAQA
SATISHRQNS

Spot 200, 220-1

>PTTG_03445

MSDSNTCYFDQIKRSFADVPVTDEGVDTLAFLEACEDLVKLFDLFESKAFAV
VQNDLTGNIAKIRKRYDACPEKSKTLESVENEKAEEKKKDATQGLLWLTRG
LHFTCEGLQLTQKNPGEELSVSFTAYQGTLKDYHSFVVKPIFGLAMKACPY
RADLFKKLGAKEKVDVELEKWLSALEKIVVRIQSFYEKGNYGKGL

Spot 209

>PTTG_27324

MSDVVIREIVKGITLTFSKPFKRLGITPIGGRSTAIKLSDSSVWLLASTPLTDET
REKIDQLGQVKYIAVADMEHTGFTTQYTADYPDAKVYGPAGAAKKLGINV
HEWTADKDHNPMYEYDSQVLKDEIKAEYFDGFINKDIAFLHVPSKTLIEADLL
FNLPATEQYSKSSESATNFTNWATLKPDSTLHQRFVYNLAANNKKSMAQS
AYKVDQWDFDRIIPCHGDIETGGKAAWRAAYSIFYFDDIKNGKFPGLGGST
SKEQ

Spot 214

>PTTG_03594

MDRNFRVGPDYSIIDVVGEGAYGVVCSAVHEPSKQKVAIKKITPDFHSMFCL
RTLREIKLIRWFSHENIISILDIVKPPSLDEFTEVYLIQELMETDMHRVIRTQDL
SDDHCQYFIYQTLRGLKALHSAAVLHRDLKPSNLLNSNCDLKICDFGLARS
AFMGEQEATGMTEYVATRWYRAPEIMLTKEYTKAIDVWSVGCILAEMLN
GKPLFPGRDYHHQLTLILDLGTPSLDDFYAISSHRSRDYIRALPFKKKPFAQ
LYPNASALAILLEKCLTFNPKKRITCEEALRHPYLASYHDPDEPDSPPLDP
SFFHFDNGKEQLSREQLKELIFNEIM

Spot 216

>PTTG_29605

MSSRLTAPALARRQLRLITANPAWTPARRAPPAAAAASMSRRLAILSHHLA
 PPPSSSRPAYSSRSPSPPTPQQPSVLTKTGDLRSLTNRPEALNALNMEMIQAI
 AAEELTKWENSEPAKMVLKGVGRAFCAGGDVVSLIKSVASEDSAQRKTPVD
 FFRAEYTLDSFIAKMSTPVVCFLDGITMGGMGLSMHTPFRIATEKTRVAMP
 ETAIGLFPDVGAFFLPRLDGELGTYLGLTGTSLYGWGAFQAGIASHYVPSSS
 LAALEDRLSALSADAHDRINDAINEFAADPEESSSSPAFDLQGTKRQAIDH
 CFGQNTVEKIVEQLEAVRDGHLFSEDPALKSWAEQTIDLILIRSPSSCKITLMA
 LREGKKMSIDEFCAMEMRMAATCCDVQTHPDFVTGVTHLLVNKQKSRAW
 SPSELSEVKLPEITAQYFSSQPASSTHVVRDLSLSPTRIQSYHDYPYANYGLPS
 EETIKNLVIGNVKGTSGHLAITAPELHEMVSQKWNHKVGVAQKLDDILARR
 TTRKGQNEGFWLKQWQY

Spot 220-2

>PSTG_11145

MGNESDSSDDGRTSKSQITKLHCHNWSDWRDQFEDVVIAKGFANLFNKEW
 LKTNKKSEDLKQMTSWAMVKL RATVKRELHPVILNHPKDLFAAVDALATA
 CGEKLVIRLCDKLFALTNSVYTPGSSLAEHANQFMKKYTSLKMSVKAIPHFM
 YVSTGMAGALLRSLNQDESLTPLVQSLFDLNPLTFEKVYDRLLIEESRKDSA
 IAESAYFSNQAKKLGKAPVNRSTFGSSNRGSSSRGSHRGNNNSRGNFRGLT
 PTRPNPNNSDNRSDAMSKQFSQLRREMKNFIESGQADMMEENDDEDYEEE
 DDHDEDNYVDNPDDVLLGLSLVPIAPSEI

Spot 221-2

>PSTG_08642

MASTPPNPPQAGIIVPQEWAQMQQFMAAFGLPGPIVIPPAPAPIVTPLAQSS
 VIGIGEGLIMDIDDEEDLSDPPPQDTHVDQLPEENDRQEKEKSLEDDLSVKS
 PGDLVVRPALRPGVITNLCEYDYNTEPLDPPPVGQFLSMADVVAFCQEWA
 KHHGYTVSTGRSNANKNVYIRCGRSGDFRGQQLNPAGRQTATKKICCPFEV

KGSIPTSRKIMNKVWTLEIREPEHNHEPSYSPLAHAHKRVTLEQVIAIQKLS
 QSKIKPTQILIQLRTSNNETYATNKTISNVLQKQRLKDLDGRTPIQALLDILKE
 SNWTYNVKVNSSGNILNLFFAHPGSIHLARIHHHVALLDSISTAFTPPFEDQD
 SYEWAVNNLKKFIWRPQRIPPVFVTNRDSALRNALAEVFPDSQRNLCTWHL
 TQNIVTNCKKYFGTDKNDADDDTDGRNDKKHKKKQQKKATDKEEDEST
 NPWKAFLRVWGKVTSKTPELYVTHLDELKAHLATRPAVLEYIETPMVPVK
 ELFVVAWACQYPHLCNLNTSRVESGHAYLKRFIVNSTGDLLSVFKSLGLAV
 DNQINHVHESICRTVKTIVNVPKSFPVPLLGKISTFVIKECLQQFERLVNLDP
 TEPCSHTVTIGLIPCAHRIELMEDDKFVAPKDFHLQWHLRYNPEFTRTEEE
 EIDLDKELRIITMSLTHERPTTADDLLAQMKGIAARTHKAVTIQVPEVKKNTK
 GRPSTKAERLTSTKRQPSAFEIVEAKLKKEQLARKQALKAQKRNKSRIKKN
 EPTEPPKIYSEDEYSPGSDLDDFDFSLLAGGAELLSEASDEEAEAEIQEEK
 EESKKENKEESEQDNKENNHSSEEENEQSGEEDKKHEKKIEIDSQTNDKKHE
 KKIETDSQTNTAANNNEHEETIVQGGGVTLTKGRYALQIPPNLQPYITQVF
 DPTADGNCGFCCIARALGYKEDGWFQVRQELLKEATDHQAAYSKLQGGEE
 TMESIIKNLEVKSKKTRISGDKWLDKMAHGQMLANAYKRPVIFLLISDCNTF
 LPLRAGPSEQCEPIYLLHVNGNHWILALVQGKDGVKPVPPPVLATRMTTKIA
 KSWLSHIQKGIGHLYAKATRF

Spot 224

> PTTG_08772

MVLTASLCQPLVRSGFHLDNNHLPLNAKHSISVQSNMSDKALISLSNGVK
 MPQIGLGTWLSKPNEVKNAVTHALKSGYRHIDCAKVYGNQGEVADGIEASG
 VNREEIFITSKLWNTWHHPSKVAEGLEDTLKELKTDYLDLYLIHFPVSFAWP
 ESAKAADSELLFPLAEDGVHVVKLDLQTSIVDTWKEMIKLLDTGKVKAIGVSN
 FEIEHLEALNKATGVAPTVNQIERHPLCIQADLVKYCNSKNIHVTAYSPLGNN
 LVGETKIVDYPEVKEVAAKLSKLSGETVDPAQVLIAWGAVGGISVIPKSVTP
 TRIDSNFKQVKLSDEFNKITELGKNKTVRYNPVTVYEPKWNVNFnTEAE
 KSCAHGIVLGV

Spot 225, 231, 290

>PTTG_05785

MLRSTASSVLARVKPSPRLASRTFASSSSRARIISTQPVKASETSSKFANGKYP
 VIDHEYDAIVIGAGGAGLRAAFLGLAEAGLNATCITKLFPTRSHTVAAQGGVN
 AALGNMTEDDWRWHMYDTVKGSDWLGDQDAIHYMCKEAPQAIELEHFG
 VPFSRTKEGKIYQRAFGGQSLKYGKGGQAYRCAAAADRTGHAILHTLYGQS
 LRHNTNFFVEFFALDLIMDDAGNCVGVTAYNQEDGTLHRFRAHQTVLATGG
 YGRAYFSCTSAHTCSGDGNAMVTRAGLPLQDLEFVQFHPTGIYGAGCLITEG
 SRGEGGYLLNSQGERFMERYAPTAKDLASRDVVSRSMTIEIREGRGVGPDK
 DHCYLQLSHLPPEVLHERLPGISETAAIFAGVDVTKEPIPVLPTVHYNMGGIP
 TNYHGQVLTQDPKTGADKIVPGLYAAGEAACSVHGANRLGANSLLDIVVF
 GRACAKHISANMEPGKPHKTMPEDAGMKSIEDLDKLRNASGPKPTAQIRNE
 MQRVMQNDAAVFRTQSSLEEGVKKIHKVVDSFKDVGVTDRSMIWNTDLVE
 TLELRNLLTCAAQTMSSAEARKESRGAHAREDFPEREDDSWMKHTLSWHN
 PESGEPVKLTYRDVISTTLDENECKSVPPFKRTY

Spot 261-1

>PTTG_00016

MHRPSMLGFIASALAGSALA VPFNDDPDShLAPlTPTAPPVGGPLSHLSIQG
 GRSPSDYLIKDSYVVVFKKGTHDDRSLQHKSKVHQLWKQDQQQRLQSESY
 GPADLFSGIKHHYDGMTSFKGYSIHVP EALISIIRSFPEVDYIERDSRVWINDQ
 YENPSTIPVAEKPSHPTSEPIDVEYGAPWGLARISHRKLFSTFNVYPFEDPA
 GLGVDAYVIDTGVNIEHEELEGRAKWGKTIPDDPDKDNLNGHS HVAGTIAS
 RTYGVAKNATIIAVKVLGAGGS GTMSDV VAGVVWAAEAAATKARDEAAK
 KDSKHKGSVANMSLGGGNSPSLDQAVNAAVDTGLHF AVAAGNDNRDACT
 FSPAAAKKPITVGASTIQDERAYFSNHGKCVDIFAPGLNIKSIWNTGSKS VNTI
 SGTSMASPHIAGLAAYFLSIYPEKLDLASLGVYEDEQDEFVASNGEAYDLGQ
 YFSWNSVSSQGQLAFGKFKEAVGYSGSTQPKDAPQALSTRMLKKAMIKMST
 SGVLSKLPGQTCNYLAYNNATVPRALTAADFRI

Spot 261-2, 263

>PTTG_12239

MAEPTARKQEKDFTKEVDELVADVGQLVKNGGLQQGLEKLLGLEKQTRNA
 SDLSSTSRLLEVVQIVFESKDIDGLCLHVQLARKHGQLRQATTMVDRV
 MSFLGELDQANKIKLIDSLSREVTEGKIYLEVQRARLTQLAQIREAEGAPGTA
 NELMQELQVETFGSMERREKMDFILEQMRLRTQEDWEKLAIVSKKINSKW
 LGEAENEDLKLRFYGLMISYGSKMSRHLDLCKYYRSIHECKSVEAEPAQALA
 ALRNAVYFVILAPYDHEQSDLLHRLAQEEEELKKIEAVYDLVKCFTPELMR
 WPGIQELYGPVLRKSRVFGPAGTSGLVGDIAEDDPLAGDRRWEELHKRVVE
 HNIRAVSRYYSRLTLERLSELLDLSPGGSERRLAQLVSSGTVCANVVPHPQPP
 SHPRMLDPSAKLIFQGALATLPSPADPASPARRKAQPPAPLAAYAVLFLDGR
 LECYPGDPFSVGSAAHEAAKPTHILQLNPHHRWVLQATQNSPASFPFTIARQPL
 TLLGLDVEAMGTTNRTSLTNNTPSDSLKALKDRKHTPTLIDLQDPCPDLPPL
 HDHPHHAPGSARSQLNSPASSSTSPHPTTIHPAQNTLTFAASSESARKQWIT
 AFLSVFRLTSDLEASTSNPSLHVSPDRASAYQQHQQTPIRSTLSNSFPNSNSN
 AHHTSRIPLAPIQQPRSSSSASIATSHNFSADLLSPTHSPHAGLLSHKPSSPSPS
 PHSHPPLSVSASSHTEMAAVPAWIKAVRNADERKPGPDPLLSEKAGCYAS
 REGSLDQQPGSARMAHSFSAPAPLAGPDRPAAAAAKPAPAPSIKSFSAVVQ
 NLKRAGSLSEWPDYASPAHSILQRMREPDSLSDPRPASPDPSDGAAPHQKR
 LWLLSA

Spot 267-1

>PTTG_05453

MSVCPTTSAPGHLAKYMDLPQOPENLIQAELYVIDGTGGLRCKTTMDLPKS
 GQVTVADCCKEWNFDSSTAQASGTDSDVFLRPAAVFKDPFRGKNVLVLA
 ECYNSDGTPNKTNFYSCCKSMDAAAQHKPWFGIEQEYTLFDADGVHPYG
 WPVGGFPGPQGPYYCGVGTGKFARDIVEAHYKCCLYAGVTISGVNAEV
 PSQWEFQVGPCEGIDMGDHLTMARFLLYRVTEDWGIKVSFHPKPLAGDW
 GAGAHTNYSTVATRQPGGIKAIHEYIEKLGKRHNEHIAVYGADNDQRLTGR

HETGHIGNFSSGVAHRGASIRIPRHVEATGEGYLEDRRPASNIDPYQVTGIIVE
TTLLQ

Spot 267-2

>PTTG_08909

MPAPQTVPQCQYKTGRRTLQGQTYAVVKEAVHISTGKYACKVINKRLMEGR
EHMVRNEINVLKKISAGHPNIVTLHDYFETLNNLYLVTDLCQGGELFDRICA
KGQYYERDARHLVQVVLNAVEYLHSHGIVHRDLKPENLLFRGPEDDSDLLI
ADFGLSRVIDDSKFNALTTCGTPGYMAPEIFKKSGHGKPVDIWAIGVITYFL
LCGYTPFDKDDSIAEIRAICDAAYKFEPAEYWKNVSNIARDFISKCLTVSPEE
RLTSRTALEHPWFASEVEPGVIDPSSDKGETQNLLPHLKRQFDAKKTFRKAIA
TVRASNRFRQSTGIPGSTNPEVDELMKVVEAGQADAAAEESETVNEVLAT

Spot 274

>PTTG_01684

MAHLTTNAFTRRFLTATTRPTVNKLNTSSTRALSSLAAQHPQPRSLKAHSSG
SPLSTFNSRLIQTAADSSAVNPDKIPSNDGDKFNITLDADYYQTYKCDAPSLE
LEMTKAELVQMYRWMVTMRRMEMAADALYKQKMIRGFCHLAIGQEAVS
VGMESAIQPDDKVITAYRCHPFAVLRGGTIKGVIAELLGRKDGMSSKGGS
MHIFTPTFFGGNGIVGAQVPVGAGIALAQKYNQDDKHATFIMYGDGASNQ
GQVFEAFNMAKLWNLPAVFVCENNLYGMGTSAESRSSNTKYFTRGDQIPGL
QANGMDVLSVHNACKYAKEWTTSGKGPLLDEFITYRYGGHSMSDPGTTYR
SREEIQHMRSTNDPITGLRNRLLEWNVIKEADLKAIDKQAKAEVDVAVEEAK
KSPEPDPATDMWTDIYYKGTAPKWMRGREKEEVHRYKPEECKDLI

Spot 281

>PTTG_03798

MIRASSKPISILNRQPIARPSAILHPNHFSTARQQAEIELEIDGKKVTVEQGSA
LIQACEKAGATIPRFCYHDRALAIAGNCRMCLVEVEKSPKPVASCAMPAMPGS
KVFTNTPLVHKAREGVMEFLLANHPLDCPICDQGGECDLQDQSMRYGSDRS

RFKEYTGKRAVENKNLGPIVKTVMTRCIQCTRCVRFANEAVGVDEFGTTGR
 GNDMQIGTYIEKTLNSELSGNIIDLCPVGALTSKPYAFTARPWEKLTESIDV
 MDGLGSNIRIDSRGQLQVMRIQPRINEDVNEEWIHDKTRYAYDGLKTQRLTVP
 LIKTDGKFQPATWAEALTAVAEGFKESGAKNNEIKAIAGALADTESLVALKD
 LLNKLGSDNTALENPSPGDTSPAHGVDFRQNYAFNSTIVGADEADFVLLVGT
 NPRHEAAVLNSRFRRSWLNKGLRVGLIGQKFDHSVFEFDHLGADLRAVKEFV
 SGNGKFAQSFKNACKPMIIVGSAVNDHADGHEIFRSLAGFVEAHQAQFLTPE
 WNGFNVLQRTASSTAAYDVGFPPTSASQAQAKFIYLLNADDFDPSRIPKDA
 FVVYQGHGDLGASYADVCLPGTAYTEKSATWVNTEGRSQLGRTAVSSPG
 SSREDWKIVRAVSEVLNVALPYEDPIQLKNRMWEVCPSLIRYDELVPSSTAL
 EAVQSIASTQAPSHRSKASLKTGALGLPIKDFYFTDPISRNSITMAQCSKA
 PDPNVSHSDKSGQPMAAFG

Spot 285, 287-1

>PTTG_06073

MPPPHNPMLGCTYGFWSLLLLKRTLHPHPARPPPPAPALPAHNITPFPPTHN
 KKKSLTGLALVSSPLYALPPLTMKAIILVGGFGTRLRPLTLTPKPLIEFCNKP
 MIVHQIEALVAAGVDEIVLAVNYRPEVMVSVLKDTEEKYGIRITFSVETEPLD
 TAGPLALAKDILGKDDSPFFVLNSDVTCTYPLKQLAAFHQAHGKEGTIMVTK
 VDEPSKYGVVQLPNSSAIDRFVEKPVEFVGNRINAGIYIFSPKVLERIEVKPT
 SIEKETFPAMVRDGQLHCMDLEGFWMDIGQPKDFISGTCLYLSHLSALGDPN
 VKDQAAHKWVVGGNVLVDP萨VIDPSAMVGPNVIGPRCVIGKGVR
 VVMAGARVKDHSWVKSSIIGWNSTVGRWVRC
 DNTTVLGDDVNIKDELLVN
 GAAVLPHKSISASITEPAIVM

Spot 286-1

>PTTG_03821

MVYKVADVSLAAWGRKEIELAENEMPGLMYLRKKYGKSQPLKGARIAGCL
 HMTIQTAVLIETLTALGAQVTWSSCNIFSTQDHAAAAIAATGVPVFAWKGET
 EEEYLWCIEQTLAAFPGKPLNMILDDGGDLTSVHDKFPQYLDGIGGVSEE
 TTTGVHHLYKLHKQGKLKVPAINVNDSTVTKSKFDNYYGCRESLV
 DGIKRAT

DVMLAGKAVVAGFGDVGKGCAQSLASYGARVVTEIDPINALQAAMAG
 YEVTMEDVAHRANIFVTTGCRDIIVGKHFEAMPEDAIVCNIGHFDIEVDV
 AWLKKTATSVSNIKPQVDRYTMPSGRHIILLAEGRLVNLGCAHGHPSFVMSC
 SFANQTLAQIALWEDKNNTYPLGVHMLPKALDEEVARAHLHALNVKLTN
 MSEAQAEYLGINPAGPYKVDHYRY

Spot 286-2

>PTTG_04794

MSSICRNTILKGIAVKLPGSRTSSVLSSSRGLVQCRNISSTSSGLSCVQSRC
 RSPRNPRSIPIHSVAIRSYAAEASKKFTRNKPHMNIGTIGHVDHGKTTLAAI
 TKSLAALNSNNKFLDYSQIDKAPEEKARGITISTAHVEYETENRHAYAHVDCP
 GHADYIKNMITGAAQMDGAILLVSATDGQMPQTREHLLARQVGIQKLVVY
 VNKVDQIDDPEMLELVEMEMRDLLTSYGFGEQTPIIKGSALCALEGKNPEI
 GVESIKQLMKATDEWLDQPVRLDKPFLMPVEDVFSIPGRGTVVTGRVERG
 TVTKGTELELIGLMNQKVALTGIEMFKKELERGEAGDNMGALLRGLKREQ
 IKRGMVLAAPGSIKAVTKFLASIYVLTKDEGGRYTPFMNNYRPQLFLRTSDV
 TVSLTFPEEVKDRHEKQVFPGDNVEMVCELVHEVAIEPGSRFTIREGGKTVG
 TGLVSRLF

Spot 287-2

>PTTG_06742

MASSSYDSLQPGRDSLDDSELEAGEDDEDFIINQTLLFSNKPSPLLPSPASHPL
 QRNQQNSTIHARLSKILGKRNPSTRSIASICTLAGLAIGLLLWFSHPPSSNSNL
 QTTSKPFNPKLFNQSPDGRSRISLN DALSGSFHVNRHAISWLDEAGDGVYSEI
 TPAGIILKDLKNNSSKPLIRASELVDPQGRPIYPEAFTVSSDLRYILVSTNSQQQ
 WRHSKLRHYWIYDTLHRTVTSLRPDIPPHQPRISIALWSPTGHSIAYVLDNDI
 YLLTSPDHVHSPLRITITGTPTIFNGICDWVYEEEVFEASEALWWSPDSNKLV
 WSLDDESVDPIYELRTYNPTEQVGQTMPYPDKTKMKYPKPGFSNPIVSVHLF
 DIEAHQRADGNP.VKDAVSQLKLDSEFEDADRVGELAWVSAHELIIRQTNR
 IATREKTGYFDLSQLAASRAVSPSTYGVVMDIDFVKFDGGWAEPGQFIKPII
 TGKDFAPGYLDIRINHAGYRHIAYFSPPDSRSPIFLSDGNWEVDGKISAVDFE

KNLVYFVAANPSMERHLYSVKLPTKAELKKLESQSNIDLQGVTPVTPITTGV
 GYYDVSFSQMGGFYLLSYNGPSTPWQKLVADPSFETLIEDNSALNKTLSK
 YALPTVHFTSIKNSIQQDMNIQEIRPYQMDLSGKTYPVLFKVYGGPNSQTA
 SKRFAIDWSHFLASSMEYLVVYVDGRGTGLKGREFRVGVRNQLGKIEALDV
 STAAQYYAGLEYVDPERIGIWGSFGGYLTCKTVESHSKDFSMALAVAPVT
 DWRFYDSIYTERYMSTPALNPLGYQNSAVSRMEFGNLSFSLAHGSADDNV
 HFLNSASLLDRLTGAHIHGQFRMFTSDHSISTRDAYKELFGWMTDFLLRQ
 WGHGLVSSLHLNQTINIDALLD

Spot 299

>PTTG_04303

MKGKGKRNYFIIQARFMSQTRCTNFHSTLTLSYNSHILLPEETEKEADSLVA
 TSRVYLDITRGKGPLGRVVIASFKRTPKTSENFRVLAIGNTKSASGTPLAYKG
 SSFHRIKNFMIQGGDFTKGDGTTGGESIYGNKFPDENFLYKHEGPGLTSMAN
 AGPDTNGSQFFLCTVTTSWLDGKHVVFGKVVEGMDVYDIESSKTDSRDRP
 LEKVVIADSGELEIEEQVDEEGNKVPLRVEL

Spot 306, 307

>PTTG_02168

MSVQEVTTFNDQKPGTSGLRKRVKFVFEQANYTENFIQAILDGMPAPGVK
 DSTLVVGGDGRYYSPECIQKIIKLAAGNQVKHLIIGHKGILSTPAVSNLIRKRK
 ADGGILLTASHNPGGPNADFGIKYNVSNGGPAPEGVTDKIYEITKTLKSYKMI
 ELPEVDLSKLGPNLGPISIEIVDSVADYLVLLKSIFDFDSIKAYLHGNPPPLK
 VLFDGMHGVTPYQAIJVETGLSAESIQNCVSSPDFGGHPDPNLTYAHE
 LVARVDKENIGFGAASDGDGDRNMIYGKDAFVTPSDSVIIADWAQEAIKYF
 KSGIKGLARSMPSTSGAIDLVAKAKKLEVFEVPTGWKFFGNLMDAGRSLICGE
 ESFGTGSDHIREKDGLWAVVAWLSILAAAEEKRGIKNGIKGVLQDHKKYGR
 SFFSRYDYEEVDSVGASKMMSHIESAFGKDDFIGSSLSETSSTSFKVKEAGN
 FSYTDPIDKSVSKGQGLYVKFADGSRIVYRLSGTGSAGATIRIYVEKYSQNEQ
 EYDQDTQVGLKPLIEVALKLSKLQQFTSREKPTVIT

Spot 309, 337

>PTTG_01152

MASNPAMPSQVDVLIIGAGPTGLGAARRLHQLKNESYLVVDEQSQAGGLAS
 TDVTDEGFLFDVGGHVIFSHYQYFDDMIHEALPQDSDWLTHQRISYVRSKNS
 WVAYPYQNNISQLPIEYQVSCIDGLIDAAEERTRAVGKPKNFDEWIVRMMG
 VGLADLFMRPYNFKVWGVPTTMMQCEWLGERVAAPSLKLVVKNTLYKKE
 AGNWGPNATFKFPAHGGTGAIWKAVSRCIPQDRFRGRRLVSDGQKRVAS
 FDDGSQVSYKNMISSVPLDLFCGLIDQEKKQAPAPSLKTVADGLVFSTTHVVG
 FGIRGLPTGAMKGSCWLHYFPEDDCPFYRVTVFSNYSPNNCPQKDAKLKTIQT
 ADPSMGGQADLQTAKEGPYWSLMLEICQSKMRPVDEPNIIKDSLKGLINTQ
 MIEPNAEIVSIYHRKFHHGYPTPSLERESQLKTVLPALKEKYSIWSRGRFGSY
 RYEVANQDHSCMIGVEAVDNILFGAPEMTLNEPDWVNNGRKNTERRLD

Spot 310

>PTTG_29181

MATTLTHPAIKDGWFREESALWPGQAMSLQVKVVLHVEKSFKFQDVLFEST
 SHGNVLVLDGAIQCVENDEFSYQEMIAHLPLNSHPNPEHVLVIGGGDGGVLR
 EVLKHPVKATLVDIDEAVPRVSKTFLPHMAAGFNDPRVTVHIGDGFQYLR
 DQVGKFDVIITDSSDPNEGPAQTLFGMPYFELLKNALKPNNSIATQGECIWLH
 LPLIHSLIKGAKDLFPQVEYAYTSIPTYPSGTIGFVVCSLDKDRNLKQPLRQVR
 NTKYYNKSVHAAAFVLPEFARQAIEAAKANLDMPDKSASAQSSAPGKKILL
 LGSGFVAQPAADYLLRRPENQTVASFNLWKAERFATELAREVKCISLDINN
 AEALDKAVSEHDLVISLVPYTHASVIKSAIKFKKNVTTSYVSPAMRALDD
 DAKKAGITVLNEIGLDPGIDHLYAVKMIDTVHRAGGKIIEFISYCCGLPAPECS
 NNPLGYKFSWSSRGVLLALLNSAKLYSKGKLIEVEGQELMNHAQPYSISPAF
 AFVAYPNRDSTPFREFYEIPEAQTVVRGTIRYQGFPFAIKTLVDIGFLSETPQA
 YLKPESTLPKEVTTRVLGADNSTEQCLITEIKRRTTFPSADDEVRLAGLK
 IGISSDDHAVPRGNILDLCARLETMMQYEKGERDMVVLQHKFGIQWKDGK
 TETRTSTLIEYGAPFQTGTGPSAMARLGVGPCGIAVQLILDGKITKKGVLA
 SLDIVEPLLVEVEKEGVTMVDRIVS

Spot 315

>PTTG_02169

MSSFTAQTGWEDGPGRCSSFTKRWTSGKEPIAKLIFFHGFMEHISRYDHVFS
 RYAEAGIEVFADQRGFGETAARTKTQQQTSWAAGLKDADFFVAQEAAAPER
 CHGRKVFLMGHSMGGIAFAYTTRSPPLEGLSLITGGLVLSSPLIAQTPGVAT
 AGALIRLGSFVGAILPKLSNVGVSACKDICRDPVIQEYSHDPLCAPIGYKG
 VGDMLLGGQQQLSHDYKQYPSKLPLLAHGTAADVTHDATQQLVEKTM
 AEDKKFKDFEGYYHEMHNEPGDDKFKQMDYIIQWITSHV

Spot 318

>PTTG_09428

MAAAVAMPSKMTALYYEKARHFSVIQADLPSIDEHEVLLKVS MCGVC GTD
 QHIHEGEFISKFPLIPGHEVIGTIVQAGSKVHSVKIGDRV VCDVGETCGKCFY
 CQRGTTLF CESFEAHGVTNGGFAEYAKFHA AKVFPIKNL TDEQATLVEPAS
 CAVHGLDKIRPKPGSECLLIGAGPTGLILAQLLKLN GAQRVVLAANKGMKM
 DIARKIQA ADEYIDLDRNDAVSQWAQLKKDNPHGFDVV VEATGVESIVDDSI
 NYVRRGGTLLVYGVYDNAARVNWSPTKIFSDEINIIGSF SQTNCFPRAVAYL
 DSGKIRTEGMVT DIFKIEEYQQALDKMASRQCLKIAVRPNQQ

Spot 320

>PTTG_00389

MSESLLFKGTLAGHTGWVTAIATSAENPDMILTASRDKTIIWQLSREDGAY
 GFPKRILRGHNHFVSDIVTSSDGQFALSSWDKTLRLWDLNTGLTRLFVGH
 TKDVLSVSFSADNRQIVSGSRDRTIKLWNTLG ECKFEIKDEGHTGVSCVRF
 SPNPMNPVIVSAGWDKVVKVWELSKCKLRTNHGHTGYLNTVSPDGSL
 CGSGGKDGTMLWDLNEGKHLYSLEAGDIINALVFSPNRYWLCAATASCIKI
 FDLESKSIVDEIKPDFTDIEGRNTKVPECTSLAWSPDGTLFAGYTDNLVRVY
 AVMG

Spot 321

>PTTG_05810

MEHDLDINRLKSGELNLGTSIMAVAFAEGGVVIGADSRTTSGSYIANRVTDKL
 THIHDRVYCCRSGSAADTQAVADYVHLYCQMYTAQHGHAPSVHTVGTIFE
 QICYSNKDNLSAGIIVAGWDAQTKKGSVYNIPGGLFQQPWAIGGSGSTYI
 YGYCDSNYRAGWTKEETIAFVKNALALAMS RDGSSGGTIRMAITEDKVER
 VFIPGNQLPVFWEA

Spot 322

>PTTG_01421

MGPIEVLSQPIQFKGGLNALNRTLKSAMTERLCTYDDVDLDARGKPTPEYEE
 LYRVWSEGKIGTIILGNIPVHREYLEAKGNAIIDKDSPWDPVEAFKPVISAAK
 AH GSLVIGQLTHAGRQTPFQVNPNPVSASETQSPPSFGMNGKARALS VDEI
 QDVVDRFAYGAEVLYKAGADGAQLHGAHYLLSQFLSPRVNKRTDQYGG
 FENRSRIVFEIIDAVKKRVPDPKFILSIKYNSHDFIEGGFTKEDSQVMAKKLEA
 AGVELIELSGGTYELLPFEEKKESTLKREGFFLEFADRIRPHLSGASVLA VTG
 GFRTLDGMASA VSSKDRTCDVIGLARPLVFEPHFVADLLAGTKKAKVLAF
 DSMLLPVAYHVLQLIGHKQPIPNLQDEKSAKEVIELVTAK

Spot 332

>PTTG_29878

QVLLYNCSPSSHTSLEIAESIIPAKMTSLDHLKQHTTVVCDTGDFESIAQYKP
 QDATTNPSLILA AVKKPAYAKLVDVAVQYGKAQGGSLDNQV DATVDRLLV
 EFGKEILALIPGRVSTEVDARFSFDKEATKRKALHLIELYKTVGIDKDRV LIKI
 ASSWEGIQAARELEKDHNICHNLTLFGFGQAVACAEAGVTLISPFVGRILD
 WYKAKKPDASYDGAADPGVQSVQKIYRYYKQEGYKTIVMGASFRNIGEIEQ
 LVGCDFLTISPALLDQLHKSDKKIEQKLSAAQATTGEKLPKVSYVNDEAAFR
 WALFSEEMAWDKLHEGIRKFAEDAETLKAMLKEKLQK

Spot 338

>PTTG_06268

MPSYKLTYFDVKASRGESIRLAFHSGGIPFTDERLTMEQFGERKESCPFGQVP
 ILTVDDKTIVPQEGAILRYIGRMTGAYSDDKEKALKQDVMIIEFGDDLYSAAS
 VFFAMDHAGKEMLKKNISIDERIPKMFGYLDKHLSNQGTTYSAGNDLSVADF
 KLYAALTLFKSGMLQGLSTDIVDNYTHVAKLYQAIEKHEKIASWKKSQAN

Spot 340

>PTTG_06466

MIESTRRLAMPLHRLSRSASKPQTIRPIMTGAHADSLAQLTRSIQEWFDSPRF
 ANTQRSSAELIATKRGSLPVHQDSYANLQARKLRKLLAEAQQTQHQPVLTM
 GALDPVQQSQMAHHLPIVVSGWAASSTFVPGTHEVGPDLDADYPYHTVPTA
 VQRLVKAQQLHERKEWDAHASEPDMGRPSVEYLKPIVADGDNGHGLSTV
 MKLAKAFGEAGVAGVHFEDQLVGGKKCGHQAGKVLVPTCEHLSRLRAAR
 MQWDIMSLETLLIGRTDAESAQLISSDHDPRDHRFILGIQTGPPHHQKIALAE
 EIIRAEERGASGDEINEIEKRWTESVELITFDQAVERAFEQYNIPSSKYSEYLK
 EVEAQELSHRESSILARKMIADGTNGKETLEQIGWNAQLARTREGYYRFKGC
 LQAAINRALKFCPVSDLVWIETKEPNLLKAQSIATQIRRHFPSQLVYNLSPSF
 NWSHHGFSPEDLKAFVWELSFRGFNLQLISLAGLHSTATMTAQLAKRFKED
 GMLGYVESIQAVEKEIGCDVLKHQKWSGSEYIDRILSAVSAGSSATAATGAD
 STEKTF

Spot 341, 347

>PTTG_06754

MPSKVDESSDDAVYTTSGGNPYPEPYEAQRLGANGPLLQDYHHIDLLQHF
 HRERIPERVVHAKSGALGYLEVTHDISDICCAKLFNKVGNKAPVVARFSTV
 GGERGSPDTARDPRGFSVKIKTEEGIWDWVFNNTPVFFLRDPVKFPHFIHTQ
 KRYPQSNSHGDDADMFWDYLSQLNPESIHQVMILFGDRGVPDGYRGMNGY
 SGHTFKFVNASGSFKYVQIHLADQKRGDFLTQEESVKMAGESPDHSTKDLF
 NAIERKEFPSWTCYVQEMSAEQAENFRYNILDLTKVWPHKEPLRPFAKFVL

NENAINYHAQIEQVAFSPSHLPPGVEPSADPVLQSRLFSYNDIYRLGINYT
 QLPVNQSISPVANFQRDGPMLGDNQGSRPNYKSTIRPMKYPQRPYQFPGDH
 EVFIGQAVADLSTVTLEDFEPARALWSKVFDDGAKERFVKNVSGHLGNVSL
 DRIKKDQVAIFLAVDKDLGTRVAKAIGLKDIPEPYKPEPAAQATKFTPNLKSS
 GQMIFGNTVPV

Spot 351-1

>PTTG_03356

MAGKLSTDYPAWKELQALHDQKASAELVLSKLFASDPDRFKFSTRFESPN
 TETSIFLDYSKNLIDQQVWDKLLELAHQAGVSKARDDMFAGQHINTSEERA
 VLHVALRDTSNQGYGANEEGVGEVRSVLDHVRAFSEAVRSGSHKGYTNKPI
 DTLVNIGIGGSDLGPVMVTEALSFYARTGPTITPYFCSNIDGSHLAEILRKCDP
 ETTLFIVASKTFTTQETLTNANSAKEWFLSFAKDKAHVAKHFVALSTNTDAV
 TAFGIDKANMFKFWDWVGGRYSLWSAIGLSIALYIGYENFEKMLQGAHAM
 DRHFKAAPLKENLPVILALLGIWYNNFYGAQTHALLPYDQYLHKFADYFQQ
 GDMESNGKYITKDGRRTYQTGPIIWGQAGTNGQHAFYQLIHQGTKLIPCDF
 LAPVETLNPIGGGRHHEILLSNFFAQPEALAFGKDEAAVKQELGPAASNESA
 KSKVFEGNKPTNSIMFQKLTPGTLGGLALYEHKIFVQGAIWGINSDQMGV
 ELGKVLAKNILAQLGSPADVKGHDSSTEGLIKFFQSHRK

Spot 351-2

>PTTG_04108

MTSLPESKPDDPPLSVWADMIIIGLVVLFWGSSRFRASSEGARGGTRVKFAS
 AGVVDCRVFALFQSQLQGGHSICSDPRRAMSNFIRFNSIFFRSRLIPVPLRSRR
 TLASSFPPPYPMSTSSSKQPPTKINASSISPKITNQQPQPSVDSSGHDPDQHSRA
 ATQHSPLSRLPSPSRDGVHARFMSSTSIIQQAYRSEFDTFGELKVPADKYYGA
 QTQRSLQNFDIGGEQERMPPALIEAFAYVKKSAIAVNMTYGLDPKIGQAICQ
 AADEVISGKLSDHFPVVFQTGSGTQTNMNNEVISNRAIEILGGEKGSKKPV
 HPNDHVNMSQSSNDTFPTAMHVAAVFQITRNLIPALESLIRAIGAKRVEFDSII
 KIGRTHLQDATPLTLGQEFGYEQQLINGLARVKASLPRLSMLAQGGTAVGT
 GLNTKSGFAEAIAKEITQQTGIPFETAPNKFEALASHDAIVETSGALNVLAWS

AMKIANDIRFLGSGPRCGLGELSLPENEPEGSIMPGKVNPTQCEALTMVAAQ
VMGNHTTISIAGSNGHFELNVFKPVLIKNLQSIRLLGDGFRSFETNCVVGIEA
NKARIEQLLNESMLATILNSRLGYDNVAKCACKAHKEGTLKEATLSLGLL
DGAEFDKIVRPELMLGPDHKPKG

Spot 356

>PGTG_17649

MPDFKSATTGVAAKAMRNELSRLAEEVSDANYRKAFAEAEMQGFFLLFSRYL
QEKARNTPLQWDRIAPPAADQVVSYSTLPETSDHSILDKLAVLKLNGLGTT
MGCVGPKSAIEVRDGMTFLDLSVRQIEHLNSAHKVNVPFILMNSFNTDDDTA
RIIQKYANHNEIMTFNQSRYPRVNRESLLPAPRTATGDKSAWYPPGHGDLY
DAITNSGLLDKLLAAGKEYIFVSNSDNLGAVLDTKIMQHMIDSQAEIFIMEVT
DKTKADVKGGLINYDGNIRLLEIAQVPNDHVEDFKSVRKFKIFNTNNLWV
NLRALKRVMESDGMELDIIVNNKVAENGEAVIQLETAAGAAIQHFRNAHG
VNVPERSRFLPVKSCSDLLLVTSDLYQLEHGRLVMNEARMFQSTPVVKLGDH
FKKVAAYQSRFKNIPSMLELDHLTSGDVFKGRKVTLRGTVIIVANEWSKIEI
PDGTILDNKLLTGNLSIIDH

6.3. puccinia triticina aday PAMP proteinlerinin sinyal peptidleri

Spot No	Aksesyon No	Adı	Domain	Sinyal Peptidi
3	PTTG_03499	Hypothetical protein	EF1-BETA	▪
7,15	PTTG_01669	Hypothetical protein	RAN-BP1	▪
	PSTG_17414	Hypothetical protein	AMİNOTRANSFERASE 1 AND 2	▪
12	PTTG_09356	Translationally-controlled tumor protein		▪
14	PTTG_06852	Hypothetical protein	EUKARYOTIC ASPARTYL PROTEASE	✓
15	PTTG_02090	Hypothetical protein	NUCLEOSOME ASSEMBLY PROTEIN	▪
18,21	PTTG_01840	ATP synthase subunit beta, mitochondrial		▪
19	PTTG_05456	Hypothetical protein	PROFILIN	▪
20,24	PTTG_01827	Hypothetical protein	THİOREDOXIN	✓
22,31	PTTG_07476	Pyruvate dh e1 component 1		▪
	PTTG_02217	Hypothetical protein	SGTA DIMER DOM AND TETRATRICOPEPTIDE DOM	▪
23,30,53	PTTG_06867	Heat shock 90-1		▪

27	PTTG_27503	Hypothetical protein	TROPOMYOSIN LIKE	.
35,41,46, 348	PGTG_12204	Tubilin beta chain		.
38	PTTG_04893	Eukaryotic translation initiation factor 5a(elongation factor p)		.
39,92,96	PTTG_09144	Hypothetical protein	PGM-PMM	.
42,51,63	PTTG_03478	HSP-70		.
46	PTTG_05513	26S protease regulatory subunit 6a	ATPase family associated with various cellular ACTIVITY	.
28,48,53, 55,58,70, 98	PTTG_07281	Glucose regulated protein		✓
50	PTTG_07437	Hypothetical protein	PEPTIDASE S9	.
51	PTTG_01758	Hypothetical protein	RIBOSOMAL PROTEIN S2	.
28,70,98	PTTG_26408	V-type ATPase, a subunit		.
64	PTTG_03718	Hypothetical protein	CALPONIN HOMOLOGY DOM	.
	PTTG_01641	Hypothetical protein	RNASE_PH	.
65	kontaminant			.

66,67,82, 84,87	PSTG_03501	Hypothetical protein	ACTIN	.
73	PTTG_05827	HSP60		.
73A,79	PTTG_01106	Tubilin μ 1 Zinciri		.
74	PTTG_03524	Hypothetical protein	RHO protein GDP dissociation inhibitor	.
75	PTTG_06777	Tiyoredoksin Redüktaz (NADPH)		.
76,78	PTTG_09204	Hypothetical protein	Inositol monophosphatase family	.
80,82	PTTG_01696	HSP SSB		.
88	PTTG_12630	Arginase		.
90	PSTG_12276	Hypothetical protein	BİLİNEN BİR MOTİF VEYA DOMAIN BULUNMAMAKTA	.
91	PTTG_00226	26S protease regulatory subunit 6b		.
93	PTTG_06345	Hypothetical protein	RAD51	.
5,105,127 ,160, 167,175,1 85,192, 202,212,2 21,305	PTTG_09276	Hypothetical protein	Putative stress-responsive nuclear envelope protein	✓

97	PTTG_08592	3-isopropyl malate dehydrogenase		.
	PGTG_13966	Hypothetical protein	ACYL CoA DH	.
99	PSTG_14021	V-type proton ATPase catalytic subunit a isoform 2		.
100	PGTG_05935 (104 İLE AYNI)	HSP SSB		.
101	PTTG_02219	Phosphomannose		.
104,112,1 27,130	PTTG_01076	Hsp-70 like protein		.
105	PSTG_04289	Hypothetical protein	ACYL COA DH	✓
108	PTTG_03022	Hypothetical protein	tRNA ANTİCODON AND RPA-C	.
111	PTTG_09887	Hypothetical protein	R DOM ALKOL DEHİDROGENAZ KISA ZİNCİR DOM	.
	PSTG_02641	CMGC/CDK/CDC2 protein kinase		.
	PTTG_01991	Hypothetical protein	ENOYL REDUCTASE	.
114	PTTG_09971	Hypothetical protein	DUF3759	.
115	PGTG_00252	Hypothetical protein	DUF3759	.

116	PTTG_03284	LSU ribosomal prot		.
	PSTG_01609	Serine/threonine-protein phosphatase ppe1		.
119	PTTG_09796	Hypothetical protein	DAK 1 AND 2 DOM	.
121	PTTG_04091	Secretory pathway GDP dissociation inhibitor1		.
122,190,2 12, 257,272	PTTG_09784	Hypothetical protein	transketolase	.
122	PTTG_03046	PEP carboxy kinase		.
	PTTG_06246	Hypothetical protein	Adh short	.
126,178,2 27,234,29 4,296	PTTG_01458	PEP carboxy kinase		.
128	PTTG_09870	Hypothetical protein	NAD BINDING 3 AND HOMOSERINE DH	.
133	PTTG_02001	Hypothetical protein	DHH AND DHHA2	✓
	PTTG_07863		PUTATIVE PHOSPHATASE	✓
136,137,1 41,142,14 4,147,158	PTTG_07672	proteasome subunit alpha type-2		.

139,140,1 41	PTTG_08656	Hypothetical protein	ELF 2B-5/IF2B-IF5	.
	PTTG_08249	Hypothetical protein	ALDEHYDE DH FAMILY	.
146,191,2 69	PTTG_00430	ENOLASE		.
149	PTTG_06888	Hypothetical protein	haloacid dehalogenase-like hydrolase	.
	PTTG_02620	Mitochondrial-processing peptidase subunit beta		.
150,154,1 65,201,21 0	PTTG_01903	Hypothetical protein	PEPTIDASE M16	.
161	PTTG_06273	Hypothetical protein	RNA RECOGNITION MOTIFS REPEATS	.
163	PTTG_07362	V-type proton ATPase subunit b		.
167	PTTG_09553	Hypothetical protein	TIP49 C TERMINUS	.
	PTTG_28577	Hypothetical protein	AMINO TRANSFERASE 1 VE 2	.
169	PTTG_03429	Hypothetical protein	INORGANIC PYROPHOSPHATASE	.
170	PTTG_00372	Glutathione synthetase		.
171,174,	PTTG_09731	Hypothetical protein	BIOTIN REQUIRING ENZYME AND 2-OXO ACID DH	.

172	PTTG_05189	Fructose biphosphate aldolase class ii		.
176	PTTG_07572	Phospho mannomutase		.
181,184	PTTG_03422	6-PHospho gluconate dehydrogenase		.
182	PTTG_04265	Hypothetical protein	ELECTRON TRANSFER FLAVOPROTEIN	.
186	PTTG_04566	Hypothetical protein	UDPGP	.
187,218,2 22,223	PTTG_08360	Pyruvate kinase		.
188	PTTG_01714	Fk506 binding prot		.
193,201	PSTG_11939	Hypothetical protein	RAS-GEF DOM.	✓
	PGTG_21560	Hypothetical protein	DUF	✓
194,204	PTTG_03025	Hypothetical protein	PRIDOXAMINE 5' PHOSPHATE OXIDASE LIKE	.
	PTTG_07306	2,3-bisphosphoglycerate-dependent phosphoglycerate mutase		.
195	PTTG_08248	Hypothetical protein	ATP-GRASP AND COA LIGASE DOM	.
197	PTTG_09038	Hypothetical protein	SHORT CHAIN DH	.

200,22	PTTG_03445	Hypothetical protein	GLYCOLIPID TRANSFER PROTEIN	▪
209	PTTG_27324	Hypothetical protein	DUF4336	▪
216	PTTG_29605	Hypothetical protein	ENOYL COA HYDRATASE,ISOMERASE	▪
220	PSTG_01145	Hypothetical protein	GLYCOLIPID TRANSFER OROT	▪
221	PSTG_08642	Hypothetical protein	MULE TRANSPOSASAS	▪
225,231,2 90	PTTG_05785	Succinate dehydrogenase [ubiquinone] flavoprotein subunit, mitochondrial		▪
261,263	PTTG_00016	Hypothetical protein	PEPTIDASE INHIBITOR 19 AND PEPTIDASE S8 (SUBTILASE FAMILY)	✓
	PTTG_12239	Hypothetical protein	Proteasome, COP9, Initiation factor 3	✓
267	PTTG_05453	Glutamine synthetase		▪
	PTTG_08909	CaMK protein kinase		▪
274	PTTG_01684	Hypothetical protein	E1 DEHYDROGENASE	▪
281	PTTG_03798	NADH dehydrogenase g-subunit		▪
285,287	PTTG_06073	Hypothetical protein	NUCLEOTIDYL TRANSFERASE, BACTERIAL TRANSFERASE HEXAPEPTIDE	✓
286	PTTG_03821	Adenosyl homocystainase		▪

	PTTG_04794	Elongation factor EF-Tu		.
287	PTTG_06742	Hypothetical protein	DPPIV (DIPEPTIDYL PEPTIDASE IV)	.
299	PTTG_04303	Peptidyl-prolyl cis-trans isomerase		.
306,307	PTTG_02168	Phosphogluco mutase		.
		Mutase		.
309,337	PTTG_01152	Hypothetical protein	AMINO OXIDASE/NAD BINDING 8	.
310	PTTG_29181	Hypothetical protein	SPERMINE SPERMIDINE SYNTHASE, SACCHAROPINE DH	.
315	PTTG_02169	Hypothetical protein	SERINE AMINO PEPTIDASE S33	.
318	PTTG_09428	Hypothetical protein	ALCOHOL DEHYDROGENASE GROES LIKE DOM, ZINC BINDING DEHYDROGENASE	.
320	PTTG_00389	Guanine nucleotide-binding protein subunit beta-like protein		.
321	PTTG_05810	20S proteasome subunit beta		.
322	PTTG_01421	Hypothetical protein		.
332	PTTG_29878	Transaldolase		.
338	PTTG_06268	Hypothetical protein	GLUTATHIONE S-TRANSFERASE	.

340	PTTG_06466	Isocitrate lyase	.
341,347	PTTG_06754	Catalase	.
351	PTTG_17649	UTP-glucose-1-phosphate uridylyl transferase	.
356	PGTG_17649	UTP-glucose-1-phosphate uridylyl transferase	.

	Hipotetik Protein
	Efektör Protein
	Hem Hipotetik Hem Efektör Protein

ÖZGEÇMİŞ

1984 Bursa doğumluyum. İlk orta ve lise öğrenimimi Bursa'da tamamladım. 2008'de Karadeniz Teknik Üniversitesi Fen Edebiyat Fakültesi Kimya Bölümü'nden mezun oldum. 4 yıl kadar Bursa'da tekstil sektöründe özel şirkette labratuar sorumlusu olarak çalıştım. 2011-2012 öğretim yılında Ahi Evran Üniversitesi'nden Pedagojik Formasyon eğitimi aldım ve akabinde Biyokimya Anabilim Dalında yüksek lisans eğitimime başladım. Yüksek lisans tez projesi tamamlandıktan sonra Bursa'da özel sektördeki işime geri döndüm. Ve halen aynı sektörde çalışmaktayım.

